

МИНИСТЕРСТВО ГЕОЛОГИИ СССР
ВСЕСОЮЗНОЕ АЭРОГЕОЛОГИЧЕСКОЕ НАУЧНО-
ПРОИЗВОДСТВЕННОЕ ОБЪЕДИНЕНИЕ «АЭРОГЕОЛОГИЯ»

Уч. № 070

ГЕОЛОГИЧЕСКАЯ
КАРТА СССР

МАСШТАБ 1:200 000

СЕРИЯ ПРИОХОТСКАЯ

Лист О-54-ХХV

Объяснительная записка

Составители: В.И.Гольденберг, И.П.Пугачева
Редактор Л.И.Красный

Утверждено Научно-редакционным советом ВСЕГЕИ
30 ноября 1967 г., протокол № 39

ВВЕДЕНИЕ

Территория листа 0-54-ХХ ограничена координатами $56^{\circ}40'$ – $57^{\circ}20'$ с.ш. и $138^{\circ}00'$ – $139^{\circ}00'$ в.д. и принадлежит Аян-Майско-му району Хабаровского края.

Главными элементами рельефа являются хребты Прибрежный и Джуликур. Хр. Прибрежный, рассеченный реками Алдома, Улкан и Эйсан на отдельные горные массивы, протягивается через весь район в северо-восточном направлении вдоль побережья Охотского моря. В большей своей части он представляет собой безлесное сильно расщлененное до глубины 600–900 м низкогорье с отдельными островерхими вершинами, имеющими высоту от 1030 до 1228 м. Юго-западная часть хребта, изрезанная сетью мелких водотоков лежит на правобережье р.Алдомы, отличается более пологим рельефом, возвышаясь над уровнем моря на 400–700 м. Другой участок низкогорья с абсолютной высотой вершин от 502 до 776 м охватывает водораздельное пространство рек Эйсан, Эркачы и Намчи, а также низонье р.Качи. Относительные превышения здесь составляют 300–500 м. Хр.Джуликур, пересекающий северо-западную часть платоады, по абсолютным отметкам и степени расщлененности аналогичен центральной части хр.Прибрежного. Он отличается только выпуклой формой водоразделов. Наиболее высокогорная часть района располагается в верховых рек Инях, Качи, Иан, Улайкан, где сходятся хребты Прибрежный и Джуликур. Отдельные вершины здесь достигают 1759 м, относительные превышения – 1000 м. Крупные склоны, покрыты круноглыбовыми осьпями, окрутые или гребеневидные тольцовы вершины, узкие каньонообразные долины, изобилующие водопадами, кары с крутым, почти отвесным стенами, с многочисленными озерами в днилах, карлины – таковы основные черты рельефа этого участка.

Подавляющее большинство рек принадлежит бассейну Охотского моря, лишь р.Малтан, дrenирующая склонами верховьями крайний

северо-запад описываемой территории, относится к бассейну Аль-на. Наиболее крутными реками являются Алдома и Улкан. Алдома почти на всем протяжении имеет типично горный характер: скальное русло, обрывистые берега, узкую (до 0,2-1 км) долину, большую (1,8 м/сек), скорость течения; глубокие (до 5 м) плесы сменяются мелкоштатными мелкими (0,3-0,8 м) перекатами со скоростью течения порядка 3-5 м/сек. Ниже устья р.Илан долина реки расширяется до 2,5 км, перекаты встречаются реже, а плесы достигают в длину 1,5 км. Ширина русла Алдомы колеблется от 80 до 100 м. При впадении в Алдомский залив река образует дельту площадью около 3 км². Алдома принимает слева крупные притоки Танчи, Илан, Нытай. Река Улкан в верховьях имеет узкую (0,2 км) долину, где колеблется от 2 до 1,6 м/сек, глубина - от 0,6 до 1,5 м. ширина - от 30 до 60 м. Справа в него впадают реки Библакит, Ото-рудьях, Оляя, Качи с притоком Икари, слева - Демчегех, Эрганды и Таганах с притоком Намти.

Непосредственно в море впадают р.Эйкан и более мелкие реки: Бол. и Мал. Кемкарса, Мукочик, Нельба и др. Питание рек происходит за счет атмосферных, талых снеговых и сезонно-мерзлотных вод. По р.Алдоме и от устья р.Таганах по Улкану можно спускаться на лодках с соблюдением максимальных предосторожностей.

С юго-востока территория омывается бурным Охотским морем. Число штормовых дней в году - 12-13. Средняя высота прилива - 3,2 м, максимальные приливы (до 5 м) наблюдаются в ноябре и декабря, когда морская вода заходит в реки на 1,5-2 км (р.Улкан). Замерзает море в середине или конце ноября, освобождается от льда в начале или середине июня. Температура воды в самое жаркое время не превышает +13°C. Берега имеют различную форму. Наиболее изрезан северный участок побережья, где в материк вдаются запады Федорова и Федотова, а в море - мысы Нельба и Эйкан. Южнее береговая линия имеет плавные очертания. Характерными элементами берегов являются, с одной стороны, абразионный обрыв, имеющий высоту от 50 до 350 м, с другой - пересеки, которые отделяют от моря озера Антикан и Икит, представляющие собой опресненные лагуны. Пляж наблюдается не везде и ширина его, как правило, не превышает 20 м, составляет в среднем 5-10 м. На мысах и между бухтами Федорова и Федотова берег практически непроходим. Всегда от берега расположаются острова Мальминские и Марка. Далеко в море вдаётся п-ов Нури, ограничивающий с востока мелководный залив Алдома. Он состоит из двух возвышенностей, соединенных между собой

и с материком галечниками пересечеными.

Описываемая территория имеет влажный морской климат с годовой амплитудой температуры воздуха около 60° и среднеместными амплитудами 10-12°. Зима малоснежная, умеренная, часто с оттепелями, длится с ноября - декабря по май. Среднемесячная янванская температура - 20°C. Залетание снежного покрова неравномерное, зачастую с сильными заносами на юго-восточных предгорьях Джульяра. Лето обычно дождливое, прохладное, длится с июня по сентябрь. Наиболее теплым месяцем является август со средней температурой +13,5°C. Высокая относительная влажность (80-90%) в июле-августе вызывает постоянные туманы. Распределение осадков неравномерное: максимальное их количество выпадает в июне, июль и августе в виде моросящих дождей, достигая 520 мм при годовой сумме осадков 650-900 мм. Изредка лето бывает жарким и сухим с 2-3 непродолжительными дождевыми периодами. Характерной особенностью являются постоянные ветры, имеющие весной и летом северо-восточное направление, а зимой и осенью - северо-западное; скорость ветра часто достигает 20-24 м/сек (данные метеостанции в п.Аян) и даже 50-70 м/сек на побережье Охотского моря в районе оз.Антикан (данные метеослужбы б.аэропорта Алдома).

В распределении растительности намечается вертикальная зональность. В долинах рек и нижних частях склонов растут густые леса, состоящие из березы, ольхи, тополя, лиственницы, сосны и японской ели. Густой подлесок представлен кедровым стаником, переплетенным с карпиховой бересой, рябиной и шиповником. В приподняемых участках произрастают сочные травы. Склоны гор до высоты 500-800 м покрыты зарослями кедрового стланника. Выше располагается тольдовый пояс - мхи, листайник и редкие кусты стланника. Широким распространением в лесном и кустарниковом поясах пользуются мхи, образующие подушку мощностью до 0,5 м и предохраняющие от таяния повсеместно развитую многолетнюю мерзлоту.

Животный мир богат и разнообразен. В горной местности водятся горный баран, кабарга и полярная куropатка. В тайге обитають сурый медведь, лось, линий олень, барса, соболь, горностай и рыжая лиса. Из птиц встречаются кедровка, ворон, ястреб. Боровая личь предстаёт пухарем, рыбчиком, каменным рыбчиком. На морском берегу в большом количестве обитают утки, гуси, кулики, гагары, крохаты, даклы, топорки, чайки. На Мальминских островах расположена "тичи базары". В реках водится форель и нельма, во время нереста заходят кета и горобуша. В прибрежных волнах Охотского моря ловят в больших количествах сельдь, треску,

окуня, навагу, камбала. На узких пляжах морского побережья, в устьях рек встречаются лежища морского зверя — нерпы, сивуча, лахтака, альбом.

На описываемой территории находятся несколько населенных пунктов. Самый крупный из них — пос.Нурки, где имеется рыболовод, магазин, почта. Другие пункты — Улайкан, Распадок, Улкан и Бухта Федорова, в каждом из которых проживает 1-2 работника связи, расположатся вдоль телефонно-телефрафной линии через каждые 20-30 км. Эта линия, проложенная параллельно береговой линии, связывает пос.Аян, находящийся к югу от района, и пос.Охотск, расположенный севернее. Кроме того, в устье р.Алдомы находится заброшенный пос.Алдома, где сохранился только линейный пункт. Пос.Нурки связан регулярными рейсами почтового катера с пос.Аян, являющимся морским портом, возле которого расположены и аэропорт. Между оз.Антыкан и морем находится прекрасная посадочная площадка.

Основными путями сообщения в районе являются выжные конные тропы, проложенные по долинам Улканы и Алдомы и вдоль телефонно-телефрафной линии. Кроме того, по Качи, Онне, Нельбе, Мал. и Большемарке имеются в южные оленьи тропы. Проходимость и обнаженность района, за исключением южной части хр.Прибрежного (правобережье р.Алдомы), уловстворительная. Погода в югу наблюдалась глибовые россыпи. По долинам рек (Улкан, Алдома, Нельба, Тогонах и др.) и морскому берегу встречаются протяжение (2-3 км) коренные выходы. На водоразделах и склонах отмечаются отдельные разрозненные останцы коренных пород. Южная часть хр.Прибрежного сильно залесена и трудно проходима. Коренные выходы и глибовые развали встречаются крайне редко.

Первые сведения о геологическом строении района относятся к 1937 г., когда партией К.В.Антонова (Антонов, 1937ф) было обследовано побережье Охотского моря к югу от р.Улкан до р.Укэй с целью выяснения нефтеподробности осадочных толщ. На составленной К.В.Антоновым геологической карте масштаба 1:500 000 выделены архейские гнейсы, амфиболиты, кристаллические сланцы, верхнесилурийские территено-карбонатные породы, верхнемирские диабазовые порфириты, брекчи и туфы и прорывающие их мезозойские гранитоиды. Проекты района на нефть определялись отрицательно.

В 1946 г. вся территория листа была покрыта геологической съемкой масштаба 1:500 000 на глазомерной основе (СВГУ) под руководством Г.Г.Кайгородцева (Кайгородцев, 1947ф), работавшего в бассейне р.Алдомы, и К.Т.Злобина, проводившего съемку на остальной части территории (Злобин, 1947ф). Наиболее древними,

по мнению Г.Г.Кайгородцева, являются докембрийские митматиты, биотитовые и роговообманковые гнейсы, амфиболиты, гранито-гнейсы. Осадочные палеозойские образования расчленены им на две свиты: силурийскую и силурийско-левинскую танчукскую, палеонтологически охарактеризованную. Экзмузинно-гутфогенные образования разделены на верхнерусские нижнелемовые и верхнелемовые. Их возраст определяется сопоставлением с аналогичными флюористическими охарактеризованными образованиями северо-восточной части Охотского побережья. Среди интрузивных пород выделены следующие комплексы: докембрийские гранито-гнейсы и гнейсо-граниты, верхнепалеозойские отгнейсированые гранодиориты, кварцевые лиориты, гнейсо-граниты и гранито-гнейсы; мезозойские (тихоокеанские) интрузии, среди которых выделяются габбро, габбро-диориты условия киммерийского возраста, гранодиориты и диориты австрийского и траниты лагардийского. Все названные выше работы в целом верно отражают основные черты геологического строения. Однако к докембрию и верхнему палеозою относены в различной степени измененные ("гнейсированные") среднепротерозойские и мезозойские гранитоиды. В шихах были отмечены знаки золота и кассiterита (последующие работы находки кассiterита не подтверждены). Перспективными участками совершенно справедливо были признаны зоны притализации с выраженнойностью халькопирита и молибденита. Существенным недостатком обеих работ является недооценка роли разломов, которые не показаны и на геологических картах.

В 1958 г. береговые обнажения были осмотрены сотрудниками СВГУ В.А.Комаровым и Л.В.Серебряковым (Комаров и др., 1960ф). Работы этих исследователей ничего существенно нового не внесли. В том же году партией В.В.Терентьева (ВСЕГЕИ), работавшей с целью изучения металлогении зоны Джугджурского глубинного разлома, проведен маршрут по правобережью р.Алдомы, где ошибочно интрузии одного нижнелемового (удского) комплекса расчленены на два: нижнелемовой охотский и верхнелемовой джугджурский (Терентьев и др., 1959ф).

В 1959 г. Г.Н.Чертовских (СВГУ) составлена геологическая карта и карта полезных ископаемых листа 0-54 масштаба 1:1000000 и объяснительная записка к ней (Чертовских, 1959ф). Для данной территории были использованы материалы Г.Г.Кайгородцева и К.Т.Злобина. В том же году партией Е.Г.Херувимовой на материковой части района была проведена аэромагнитная съемка масштаба 1:200 000 (Херувимова, 1959ф). Других геофизических исследований в районе не проводилось.

В течение 1960–1963 гг. В.И.Тольденбергом и М.А.Тарховой (ВАГТ) территория листа 0-54-ХХV была покрыта геологической съемкой масштаба 1:200 000, проводившейся на доброкачественной топографической основе с применением аэрофотоснимков масштаба 1:66 000. Несмотря на низкое качество снимков, комплексы интрузивных, осадочных, эфузивных и рыхких четвертичных образований всегда четко различаются. Хорошо дифференцируются разломы. Теологоческая съемка сопровождалась шлиховым и металлогеометрическим опробованием линий осадков, а также полутными поисками. Оба исследователя (Тольденберг и др., 1961Ф; Тархона и др., 1962Ф) пользуются одной схемой расчленения осадочных и магматических пород. Однако В.И.Тольденберг и др. выделяют три интрузивных комплекса: позднемеловой (Улуский), раннемеловой (Джугурский) и условно верхнемеловой. Критерием для выделения этих комплексов явились, с одной стороны, петрографические и петрохимические признаки пород, определения абсолютного возраста, а также геологическая обстановка на рассматриваемой и сопредельных территориях. М.А.Тархова мезозойские интрузивные породы относят к единому Шатлукской комплексу, а все разнообразие их объясняет тектонизмом, ассоциацией, условиями рельефообразования и различным структурным положением.

Вулканогенные образования, развитые на побережье р.Улкан, отнесены В.И.Тольденбергом к нерасщепленной джелонской свите верхнепротерозойского возраста. На левобережье Улкана М.А.Тархова и др. выделила две подсвиты джелонской свиты, верхняя из которых сопоставляется с нерасщепленной джелонской свитой В.И.Тольденберга.

В основу данной геологической карты легли карты, составленные В.И.Тольденбергом и др. и М.А.Тарховой и др. Однако в результате реракционно-вязочных работ, проведенных В.И.Тольденбергом и др. в 1963 г., и дополнительных определений абсолютного возраста авторами записи в легенду карты были внесены следующие изменения.

Верхняя подсвита джелонской свиты выделена как самостоятельная подсвита. На правобережье р.Улкан джелонская свита разделена на подсвиты. Массив алмалитов в бассейне рек Эйкан и Большой Кемкар, относимый В.И.Тольденбергом и др. к верхнему мелу, включен в состав джелонского комплекса. Гранодиориты, тонолиты и кварцевые диориты левобережья Улкана и Тогонаха, выделенные М.А.Тарховой как самостоятельная фациальная разновидность джелонского комплекса, отнесены к узкому комплексу.

В течение 1960–1963 гг. В.И.Тольденбергом и М.А.Тарховой (ВАГТ) территория листа 0-54-ХХV была покрыта геологической съемкой масштаба 1:200 000, проводившейся на доброкачественной топографической основе с применением аэрофотоснимков масштаба 1:66 000. Несмотря на низкое качество снимков, комплексы интрузивных, осадочных, эфузивных и рыхких четвертичных образований всегда четко различаются. Хорошо дифференцируются разломы. Теологоческая съемка сопровождалась шлиховым и металлогеометрическим опробованием линий осадков, а также полутными поисками. Оба исследователя (Тольденберг и др., 1961Ф; Тархона и др., 1962Ф) пользуются одной схемой расчленения осадочных и магматических пород. Однако В.И.Тольденберг и др. выделяют три интрузивных комплекса: позднемеловой (Улуский), раннемеловой (Джугурский) и условно верхнемеловой. Критерием для выделения этих комплексов явились, с одной стороны, петрографические и петрохимические признаки пород, определения абсолютного возраста, а также геологическая обстановка на рассматриваемой и сопредельных территориях. М.А.Тархова мезозойские интрузивные породы относят к единому Шатлукскому комплексу, а все разнообразие их объясняет тектонизмом, ассоциацией, условиями рельефообразования и различным структурным положением.

Вулканогенные образования, развитые на побережье р.Улкан, отнесены В.И.Тольденбергом к нерасщепленной джелонской свите верхнепротерозойского возраста. На левобережье Улкана М.А.Тархова и др. выделила две подсвиты джелонской свиты, верхняя из которых сопоставляется с нерасщепленной джелонской свитой В.И.Тольденберга.

В основу данной геологической карты легли карты, составленные В.И.Тольденбергом и др. и М.А.Тарховой и др. Однако в результате реракционно-вязочных работ, проведенных В.И.Тольденбергом и др. в 1963 г., и дополнительных определений абсолютного возраста авторами записи в легенду карты были внесены следующие изменения.

Верхняя подсвита джелонской свиты выделена как самостоятельная подсвита. На правобережье р.Улкан джелонская свита разделена на подсвиты. Массив алмалитов в бассейне рек Эйкан и Большой Кемкар, относимый В.И.Тольденбергом и др. к верхнему мелу, включен в состав джелонского комплекса. Гранодиориты, тонолиты и кварцевые диориты левобережья Улкана и Тогонаха, выделенные М.А.Тарховой как самостоятельная фациальная разновидность джелонского комплекса, отнесены к узкому комплексу.

Кристаллические сланцы, гнейсы и мигматиты бассейна р.Танчи и Намчи, рассматриваемые ранее В.И.Тольденбергом как эндоконтактные гнейсы узких гранитолов, а М.А.Тарховой как глубоко переработанные верхнепротерозойские образования, на геологической карте выделены в составе нижнего–среднего протерозоя. Теолитическая карта листа 0-54-ХХV с изданием листом 0-53-ХХХ (А.Л.Ставцев, 1963Ф) имеет ряд неувязок. На листе 0-53-ХХХ излишне широко (на 1,0 км), без учета рельефа, показаны верхнечетвертичные ледниковые отложения в верховьях р.Горюхан. Кристаллические сланцы и гнейсы, выделенные на территории листа 0-54-ХХХ как нижне–среднепротерозойские образования, рассматриваются А.Л.Ставцевым как ксенолиты глубоко метаморфизованных силикатных (среднепротерозойских) пород, включенных в среднепротерозойские гранитолы, и не выделяются в качестве самостоятельных тел. В остальном с листом 0-53-ХХХ, а также с изданным листом 0-54-ХХХ имеется полная принципиальная увязка. Некоторые различия носят формальный характер и касаются несогответствия в индексации и принципа расчленения интрузивных мезозойских образований, в связи с тем, что карты выполнены в листах разных серий – Джугурской и Приюхотской.

СТРАТИГРАФИЯ

ПРОТЕРОЗОЙ

НИЖНИЙ – СРЕДНИЙ ПРОТЕРОЗОЙ (?) (Pt₁–2?)

К нижнему – среднему протерозою условно отнесены биотит-амфиболовые и биотитовые гнейсы и амфиболовые кристаллические сланцы, выходы которых протягиваются узкой полосой северо–восточного простирания от устья р.Танчи к верхнему течению р.Илан. Небольшие ксенолиты этих пород наблюдаются также на водоразделе рек Намчи и Деппелетях среди раннемеловых гранитолов.

Кристаллические сланцы и гнейсы интенсивно мигматизированы и иногда целиком превращены в мигматиты, особенно на правобережье Танчи и в мелких ксенолитах на левобережье Иланы и Намчи. Эта мигматизация ни в коей мере не связана с мезозойскими гранитами, так как характер их воздействия на вещества породы совсем иной. Кроме того, в верховых Танчи (лист 0-53-ХХХ, Ставцев, 1963Ф) наблюдалась рущие контакты гранитолов раннемелового возраста с мигматитами.

С палеозойскими отложениями описываемые образования по-
семестно имеют только тектонический контакт. В дельтах сопряжен-

р.Ганчи метаморфические горы имеют моноклинальное залегание с крутыми ($70-80^{\circ}$) утлами падения на северо-запад. Нижняя часть протяжения вскрывается по левому берегу р.Ганчи, где (снизу вверх) обнажаются:

1. Амфибол-плагиоклазовые мезократовые

Амфиболовые кристаллические сланцы представляют собой мелко- и среднекристаллические (0,05–0,5–0,7 мм) породы нематогранобластовой структуры, состоящие из неозонального андезина № 35–40 (70%) и ярко-зеленой роговой обманки (30%), часто с двойниками. Из акцессорных минералов встречается сфен.

Амфибол- и биотит-амфиболовые гнейсы, как правило, обладают более крупнозернистым (1–2 мм) сложением и более четко выраженной полостностью. В их состав входит, наряду с амфиболом (10–15%) и олигоклазом № 28–30 (50%), биотит (10–15%), кварц (20%). Биотитовые гнейсы состоят из кислого (№ 20–25) плагиоклаза (40%), калиевого полевого шпата (10%), биотита (10–15%), кварца (30%).

Структура пород немето- и лейкогранобластовая. В метаморфизованных разностях и магматитах^X увеличивается количество микроклина (до 40%) с четко выраженной решеткой, появляются разнообразные аксессорные минералы, представленные ортитом, апатитом, циртолитом, монацитом. Полосчатая текстура в магматиках слабо выражена. Темноцветные минералы (биотит) образуют кутные плоскопараллельные скопления. Вторичные изменения во всех олигосиних выше разностях проявлены очень слабо. Платиглааз либо изредка слегка сертифицирован, микроклин совершенно не изменен, роговая обманка и биотит подвергаются частичной хлоритизации (особенно в магматизированных разностях).

Описанные породы аналогичны протерозойским образованиям бассейна р.Батомы (лист 0-53-ХХХ), где последние перекрыты осадочными отложениями среднего протерозоя и где их абсолютный возраст составляет 1960-2100 млн. лет (Станчев, Алексеев и др., 1962б). В соответствии со своей легендой Приложитской схемой для них принимается условно ранне-среднепротерозойский возраст. Следует отметить, что авторами настоящей записки высказывается предположение о том, что рассмотренные породы имеют более молодой возраст, являясь эндоконтактовыми образованиями интрузий ультрабазового комплекса.

X. Митматы весьма тесно связаны с кристаллическими сланцами и поэтому описаны в разделе "Стратиграфия".

ПАЛЕОЗОЙ

ОРДОВИЙСКАЯ СИСТЕМА

Н Я Ч И Н С К А Я – С Р Е Д Н И Й О Т Д Е Л І Й (?)

Н я ч и н с к а я с в и т а (0₁₋₂? n₂). Карбонатные отложения нячинской свиты^{х/} пользуются несомнительным распространением на северном побережье Алдомского залива (при устье р.Ук) и на правобережье р.Алдомы (между реками Улайкан и Мотчу). Ее выходы почти повсеместно ограничены разрывными нарушениями. Напротив устья р.Танчи между нячинской свитой и алдомской свитой верхнего ордовика на геологической карте показан условно стратиграфический контакт; однако не исключена возможность, что и здесь указанные отложения соприкасаются по разрыву. Наиболее полный разрез нячинской свиты наблюдается в тектоническом блоке на северном побережье Алдомского залива, где восточнее устья р.Ук в скальных береговых обрывах обнажаются (снизу вверх):

I. Битуминозные известняки и доломиты темно-серые, слоистые (слой от 0,1 до 1 м), сильно перекристаллизованные и изредка скарнированные. Иногда встречаются маломощные прослои синеветичных

брекчий, а вверху – простой серых и светло-серых известняков. Характерно обильные тонкие секущие и послойные прожилки белого кальцита. Местами отмечается сильная плойчатость.

2. Известники темно-серые и черные, сходные с вышеописанными, содержащие маломощные (до 1 м) прослои глинистых известняков 400 "

Вышележащие горизонты нячинской свиты наблюдаются в обрывах 20-метровой морской цокольной террасы на меридиональном участке берега к югу от устья р.Ук.

Там на описанных выше слоях залегают:

3. Известники битуминозные, темные, с прослойками до 0,5 м черных, часто листоватых глинистых сланцев, местами перекрытых в отдельные линзы. Известники рассечены многочисленными прожилками белого кальцита . . . 150–200м

х/ Литологические особенности карбонатной толщи, описаны мои под названием "нячинская свита", аналогичны верхнепротерозойским (синийским) породам, развитым восточнее. – Прим.ред.

Облая выделяемая мощность нячинской свиты около 1000 м. Положение нячинской свиты в общем стратиграфическом разрезе района не вполне ясно, органических остатков в ней не найдено, а с фаунистически характеризованной алдомской свитой верхнего ордовика она контактирует по разрыву. Более низкое стратиграфическое положение нячинской свиты по сравнению с алдомской определяется на том основании, что в соседнем с ней районе (окрестности пос.Лантарь, Аянский полуостров) она перекрыта с угловым и азимутальным несогласием силурийскими отложениями (Тольденберг и др., 1961б, 1963ф), которые уже в пределах описанной площади совместно с подстилающим верхний слой ордовиком (алдомская свита) образуют единый структурный этаж.

Нижняя возрастная граница для нячинской свиты не установлена. Поэтому ранне-среднеордовий возраст описываемых отложений принимается условно, поскольку они залегают ниже отложений с фауной верхнего ордовика и в связи с тем, что в близлежащих районах Монголо-Охотской складчатой области более древних отложений не отмечалось. При этом, однако, не исключается и более древний – кембрийский или верхнепротерозойский возраст нячинской свиты.

В Е Р Х Н И Й О Т Д Е Л

А л д о м с к а я с в и т а (0₃ a₆) развита по обеим берегам долины р.Алдомы, откуда она протягивается вдоль побережья Охотского моря до устья р.Улкан, пересекая в нижнем и среднем течении реки Болчикан и Ук. Породы алдомской свиты смыты в широкие линейные складки и обнажают пологими (15–25°) и средними (до 60°) углами падения.

Алдомская свита представлена разнообразными карбонатно-территориальными породами: в нижней части преобладают известняки, аргиллиты и утилито-глинистые сланцы, в средней – наряду с известняками и аргиллитами появляются песчаники и алевролиты, в верхней – основная роль принадлежит известнякам и известковистым песчаникам.

Наиболее низкие горизонты алдомской свиты наблюдаются на северном берегу Алдомского залива, к западу от устья руч.Алданки. В береговых обрывах обнажаются (снизу вверх):

1. Песчанистые известняки серого цвета, содержащие редкие прослойки черных сланцеватых аргиллитов мощностью 3–20 см. Кверху количество и мощность аргиллитовых прослоев несколько увеличивается. Видимая мощность .•28 м

2. Серые тонкослоистые мергели	• • • • •	12 м
3. Грубое (через 2-6 м) переслаивание зелено-вато-серых известковистых аргиллитов и темно-серых тонкослоистых известняков. В верхах наблюдаются прослой мощностью до 0,7 м яркополосчатых серых аргиллитов и белых известняков, чередующихся между собой через 3-5 см	19 "	
4. Серые тонкополосчатые аргиллиты	10 "	
5. Зеленые аргиллиты с пачками, мощность 20-30 см, тонко (через 1-3 см) переслаивающихся белых известняков и зеленых аргиллитов	12 "	
6. Черные аргиллиты, в нижней части с прослой-мощностью 10-20 см темно-серого известняка	170 "	
7. Зеленовато-серые массивные аргиллиты, в верхней части с 10-сантиметровыми прослойками серого известняка и черного глинистого сланца	25 "	
8. Черные утеплено-глинистые и глинистые сланцы с прослойами темно-серых известняков, количество которых увеличивается кверху	40 "	
9. Черные известняки, в верхней части с про-стоями глинистых сланцев. Видимая мощность	7 "	
Общая мощность 323 м.		
Породы более высоких горизонтов алтюнского свиты обнажены в скальных обрывах северного берега Атюнского залива восточнее устья руч. Агалакит. Здесь наблюдаются (снизу вверх):		
1. Серые известковистые песчаники, в верхней части с прослойом мощностью 0,5 м зеленых и черных аргиллитов. Видимая мощность	60 м	
2. Серые известковистые песчаники, кверху по-степенно сменяющиеся зелеными известковистыми аргиллитами. В основании отмечается равномерное (через 10-60 см) переслаивание песчаников и аргиллитов	50 "	
3. Темно-серые аргиллиты с тремя прослойями серых кварцитовидных песчаников, в средней части мощностью около 1 м (два прослоя), в верхах - 3,5 м. В верхнем прослое песчаники перемежаются с глинистыми, сланцами, образуяими 10-20-сантиметровые про-пластки	147 "	
4. Черные, изредка зеленоватые аргиллиты, в верхних горизонтах (6 м) сменяющиеся серыми, содержащими два прослоя кварцитовидных песчаников мощностью по 0,5	106 "	

5. Темно-серые, изредка светло-серые аргиллиты с тонкими (2-5 см) прослойками светлого известия, приуроченными к нижней части, и темно-серого доломита, расположенным в верхней части (5 м)	22 м
6. Тонкое переслаивание (0,3-1 см) зеленых тонкополосчатых аргиллитов и белых доломитов с прослойем черного известняка (10-15 см)	7,6 "
7. Серые аргиллиты с прослойами темного доломита (1-40 см)	10 "
8. Слой аналогичный слою 6	1,5 "
9. Черные аргиллиты, кверху сменяющиеся тонко-полосчатыми серыми с зеленым и желтым оттенком	25 "
10. Темно-серые сланцеватые аргиллиты, в нижней части с линзовидными прослойками (до 60 см) серых и темно-серых кварцитовидных песчаников	80 "
II. Серые кварцитовидные песчаники	8 "
12. Серые и темно-серые аргиллиты, в верхней час-ти тонко (через 1 см) переслаивающиеся с серыми доло-митами. В нижней части последние присутствуют в ред-ких прослойках мощностью 1-2 м	120 "
13. Серые битуминозные доломиты в переслаивании с аргиллитами, внизу - через 0,5-1,2 м, вверху - в бо-лее тонком (от 3 до 30 см)	6 "
14. Тонкополосчатые глинистые доломиты	25 "
15. Серые кварцитовидные песчаники, в низах с частыми прослойками мощностью до 10 см глинистых сланцев	II "
16. Темно-серые и серые битуминозные доломиты, массивные внизу, выше - тонкополосчатые	15 "
17. Грубое (через 3-8 м) чередование светлых из-вестняков с прослойами глинистых сланцев и темно-серых известняков	23 "
18. Темно-серые известняки	20 "
19. Серые мергели, внизу с прослойками черных гли-нистых сланцев и светлых известняков. Видимая мощность 3 м.	
Общая мощность 740 м.	
Самые верхние горизонты алтюнского свиты лучше всего об-наружены в среднем течении р.Ук., которая пересекает их вкrest про-стирания. Выдержанное северо-западное падение пород под углом 40-60° и наличие большого количества коренных выходов позволяет составить здесь непрерывный разрез (снизу вверх):	

димах	мощность	• • • • •	150	M
2.	Серые известняки	• • • • •	20	"
	рекордные в артиллиты; в средней части — прослой зеленых артиллитов, в верхней — многочисленные прослой фиолетовых известняков	• • • • •	200	"
4.	Темные известняки с мелкими (3-4 см) окружными обособлениями розового и белого кальцита. В нижней части отмечаются прослой мергелей и глинистых известняков мощностью до 1 м, содержащие раковины <i>Dinorthis</i> (?) sp., <i>Platystraria</i> sp. (сборы А.А.Беэра, 1961 г. и В.И.Гольденберга, 1963 г.); определения Н.В.Литвиновича	• • • • •		
5.	Глинистые известняки желто-серого цвета...	окою 40"	85	"
6.	Брекчие видные и массивные известняки серого цвета, в верхах переслаивающиеся с желтовато-серыми глинистыми известняками	• • • • •	80	"
В аналогичных известняках, обнажающихся на левом берегу р.Альдома, в 3 км ниже устья р.Иван, В.И.Гольденбертом в 1963 была собрана фауна брахилопов <i>Monomerella</i> sp., <i>Platystraria</i> sp., <i>Pseudometopota</i> sp., <i>Cuccoelia</i> cf. <i>sordida</i> (Hall) (определение Н.В.Литвинович)				
7.	Фиолетовые известковистые артиллиты	• • •	85	"
8.	Зеленовато-серые известковистые артиллиты и алевролиты, в верхней части с тонкими (1-4 см) и частыми прослойами зеленых мергелей и розовых известняков	• • • • •	25	"
9.	Глинистые алевритистые известняки серого и темно-серого цвета, в низах с прослойками черных артиллитов мощностью до 50 см, в средней части — серых мергелей мощностью 1-5 м. Мергели и глинистые известняки содержат раковины <i>Lingula</i> sp. (определение Н.В.Литвинович)	• • • • •	165	"
10.	Зеленовато-серые известковистые артиллиты цвета с прослойами известковистых рассланцованных артиллитов	• • • • •	40	"
II.	Глинистые известняки зелено-серого			

Нижний отдел СИЛУРСКАЯ СИСТЕМА

Выходы лландоверийского яруса встречены в единственном участке на берегу Охотского моря, в 2 км северо-восточнее устья р.Улкан, в аброзионном обрыве и рифах, выступающих из-под воды во время отливов. Ими сложен небольшой по площади тектонический блок, в пределах которого наблюдается моноклинальное падение пород к северу под углом 65°.

Лландоверийские отложения представлены темно-серыми глинистыми известняками и черными аргиллитами, переслаивающимися между собой через 10-20 см и изредка через 1-2 м. Видимая мощность около 200-250 м.

Глинистые известняки содержат раковины брахипод, среди которых, по устному сообщению сотрудника ГИН АН СССР Г.Г.Королева, собранныго Феину, А.С.Розман определены *Mendacella ex gr. tungsnesensis* Nikif., *Samarcocerasidiae* (род неопределен). Типичная форма первого вида является руководящей для лландоверийского

12. Фиолетовые глинистые алевролиты, в низах с прослоем серых глинистых известняков 200 м
Далее — на 90 м по мощности — задерновано. Судя по отдельным высоткам, этот интервал представлен также фиолетовыми алевролитами. Выше залегают базальные конгломераты верхнего силура. Общая мощность верхней части алдомской свиты ГЗ20 м.

Разрез средней части алдомской свиты почти непосредственно надстраивает разрез ее нижней части. В узяке верхней части разреза со средней имеется пробел (100—150 м по мощности задерновано). Следовательно, общую видимую мощность алдомской свиты можно определить примерно в 2500 м.

Возраст описанных отложений установлен на основании присутствия в них брахиопод *Molomedella* sp., *Cyclococelia* cf. *sordida* (Hall), характерных, по заключению Н.В.Литвинович, для позднего ордовика.

Верхний отдел

Лудловский ярус X/ (S₂1d)

х/ Лудловский ярус понимается в старом его значении и в этом случае отвечает верхнему силуру. — Прим.авт.

5.	Серые глинистые известняки с прослойками зе- леных мергелей мощностью 1,5-6 м. В мергелях нижнего 1,5-метрового прослоя содержатся раковины	100 м
Самаротосчия carens (Barr.) и неопределенные кораллы	• • • • •	
6. Тонкостойные, реже массивные алевритистые известняки. В средней части массивные разности со- держат колонии табулят Favosites humilis Sok.,		
Squameofavositess tchortangensis Cheikh., Heliolites ex- er. interstitialis (L.), Tachyphora sp., Syringopora sp., Plasmopora sp. • 45 "		
7. Углисто-известковистые артиллиты с прослойами темного известняка мощностью до 1,8 м, верхние из ко- торых содержат fauna табулят, аналогичную указанной в слое 6. В основании отмечается маломощный (0,6 м)		
прослой зеленых брекчийных мергелей • • • • • • • • • • • 25 м		
8. Тонкостойные темные известковистые артилли- ты, в нижней части (25 м) в тонком переслаивании с глинистыми известняками • • • • • • • • • • • • • • • • • 53 "		
9. Серые и темно-серые мергели и глинистые известняки с прослоем мощностью 1,5 м коралловых алевролитовых известняков в основании • • • • • • • • • 14 "		
10. Тонкостойные глинистые известняки серого цвета (25 м), кверху сменяющие массивными алевро- литовыми известняками • • • • • • • • • • • • • • • • 65 "		
II. Серые тонкоклапчатые известняки • • • • • • • • • 18 "		
12. Серые алевритистые известняки, в верхней части с редкими прослойками глинистых известняков мощ- ностью до 50-60 см. В верхах нижней трети слоя от- мечается рутизы Stortophyllum aff. simplex Wald.,		
Entelophyllum cf. uralicum и колонии табулят		
Favosites gothlandicus Lam. var. kuklini Chern. • • • . 80 "		
13. Темно-серые массивные известняки, в верхней части с маломощными (30-40 см) прослойками коралловых известняков • • • • • • • • • • • • • • • • • 15 "		
14. Задерновано • • • • • • • • • • • • • • • • • 40 "		
15. Черные углисто-глинистые известковистые сланцы, кверху сменяющиеся серыми известково-глинистыми кровельными сланцами • • • • • • • • • • • • • • • • 28 "		
16. Тонкоперслаивающиеся средне- и мелкозер- нистые пестринные известники • • • • • • • • • • • • • • 40 "		

через 10-30 см, выше (8 м) — через 1-5 см, в средней и верхней частях (39 м) — через 1-30 см

63 м

Фаменский (?) ярус ($D_3 fm?$)

в основании с редкой галькой и валунами (размером до 15 см) кварц, кварцитовидного песчаника, артилита и диабаза. Талька и валуны уплощенной формы, обладают совершенной окатанностью и наклонены к склонам под углом 10-15°. Пласт песчаников с окатышами имеет мощность

9. Пачка переслаивающихся известковистых

массивных песчаников и тонкослоистых алевритистых

и глинистых известняков. Мощность пластов песчаника колеблется от 3 до 6 м, известняков — от 0,3 до

2,5 м

60"

10. Пачка тонкопереслаивающихся серых массивных

алевритистых и тонкослоистых глинистых известняков. В

интервале между 10-м и 15-м метрами, считая от осно-

вания пачки, обнаружена богатая фауна брахиопод и

неопределенных кораллов и хрионид. Среди брахиопод

Н.В.Литвинович определены *Spinulicosta spinulicostata*

Strophodontia orientalis Jan. et Modz., *Athyris spirife-*

roides Eaton, *Microspirifer?* ex gr. ali Nal., *Atrypa* sp.

Встречен трилобит *Phacops* sp. около 90".

Сходный разрез двух последних пачек (9 и 10) наблюдается также и на р.Танчи после 20-метрового перерыва из-за отсутствия обнажений. Там известковистые песчаники и алевритистые известняки пачки 10 перекрываются конгломератами фаменского (?) яруса.

Общая мощность франского яруса 600 м.

Собранный из нижней части описанных отложений фауна ру-
гоэ, таубуля и брахиопод свидетельствует, по заключению М.М.Сме-
ловской, Т.Т.Шарковой и Н.В.Литвинович, о франском возрасте.

Присутствие здесь *Microspirifer vasiliensis* var. *microstomoides* (Rzon.), *Hypothyridina* sp. указывает на нижнюю часть франского яруса. В составе собранной из верхней части этих отложе-
ний брахиоподовой фауны франского яруса имеются формы, указывающие на самое его верх. Таким образом, комплекс фауны позволя-
ет считать, что объем описанных отложений, по-видимому, отве-
тит полному объему франского яруса.

Фаменские отложения, представленные кварцитовидными, из-
вестковистыми и полимиктовыми песчаниками, алевролитами, извест-
няками и конгломератами, согласно перекрывают породы франского
яруса.

На левом берегу р.Танчи в разрезе фаменских отложений од-
нашается (снизу вверх):

1. Конгломераты мелко- среднегалечные, состоящие
из хорошо окатанной гальки кварцитовидных песчаников,
сцепментированной среднезернистым известковистым песча-
ником

30 м.

2. Массивные темные кварцитовидные песчаники

100 "

3. Тонкослоистые черные алевролиты и артиллиты

15 "

4. Среднезернистые полимиктовые песчаники се-
зеленного цвета, содержащие редкую гальку кварцитовидных

песчаников с прослоями мощностью 0,5-0,7 м мелкогалеч-

ных конгломератов в основании и выше

12,5 "

5. Мелкогалечные конгломераты

15 "

6. Известковистые песчаники с редкими прослоя-
ми тонкозернистых алевролитов

25 "

7. Мелко- и среднегалечные конгломераты

7-10 "

8. Полосчатые известковистые алевролиты и алев-

ритистые известняки, в нижней части с редкими одноч-

ными кораллами плохой сохранности. Видимая мощность

75 "

Верхние горизонты фаменского яруса на р.Танчи прорваны

транитоми, а в верховых р.Болчинкан скрыты под вулканоген-

ными образованиями тщетонской свиты.

Общая, видимая в принадленном разрезе мощность фаменского

яруса составляет 280 м. Несколько восточнее, в верховых р.Бол-

чинкан, видимая мощность составляет 600 м.

Фаменский возраст описанных пород устанавливается в неко-

торой мере условно по положению их в общем непрерывном разрезе

среднего и верхнего девона — выше верхов франского яруса. Ве-
роятность такого предположения подтверждается также наличием

в соседнем районе (окрестности пос.Дян) в литологически сходных

отложениях фауны низов фаменского яруса.

24

ВЕРХНИЙ ОТДЕЛ ПРСКОЙ СИСТЕМЫ И НИЖНИЙ ОТДЕЛ МЕЛОВОЙ СИСТЕМЫ

МЕЛОВОЙ СИСТЕМЫ

Джелонская свита. Выходы вулканогенных пород Джелонской свиты протягиваются широкой полосой (10-15 км) от бассейнов рек Оторульяк, Биджик, Иркани вдоль берега моря к бассейну р. Эйсан. Породы Джелонской свиты со стратиграфическим первом перекрывают образования верхнего девона. Они в значительной мере метаморфизованы благодаря воздействию на них более молодых гранитоидных интрузий. В пределах описываемого района по литологическим признакам Джелонская свита разделена на две подсвиты.

Нижняя подсигта джелонской сэйнти (Ј-Сг1 d₁) развита в низовьях р. Улкан и на морском побережье к северу от его устья. Она представлена андезитовыми турами с подчиненным количеством

жистых глинистов, туфогенно-осадочных и кремнистых пород, и андезитов. В морских обрывах, в 1,5 км к северу от устья Улканы, без утлогоя несогласия, но со стратиграфическим перерывом на песчаниках фаменского яруса залегают (снизу вверх):

от средней к верхней пачке становятся постепенным, благодаря переслаиванию мелкообломочных равномернослойных и крупнообломочных массивных губков андезитов. В средней пачке появляются туфриты с горизонтальной и косой слоистостью и туфовые алевролиты с желваками светло-зеленого микрозернистого известника.

ролиты с желваками светло-зеленого или коричневого
цвета. Мощность нижней подсвивты составляет около 1200 М.

Мощность нижней подсвиты составляет около 1200 м.
Верхняя подсвита (J_3 - Cr_1 $d\ell_2$) прослеживается в бассейнах рек Оторукяя, Иркань, Чельбинь, Мужчинка. Она представлена туфами среднего, смешанного и кислого составов с подчиненным кипческим гибридом туфлитов, туфогенно-осадочных пород и вулканических обнажений. Несколько нижняя подсвита отсутствует и верхняя подсвита

с условием несогласия залегает на различных горизонтах левона и верхнего слуги. В связи с большим количеством разрывов, строение верхней полосы устанавливается сопоставлением част-

I. Неравномерно окрашенные антизитовы вулканические разрезы по рекам Библякит и Оторуцях. Здесь над (снизу вверх):

ческие брекчи, вверх переходящие в круто- и средне-
обломочные туфы с редкими матомичными ненадержанными
простолами мелкообломочных полосчатых туров, туфитов и

Турфогенных песчаников	20
2. Миндалекаменные плагиоклазовые андезиты	20
3. Кристаллогистические туры риолитов зеленовато-	100

серой окраски с редкими болотистыми красными пятнами. 4. Ампелазитовые метаморфоменные лягушкастические туфы, неравномерно окраинные в лилово-розовый и зеленый цвет, с примесью пурпурных пятен на поверхности потесч-

6. Мелкообломочные туфы, литокристаллические смешанного состава с проявлениями зеленовато-серых полос —

чных мелкогранитных тумблеров и дверей. 100

7. Миниатюрные пластиковые андезиты • • •

8. Туры пластиковые, среднебольшие, с про-
литами для мелкогранитных тумблеров 150

стонки в средней части медленно опускаются вниз. В нижнем течении реки Былокит, Оторульях, Иргани увеличивается мощность (до 1400 м) турбоя, кислого и смешанного сочленения с озерами, а также речной потоком. На левобережье

товой и гиалопилитовой структурой основной массы (60–70%), тонкообломочных кристаллокластических туфов (5–7%), кремнисто-сернистовых и хлорит-эпидот-слюдистых сланцев (0–2%), среднего (№ 33–35) сильно серпентинизированного плагиоклаза, реже кварца и рогульек стекла. Цемент сильно разложен и состоит из агрегата хлорита, серпилита, зеленого эпидота, кремнистого вещества, гидроокислов железа, иногда кальцита.

Туфы смешанного состава, разнообломочные либо и лито-кристаллокластические, характеризуются темно-серой и зеленовато-серой окраской и массивной текстурой. Обломки угловатые и несортированные, представлены дацитами (20–40%), андезитами, часто миндалекаменными (30–40%), риолитами (5–30%), кремнистыми породами (2–5%), плагиоклазом (15–20%) среднего состава (№ 25–40) и редко кварцем (0–5%). Цемент сложного состава – раздробленный и разложенный ширококластический материал, превращенный в серпилит-хлорит-кремнистый, кальцит-хлоритовый, железистый агрегат.

Туфы кислого состава, мелко- и среднеобломочные, обладают светло-серой и светло-зеленой окраской и массивной текстурой. Они представлены лигокристаллокластическими, кристаллокластическими и витрокристаллокластическими разностями. От описанных выше туфов они отличаются составом пирокластического материала. Обломки андезитов встречаются редко, резко преобладают риолиты, много кварца, плагиоклаз представлен олигоклазом; в витрокристаллокластических разностях – рогульчатые обломки раскристаллизованного вулканического стекла кислого состава. Цементирующая масса состоит из рогульчатых пепловых частиц кварца, плагиоклаза, вулканического стекла, часто сильно разложенных и прерванных в глинисто-хлоритовый и хлорит-кремнистый агрегат. Туфы мелко- и тонкообломочные, турботенные лещаники, алевролиты и аргиллиты отличаются от ассоциирующих с ними туфов лучшей сортировкой зерен по размеру, их окатанность и тонкослоистой структурой. В тонкообломочных туфах и туфостенных алевромитах обломки пород отсутствуют. Цементирующая масса распределена неравномерно и представлена кремнисто-хлоритовым, глинисто-сернист-хлоритовым (в породах кислого и смешанного составов), зеленисто-хлоритовым (среднего и смешанного составов) веществом.

Во всех породах встречается карбонатный, а в турботенных алевромитах – ультисто-глинистый цемент.

Кремнистые аргиллиты сложены халцедоном и тонкозернистым агрегатом разложенного глинистого вещества, состоящим из хлорита, серпилита и рудной пыли, по которой часто развивается лейко-

ксен. Встречаются единичные мелкие (0,05 мм) обломки кварца и плагиоклаза. Микрослоистая текстура обусловлена чередованием слойков со стяжением рудной пыли и бурого глинистого вещества в одних и прозрачного халцедона в других слойках.

Андезиты – темно-зеленые плотные, иногда миндалекаменные породы с вкраплениниками, которые представлены плагиоклазом (№ 45–55), плагиоклазом и пироксеном (титанистый авит и реже серпентинизированный гиперстен), плагиоклазом и зеленовато-бурой роговой обманкой. Размер вкраплениников – от 0,5 до 3 мм. Основная масса, состоящая из среднего плагиоклаза и стекла, раздробленного и замещенного хлоритом, альбитом, гидроокислями железа и рудными минералами, имеет микролитовую, гиалопилитовую и плагитовую структуры. Из акессорных минералов встречается сфер

и апатит.

Дациты – светло-серые и серые породы порфировой структуры. Вкраплениники (20%) представлены плагиоклазом (№ 30–35), сильно серпентинизированным, реже кальцитизированным и эпидотизированным, а также роговой обманкой (до 5%), часто полностью замещенной хлоритом. Основная масса состоит из кислого плагиоклаза (60%), кварца (20%), кальциного полевого шпата (15–20%) и имеет микролитовую или микрорубежзитовую структуру. По основной массе часто развивается кальцит и мелкие чешуйки серпилита и хлорита.

Риолиты представляют собой порфировые породы с мелкими вкраплениниками, количество которых составляет 20–25%. Вкрапленники представлены кварцем (15–20%), часто опаленным, с глубокими "бульбообразными заливами", плагиоклазом (40–50%) кислого состава (№ 25–28), поликристаллически сплющиванным и серпентинизированным, кальциевым полевым шпатом (20–25%), пеливизированным, иногда образующим простые двойники. Основная масса микрорубежзитовая и фельзитовая, неравномерно раскристаллизованная, иногда флюидальная.

По химическому составу риолиты, дациты и андезиты близки к соответствующим породам по Р. Дэли, однако отличаются в ряде случаев недонасыщенностью калием (табл. I, анализы I–4). Спектральные анализы не обнаруживают никаких особых особенностей в содержании элементов-примесей.

Поздненорский-раннемеловой возраст образований джелонской свиты и Нельдинской толщи устанавливается на основании следующих данных. В бассейне р. Нельди в турботенных породах верхней подсвиты джелонской свиты и Нельдинской толщи обнаружен комплекс спор и пыльцы (*Cyclopis pseudolimbata* cf. *tipica* sp. et sp., Ro-

Таблица I
Химический состав пород джелонской, магейской и
Нельзинской свит

Оксиды	I	2	3	4	5	6	7
SiO ₂	57,52	55,5	76,34	70,66	57,3	55,08	69,62
TiO ₂	0,62	1,18	0,35	0,50	0,91	1,14	0,45
Al ₂ O ₃	15,30	15,73	12,97	14,89	16,95	17,09	16,51
Fe ₂ O ₃	2,39	6,52	0,88	1,53	4,92	3,78	1,60
FeO	2,22	3,25	0,55	1,35	3,02	3,68	0,72
MnO	0,07	0,11	0,04	0,07	0,11	0,12	0,13
MgO	2,33	3,47	0,39	0,89	3,07	3,85	0,63
CaO	6,50	6,50	0,45	1,80	6,30	5,30	0,75
Na ₂ O	4,55	3,19	3,18	3,16	3,32	3,21	2,59
K ₂ O	1,54	0,13	3,95	1,84	2,06	3,15	5,28
Si ₃	0,01	Cп.	0,04	Cп.	0,02	Cп.	Cп.
П.п.п.	6,52	3,63	0,71	2,99	1,79	2,93	1,60
Р ₂ O ₅	0,04	0,35	0,06	0,13	0,31	0,37	0,06
H ₂ O	0,10	0,17	0,07	0,20	0,28	0,32	0,32
Сумма	99,71	99,8	100,02	100,36	100,02	100,26	100,26

Чистовые характеристики по А.Н.Заварыкову

S	70,52	68,33	75,16	79,86	68,87	66,9	76,59
a	12,31	7,70	10,97	9,40	10,71	12,23	12,89
c	4,84	3,71	0,41	2,17	6,57	5,97	2,62
b	12,48	23,32	13,57	8,52	14,07	14,90	9,7
Q	II,43	17,49	27,86	38,64	9,53	3,37	22,98
g	2,54	2,07	26,75	4,33	1,63	2,48	15,07
a'	-	-	86,95	70,63	-	-	68,91
c'	29,52	23,21	-	-	9,64	5,31	-
m'	33,72	31,71	4,35	17,46	38,07	45,90	10,13
f,	36,68	41,71	8,69	29,36	53,28	48,30	20,94
n	80,95	90,11	55,91	72,66	70,66	61,17	42,85
φ	17,75	29,28	5,21	14,28	30,45	23,18	13,51

Примечание. I - обр. 1013/1 - андезин; 2 - обр. 1238/7 - андезин; 3 - обр. 1108/1 - риолит; 4 - обр. 73/1 - риолит; 5 - обр. 1244 - андезин; 6 - обр. 1241-андезин; 7 - обр. 1246 -

tundina pachytella cf. tipica sp. et fn., Politusella poros-reticulata sp. fn., Quadraeculina tatinirina Bqua ratella sp. et var. n., Saeculina orbiculata tipica sp. et fn., Saeculina varicosa sp. n., Patellina exilis sp. fn., Tollenites canexus var. cuneiferus sp. et var. n., Monolitella cratacea tipica sp., Collianlina triangulata f. tipica sp. et fn., Monolitella sp., Saeculina orbiculata tipica sp. et fn., Pollenites var. relations sp. et var. n., Pollenites convexus var. cuneiferus et var.n., по заключению В.В.Скотаренко, характерный для поздней юрско-раннего мела. Кроме того, в турбидитах джелонской свиты, с которой согласуется описанная выше вулканогенная толща, в бассейнах рек Сынгильда (Гольденберг, 1963ф), Кирен и Джелон (Красный, ГЭ55) найдена позднеюрская - раннемеловая фауна.

МЕЛОВАЯ СИСТЕМА

Нижний отдел

Ульяновская система ($Cr_1 \text{ и } Cr_2$) распространена в верховых рек Малтан, Улган и на правобережье р. Намань, где она имеет пологое залегание и слагает ксеномит в раннемеловых гранитоидах. Взаимоотношения ее с более древними образованиями нигде не наблюдалось. Исходя из наложенного характера структур, выполненных образование ульяновской и перекрывающей ее магейской свит, в стратиграфической колонке пестро-плоское залегание ульяновской свиты на джелонской показано предположительно. Она сложена в той или иной мере измененными под воздействием гранитомета андезитами и их туфами. В нижней части ульяновской свиты преобладают темноокрашенные андезиты со сравнительно мелкими (до 2-3 мм) вкраплениками андезита (№ 37-47), плохо различимыми на фоне основной массы. В верхней андезиты со спеклами, иногда почти белыми, коричневыми. Вкраплениками более кислого пакшитата (№ 30-33). Основная massa в обоих случаях имеет существенно пакшитовый состав и метасоматическую или криптокристаллическую структуру. Туфы отмечены лишь в верховых р. Малтан в верхних частях разреза, где они представлены мелкообломочными лягокристаллизованными и литотактическими разностями и слагают пачку мощностью около первых десятков метров. Туфы темно-серые. Обломки пород уловлены

формы, представлены различными плагиоклазовыми андезитами, кристаллическими — андезитом. Цемент в турфах, видимо, того же состава, что и более крупные обломки; как правило, он хлоритизирован, содержит рудную пыль. Данные склератического анализа андезитов ульбергитской свиты свидетельствуют о том, что породы по своим числовым характеристикам слизки к аналогичным андезитам по Р.Джевелли, но отличаются от них некоторым лейкократом свободного кремнезема (Q) и большим содержанием кальция (см.табл. I, анализ 5,6). Максимальная видимая мощность свиты составляет не менее 400 м.

Раннемеловой возраст андезитов и их туфов определяется на том основании, что в 100 км к западу от описываемого района, в бассейне р.Немуйкан, в туфах аналогичной по стратиграфическому положению и петрографическому составу толщи обнаружена раннекремлевая флюра, скорее всего, флюра неокома. (Ставцев, 1962).

М а т е й с к а я с в и т а (Сг₁?^{mg}). Вулканические образования, относящиеся к матейской свите, слагают ксенолиты в краевом массиве раннемеловых гранитоидов в бассейнах рек Таганах, Намчи, верховьев Малтан и согласно перекрывают породы немуйканской свиты. Матейская свита сложена в основном трахиролитами, трахитами, дацитами, их турами и туфоловами очень разнообразной окраски—от светло-серой, зеленовато-серой, лиловато-розовой до почти черной и лиловой. На контакте с гранитоидами породы в значительной степени метаморфизованы. Свита имеет двухслойное строение, которое наиболее отчетливо наблюдается на водоразделе рек Намчи и Таганах. В основании свиты залегает пачка однообразных светло-серых слабо раскристаллизованных тонкодисперсных фельзитоподобных трахиролитов мощностью до 100 м. выше они довольно резко сменяются темно-серыми, почти черными или зелено-буровато-серыми турами дацитового состава, часто с многочисленными обломками зеленовато-серых пород и белого плагиоклаза. Среди них встречаются малоомощные редкие линзообразные прослои андезитов и их туфов. Мощность пачки туфов составляет около 650 м. В южном и западном направлениях наблюдается увеличение мощности трахиролитов до 600 м (верховья р.Малтан); кроме того, здесь появляются линзы трахитов, их туфов и туфолов, изредка риолитов. В этом же направлении происходит замещение дацитовых туфов да-

желонской свиты связено с воздействием раннемеловых гранитоидов иногрунгом. — Прим.авт.

там; туфы встречаются только в виде маломощных линз. Появляются, эти пачки не являются стратиграфически выдержаными горизонтами. Суммарная максимальная видимая мощность свиты составляет около 750 м.

Трахиролиты и трахиты имеют четко выраженную полированную структуру. Многочленные мягкие вкрапленники (1-2 мм) представляют кислым плагиоклазом (от 5% в трахитах до 30-40% в трахиролитах), часто сернистизированным; пелитизированным перитовим кальцитом полевым шпатом (только в трахитах), образующим пильморфные таблички с оплавленными краями; мелкими листочками бурового биотита, часто опахитизированного и замещенного мусковитом. Основная масса состоит из кислого (№ 8-12) плагиоклаза (около 60%), калиевого полевого шпата (около 40%) и тонкораспыленного рудного минерала. Трахиролиты содержат от 5 до 15% кварца. Изредка последние переходят в риолиты, в которых количество кварца достигает 30%. Основная масса неравномерно раскристаллизована; структура ее фельзитовая, трахитовая, микропойкилитовая, иногда сферолитовая; текстура флюидальная, иногда перлитовая, массивная.

Состав указанных выше риолитов приводится в табл. I (анализ 7). Они отличаются от типичных риолитов по Р.Дэни некоторой пересыщенностью кальцием и недосыщенностью кремнеземом, что свидетельствует о незначительном их оттокением в сторону трахиролитной группы пород.

Туфланы отличаются от лав присутствием в них обломков пород (10-15%), представленных трахитами, трахиролитами и реже андезитами. Туфы трахитов мелкоблочечные, реже среднеобломочные, внешне очень мало отличаются от трахиролитов и трахитов. Среди обломков преобладают трахиты. В подчиненном количестве отмечаются сернистизированный плагиоклаз (оптиктаз). Цемент состоит из тонких пепловых частичек, видимо, того же состава, что и более крупные обломки; он несколько хлоритизирован, сернистизирован и местами лейкоксенизирован.

Дациты представляют собой темноокрашенные массивные породы с хорошо различимыми вкраепленниками плагиоклаза (№ 35), об разующими таблитчатые кристаллы (до 2 мм), часто зональные (75%). Кроме того, встречаются вкраепленники калиевого полевого шпата (2-5%), нерешетчатого интенсивно пелитизированного; биотита (5-10%), нередко напело замещенного хлоритом и эпилитом; буровато-зеленой роговой обманки (1-5%) и моноклинного широкосернистого раскристаллизованного, состоит из плагиоклаза (55-60%), ка-

лиевого полевого шпата (15%), стекла (5–10%), кварца (15–20%) и тонкой рудной пыли, иногда с примесью хлорита. Структура микрофельзитовая, фельзитовая, местами сферолитовая и микролитомикроплитовая. Аксессорные минералы представлены апатитом и цирконом.

Туфы дацитов внешне очень похожи на эфузивы, тем более, что среди пирокластов преобладают кристаллы среднего плагиоклаза (30%); обломки пород встречаются редко (до 5%) и обычно представлены стекловатыми дацитами и реже андезитами. Кроме того, часто встречаются единичные обломки кварца, калиевого полевого шпата, листочки опалитизированного биотита, магнетита. Цемент в туфах состоит из тонкоперетертого материала, нередко несколько более кислого состава, чем более крупные обломки.

Англезиты и их туфы аналогичны таким же породам немудранской свиты.

Образования, относимые к магейской свите, почти непрерывно протягиваются на юго-запад, за пределы района, в бассейны рек Тунум, Малей и на север – в бассейны рек Малтан, Нулеми. В туфах этой свиты в бассейне р. Тунум (лист 0-53-УХУ) Б.С. Неволиним, В.М. Моралевым и К.Г. Чешкиной в бассейне р. Нулеми (лист 0-54-ХШ) М.А. Тарховой и А.Л. Беэром (Тархова и др., 1962) была собрана флора, характерная для конца раннего мела, но не исключаясь сеноман-туронский возраст. Следует отметить, что для магейской свиты позднемеловой возраст мало вероятен, так как она связана в бассейне р. Малей постепенным переходом с подстилающей ее немудранской свитой, охарактеризованной фторидом ионом (Ставцев и др., 1962).

В е р х н и й о т д е л (Sr₂?)

Верхнемеловые отложения слагают разрозненные участки в бассейнах рек Таганах, Намчи, Мал.Кемкара, Больш.Эйкан. Они несогласно залегают на эфузивах магейской свиты. Залегание пород верхнего мела практически горизонтальное, лишь волнистое от разломов, оно становится полого наклонным (3–5°) с падением пластов на восток-северо-восток. Породы представлены в основном туфами палитового и англезитового состава зеленого и розовато-зеленого цвета. В подчиненном количестве присутствуют туфолавы, дациты и андезиты. В основании толщи наблюдаются туфоконгломераты и туфоглыники, состав обломков которых зависит от состава подстилающих пород. В частности, в бассейне рек Кемкара, Эйкан и на правом береге р. Таганах была встречена многочисленная галька гранито-

лов джигурского комплекса, а в междуречье Таганаха и Намчи – галька трахириолитов магейской свиты. Наиболее полный разрез наблюдается на левобережье р. Мал.Кемкара (снизу вверх):

I. Туфоконгломераты мелко- и среднегалечные,

серые, розовато-серые, темно-серые, с галькой под-

стияющих пород, спементированной среднеобломочными туфами дацитового состава. Галька представлена гранит-порфиритами, аplitами, микродiorитами, роговиками, кварцем. В контгемератах наблюдается слоистость, обусловленная чередованием пластов (0,2–0,7 м) средне- и мелкогалечных разностей. Вверх по разрезу туфоконгломераты постепенно сменяются крупно-, среднеобломоч-

ными туфами дацитов • 32 м
2. Дациты светло-серого цвета, аргилитового сложения • 2 "

3. Туфы андезитов тонко- и мелкообломочные, зеленовато-серого цвета, иногда с красноватым "вишневым" оттенком • 120 "

4. Туфы андезитов зеленовато-серые, от крупно- до мелкообломочных, массивные. В средней части –

покров аргилитовых андезитов (15–20 м) • • • • • • • • • • • 125 "
Суммарная видимая мощность верхнемеловых отложений 300 м.

Андезиты обладают четко выраженной порфировой структурой. Во вкрашениках, составляющих около 20% породы, присутствуют зональный плагиоклаз (40%) андезин-лабрадорового состава, слабо измененный; моноклинный пироксен (10–15%), роговая обманка (5–7%) и биотит (до 5%). Основная масса, состоящая из плагиоклаза (60–70%), хлоритизированного стекла (10–15%), пироксена (до 5%), обладает пилотактической, гиалопилитовой и микролитовой

структурой. Дациты отличаются от андезитов отсутствием пироксена и наличием в основной массе кварца (10%). В туфолавах обычно присутствуют обломки дацитов (10–15%). Туфы по составу колеблются от андезитовых до дацитовых. По размеру пирокластов среди них выделяется широкая гамма разновидностей: от тонкообломочных (0,05 мм) до крупно- и грубобобломочных. Туфы андезитов характеризуются более однородным составом пригластинского материала – средний плагиоклаз (20–30%) и андезиты (70–80%). В туфах дацитового состава присутствует плагиоклаз (30%), кварц (10%), калиевый полевой шпат (5%), обломки дацитов (40%) и редко андезитов. Цемент во всех разностях составляет не более 30% и, как правило, интенсивно эпилитизирован и хлоритизирован. Туфоконгломераты, мелко- и среднегалечные, представляют собой светло-розовую породу с галькой хорошей и средней окатанности, состоящей из гранита, гра-

нодиорита, амита, кварцевого диорита, платиопорфира. Цементом служит тuff лапиллового состава.

В пределах района возраст описываемых образований может быть установлен только как послераннемеловой на основании несогласного залегания их на эфузивах и туфах магейской свиты нижнего мела. Непосредственно к западу (в 20 км), в межуречье Бол. Комы-Джалдак-Аваланки, обнаружены аналогичные по составу и стратиграфическому положению образования, в которых отмечен спорово-пыльцевой комплекс, характерный, по заключению В.В.Скотаренко, для верхнего мела, возможно, сенон-датского яруса (Славдев и др., 1962). Незначительное площадное развитие и относительно небольшая мощность описанных образований не позволяют более точно сопоставить их с известными свитами верхнего мела, что обуславливает отнесение их к неразделенным верхнемеловым отложениям.

ЧЕТВЕРТИЧНАЯ СИСТЕМА

СРЕДНЕЧЕТВЕРТИЧНЫЕ ОТЛОЖЕНИЯ (Q_{II})

К междениковым ранне-среднечетвертичным относятся аллювиальные и морские отложения. Аллювиальные отложения слагаютцу аэрозионно-аккумулятивные надпойменные террасы высотой 25–30 м, развитую фрагментарно по р.Улкан, в среднем течении р.Таганах, в низовьях р.Намчи. Они представлены в основном валунником и гальчником с примесью песка, реже глыбами. Мощность их колеблется от 12 м (р.Намчи) до 2–5 м (р.Улкан). Отложения содержат большое количество пыльцы кустарниковых видов: берески (25–40%) и ольхи (15–90%). Среди спор господствуют представители холдо-любкой арктической флоры (*Selaginella sibirica*, *Lycopodium appressum*).

По-видимому, морские образования сохранились на поверхности абразионной 15–30-метровой террасы, расположенной у южного окончания оз.Ангикан, на п.-ве Нурки и в устьях рек Ука, Нельон и Улкан. Это в основном суглинистые отложения с большим количеством дресвы и хорошо окатанной уплотненной галькой эрозионных пород. Их мощность не превышает первых метров. Отложения характеризуются сходством с указанным выше для аллювия спорово-пыльцевым спектром, однако здесь отмечается большое количество прибрежно-водных форм *Turritis*. Диатомовая флора представлена полуразложившимися фитоптергарами, кремезевыми скелетными образованиями гидробионтных растений, единичными иглами губок и створками

и пресноводных и солоновато-водных литоральных лигнотем четвертичного возраста.

В связи с тем, что более низкие (10–14 м) террасы сложены верхнечетвертичными отложениями, для описанных образований принимается, до некоторой степени условно, ранне-среднечетвертичный возраст.

Кроме того, на склоне долины р.Улкан (хр.Прибрежный) встречены арктические валуны кварцевых порфиров размером от 15 до 30 см, по-видимому, являющиеся остатками среднечетвертичного полупокровного оледенения.

ВЕРХНЕЧЕТВЕРТИЧНЫЕ АЛЛЮВИАЛЬНЫЕ ОТЛОЖЕНИЯ (Q_{III})

К нижней части верхнечетвертичных отложений относятся аллювиальные пески и галька с прослойками глины и супесей, слагающие II надпойменную аккумулятивную террасу высотой 10–14 м. Они распространены в среднем течении рек Улкан, Инях, Таганах и в низовьях р.Депделеках. Спорово-пыльцевые спектры из этих отложений характеризуются господством пыльцы кустарниковой ольхи, если (40–90%), пихты (до 32%), широколиственных пород (*Corylus*) и экзотических сосен. Среди спор преобладают (90%) споры сибирских мхов. Позднечетвертичный возраст (первая половина) определяется на основании сопоставления спорово-пыльцевого спектра со спектром аналогичной по высоте террасы р.Май, в отложениях которой обнаружены зузы *Mammutia primigenius* (Blum.) позднего типа, найденные Б.С.Неволином в 1965 г.

ВЕРХНЕЧЕТВЕРТИЧНЫЕ ЛЕДНИКОВЫЕ, ВОДНО-ЛЕДНИКОВЫЕ И АЛЛЮВИАЛЬНЫЕ ОТЛОЖЕНИЯ (Q_{IV})

Ледниковые отложения развиты в самых верховых долинах рек Инях, Качи, Торожан, Иркани, где они слагают конечные и боковые моренные валы горно-долинного оледенения. Они состоят из островерхих неоглатанных глыб местных пород, размером от 0,2 до 2–3 м в диаметре при почти полном отсутствии мелкозема. Мощность 20–40 м.

Ниже по течению этих же рек к моренным отложениям прямых флювиогляциальных, представленные песками, слабо окатанной галькой и валунами диаметром до 30–40 см. Мощность их достигает 100 м.

Аллювиальные образования слагают II надпойменную террасу высотой 7–9 м, которая пользуется широким развитием в долинах рек Алломы, Улканы, Нельбы; фрагменты ее сохранились и в долинах рек Эйканы и Камы и Бол.Кемкари. Они представлены песчано-валунно-галечным материалом, реже валунниками и песком (правобережье Улканы вблизи устья Таганаха). В верхней части разреза присутствуют прослои суглинка и супеси от 0,1 до 0,4 м. Спорово-пыльцевой спектр содержит пыльцу ольхи (5–99%), березы (10–58%), ели с максимумом спор кочельниковых папоротников и значительным количеством спор *Selaginella sibirica*, *Lycopodium arregense*. Эти данные, свидетельствующие о холодном климате, существовавшем в период формирования аллювиальных отложений II надпойменной террасы, позволяют синхронизовать их с ледниками и водно-ледниково-образованиями. Позднечетвертичный возраст (вторая половина) описываемых отложений определяется на основании следующих данных. В бассейне р.Дегдегеях II надпойменная терраса врезана в щ-террасу, отложения которой относятся к первой половине поздне-четвертичного времени. Кроме того, спорово-пыльцевой спектр аналогичен спорово-пыльцевому спектру аллювиальных отложений второй террасы р.Мам, где в 1965 г. Б.С.Неволином обнаружены костные остатки грызунов *Lemmus obensis*, *Lepus timidus* и др.

С о з р е м е н н ы е а л л у в и а л ь н ы е о т л о ж е н и я (QIV)

К современным отложениям отнесены аллювиальные отложения I надпойменной арозионно-аккумулятивной террасы высотой 5–7 м, которые широко распространены в долинах большинства рек. Они состоят из гальки, валунов и суглинка. Мощность колеблется от 4 до 5–6 м. К современным же отложениям относятся повсеместно развитые аллювиальные и делювиально-сомнажационные образования мощностью около 1–2 м, которые не показаны на геологической карте из-за их небольшой мощности.

Кроме того, современные отложения представлены аллювиальными, морскими и озерно-болотными образованиями. Аллювиальные образования слагают низкую и высокую поймы, а также русла всех рек и ручьев. Они сложены валунно-галечным материалом, реже песком, супесью и очень редко суглинком и глиной (низовье рек Улканы, Алломы). Мощность колеблется от 0,5 до 3,5 м. Ручьевой аллювий представлен более тучным материалом, в верховых водотоках размер валунов достигает 1,5 м. Песчано-галечные конусы встречаются лишь по крупным рекам (Улкан, Таганах, Эйкан, Аллома).

Морские отложения развиты узкой прерывистой полосой по берегу моря, слагая прибрежные аккумулятивные формы: плажи, валы, перекаты. Это в основном галечники, состоящие из хорошо окатанной аллювиальной гальки интрузивных и вулканических пород. Лишь на небольших участках (бухта Федорова) прослеживается песчаный плаж. Высшая мощность морских отложений колеблется от 0,5 до 5 м. Озерно-долотные отложения развиты вблизи оз.Антыкан. Они сложены супесью, глинами, с прослойками торфа, а также галькой различных размеров, хорошо окатанной аллювиальной формой, что свидетельствует об участии моря в формировании этих отложений. Высшая мощность 1–1,5 м.

ИНТРУЗИВНЫЕ ОБРАЗОВАНИЯ

Интрузивные породы района относятся к трем разновозрастным комплексам гранитоидного состава. Наиболее древними являются среднепротерозойские (?) щелочные граниты и граносиениты, имеющие ограниченное развитие. Основную же роль играют интрузии раннекамового возраста, разделенные на два комплекса – Улский и Джукурский.

СРЕДНЕПРОТЕРОЗОЙСКИЕ (?) ЩЕЛОЧНЫЕ ГРАНИТИ И ГРАНОСИЕНИТЫ (X_1 Pt₂?)

Щелочные граниты и граносиениты развиты в бассейнах рек Улкан, Каши, Улкан, где ими сложены различной величины остания и ксенолиты (от 0,4 до 20 км²) в мезозойских гранитоидах. Приуроченность их к узкой полосе северо-восточного простирания, протягивающейся от устья Улканы к устью Таганаха и уходит далее за пределы района в бассейны рек Алломы и Ула, позволяет предполагать, что внедрение их контролировалось разломом того же простирания, относящимся к системе Джукурского глубинного разлома. Основная роль в строении этих ксенолитов принадлежит биотитовым и роговообманково-биотитовым крупнозернистым, иногда порфировидным гранитам розового, розовато-серого и светло-серого цвета, часто интенсивно катаклизированным и окварцованным. В повышенном количестве среди щелочных гранитов отмечаются граносиениты. В щелочных гранитах и граносиенитах нередко встречаются маломощные прожилки (до 5–10 см) мелкозернистых микролитогематитовых гранитов, иногда содержащих тонкие иллюзии почти черного андаболита. Щелочные граниты состоят из камлевого полевого шпата (35–50%), кианита (10–15% Al) плагиоклаза (0–15%), кварца

(20–40%), биотита (5–10%), роговой обманки (до 5%). Шлоночный состав пород подчеркивается присутствием в них наряду с обычновенной роговой обманкой ($C:N_g = 20-21^{\circ}$) шлоночной ее разновидности, характеризующейся резким плеохроизмом от темно-сине-зеленого (почти черного) до светло-коричневого, небольшим углом погасания ($c:M_p = 4-7^{\circ}$), отрицательным удлинением. Многочистые акцессорные минералы представлены ортитом, сфером, цирконом, апатитом, циртолитом, монацитом, паризитом, лампрофиллитом, чеки-натитом и оранжитом.

Граносиениты отличаются от шлоночных гранитов меньшим количеством кварца (10–15%) и большим содержанием платиоклаза (30%). Чрезвычайно характерным для этой группы пород является проявление калиевого полевого альбита, образуя им также грубые веретенообразные перититы замещения, и в развитии его в виде тонкой каемки по краям зерен.

Породы подверглись интенсивному катаклизму, обусловившему развитие катакластических и порфирокатакластических структур. Кристаллы полевого шпата имеют неправильные очертания, края их раздроблены, зерна кварца гранулированы и часто волнисто гаснут. При интенсивном рассланцевании образуются миллиметровые очковые гнейсы, пользующиеся распространением в южной части Улайканского косенолита. Это плотные, светло-зеленые, иногда с розовым оттенком породы, состоящие из тонколистерного гранита и мелких (0,3–0,5 см) розовых порфиробласт полевого шпата. В гранитоидах спектральным анализом обнаружены медь, свинец, хром, никель, кобальт, ванадий, олово, цирконий, галий (от 0,001 до 0,003%), стронций, барий (0,01–0,02%), марганец, титан (0,1–0,3%), что не превышает кратковременных содержаний этих элементов в гранитоидах (по А.П.Виноградову). С гранитоидами (аналогичными описанным выше) за пределами района (лист 0-53-ХХХ, Гамалея, 1964) связана тантало-ниобиевая и литий-бериллиевая минерализация.

Шлоночные граниты и граносиениты прорываются раннегеновыми гранитоидами улуского и джулькусского комплексов. По своим петрографическим особенностям (груболеритовый, замещаемый "шахматным" альбитом) калиевый полевой шпат, субделюциальная роговая обманка, большое количество редкоземельных акцессорных минералов) они сопоставляются со шлоночными гранитами и граносиенитами бассейна р.Биликчан (лист 0-53-ХХХ) и р.Улкан (лист 0-53-ХХХ). Там они, имея абсолютный возраст 1900–1960 млн. лет (по свинцу), прорывают эпизитскую свиту нижней части среднего протерозоя, а галька их находится в континератах энинской свиты верхнего протерозоя

(Памалея, 1964). На основании этого возраста описываемых интрузий условно устанавливаются как среднепротерозойский.

РАННЕМЕЛОВЫЕ ИНТРУЗИВНЫЕ КОМПЛЕКСЫ

В районе выделяется два близких по составу раннемеловых интрузивных комплекса – Улуский и Джулькусский. Расположение раннемеловых гранитоидов на комплексах произведено на основании критерiev, выработанных в результате геологотектонических и редакционных работ на сопредельных с юго-запада (лист 0-53-ХХХ, Гольденберг, 1959Ф, 1963Ф, листы №53-Ш, Г.П., Тархова, 1963Ф) и севера (лист 0-54-Ш, Каптулин, 1961Ф) территориях, где выделение этих комплексов основано их взаимоотношениями с нижнемеловыми отложениями. К таким критериям относятся особенности внешнего облика, петрографического и петрохимического состава пород, выдержаные на значительных расстояниях.

В легенде серии классификации интрузивных породдается по петрографическому признаку, они располагаются в пределах комплексов снизу вверх от основных к кислым. В записке описание ведется согласно общепринятому порядку. Сначала описываются породы первой фазы внедрения, затем второй. В фазах, представленных широкой гаммой пород, по мере возможности, выделяются характеризующие породы главной фации, далее эндоконтактовой. Затем описываются малые интрузии. На геологической карте границы между фазами внутри интрузивных комплексов показываются сплошными линиями, между фациями – точечными.

УДСКИЙ КОМПЛЕКС

Гранитоиды улуского комплекса слагают три крупных массива – Прибрежный (побережье Охотского моря к югу от р.Алчона до устья р.Улкан), Альдомский (левобережье р.Альдомы) и Качинский (бассейн рек Качи, Оны, Лепешенки и верховья Эйдана). Эти массивы, по-видимому, на глубине соединяются между собой. В бассейне р.Альдомы они выходят за пределы района и таким образом слагают северо-восточную часть громадного массива, вытянутого в северо-восточном направлении в соответствии с простиранием основных структур района. Однако с вмещающими их породами они имеют рывущие круговые, сладко извилистые в плане контакты. Основная роль в строении массивов принадлежит крупнозернистым биотит-роговообманковым тоннеликам, слагающим центральные их части, и кварцевым диоритам, ши-

роко развитым во внешней зоне эндоконтакта. Во внутренней зоне эндоконтакта доминируют диориты. В зоне эндоконтакта наблюдаются также шировые обособления роговообмениковых габро и глубоко переработанные округлые, реже угловатые ксенолиты вмещающих пород, сложенные микродиоритами и диорит-порфиритами. Массивы, слагающие городами Ульского комплекса, характеризуются спокойным положительным магнитным полем; величина аномалий магнитного поля не превышает 300–500 гамм (рис. I).

Тоналиты, гранодиориты (δ_{Sc_1})

Тоналиты слагают большие участки в Прибрежном и Качинском массивах. Они, как правило, имеют очень постоянный состав и характеризуются однобразием текстурных и структурных признаков. Отсутствие в тоналитах переработанных ксенолитов вмещающих пород, наряду с названными выше их свойствами, позволяет предполагать, что, видимо, они являются наименее гидризированными разностями среди пород Ульского комплекса и относятся к его плавной фации. Это светло-серые, почти белые лейкократовые породы, средне- и крупнозернистые, слегка гнейсовидные. Структура их – глиптоморфозернистая. Основные породообразующие минералы в них представлены олигоклазом, олигоклаз-андезином (60–65%), кварцем (25–30%), биотитом (5–7%), роговой обманкой (0,5%). Химический состав тоналитов иллюстрируется в табл. 2, анализы Э–6.

Гранодиориты развиты только на водоразделе рек Таганах и Эйкан (Качинский массив). Они отличаются от тоналитов только присутствием решетчатого микропина (10–15%) и выполненного интеграторами корродированного пластика. Тоналиты и гранодиориты связаны постепенными переходами между собой.

Диориты (δ_{Sc_1}), кварцевые диориты (δ_{qSc_1})

Диориты и кварцевые диориты, как правило, слагают краевые части крупных массивов (Прибрежный, Качинский) и самостоятельные более мелкие тела (Алдомский). Они связаны постепенными переходами с тоналитами и относятся к гибридной эндоконтактовой фации Ульского комплекса. Об этом свидетельствуют преимущественная их приуроченность к зонам эндоконтактов массивов, постоянное присутствие крупных ксенолитов микродиоритов и диорит-порфириотов, а также более разнообразные, чем в тоналитах, структуры. Наряду с преобладающими крупнозернистыми, довольно часто встречаются

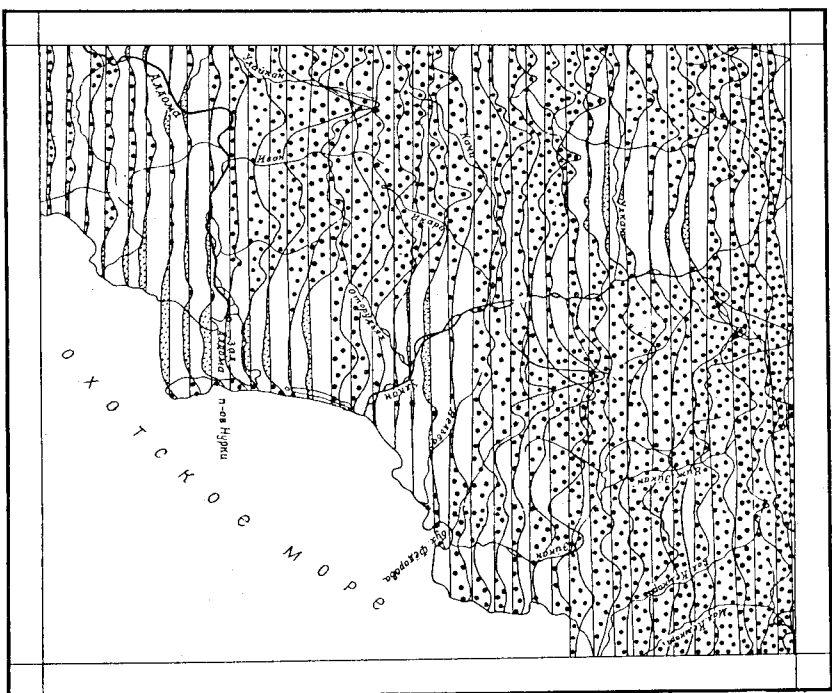


Рис. I. Схематическая карта гравиграфиков Δ_{Ta} .
Значения Δ_{Ta} : 1 – положительные; 2 – отрицательные

мелко- и среднезернистые породы. В непосредственной близости от

контакта диориты становятся более меланократовыми, однако структура их не изменяется. Среди диоритов преобладают гнейсовидные разности. Диориты и кварцевые диориты состоят из среднего (№ 35-40) палюоказа - 60-70%, кварца до 15-20% в кварцевых диоритах, роговой обманки - 15% и биотита - 2-5%. Химический состав диоритов и кварцевых диоритов приведен в табл. 2, анализы I-2.

Таборо, габбро-диориты (vCr_1)

Роговообманковые габбро и габбро-диориты слагают небольшие участки площадью до 4 км² в бассейнах рек Качи, Улайкан, Дегдегатых и др. Они связаны постепенным переходами с диоритами, образуя в них широкие обособления. Это темно-зеленные породы крупно-среднезернистой структуры, часто обладающие такситовой и гнейсовидной текстурой. Основными пордообразующими минералами являются палюоказ (андезин-лабрадор - в габбро-диоритах, лабрадор - в габбро) - 80-70% и роговая обманка, образующая крупные обитовые и пойкилитовые зерна - 15-30%. Аксессорные минералы представлены апатитом, сфеном, рутилем - титаномагнетитом и магнетитом.

В бассейне р. Илан в роговообманковых габбро наблюдаются небольшие обособления темно-зеленых, гигантозернистых (5-7 см) горноленитов.

Для всех описанных выше пород ульского комплекса, сформированных в одну фазу, характерным является серый или серовато-белый цвет, преобладающая куплонзернистая структура и гнейсовидная текстура, некоторый избыток кварца, почти полное отсутствие пироксена и калиевого полевого шпата. Последний появляется в породах вблизи кварц-полевошпатовых жил, связанных с заключительной стадией формирования комплекса, представлен он слежим решетчатым микроклином и имеет метасоматическое происхождение. Породообразующие минералы характеризуются следующими типоморфными признаками: палюоказ незонален (как исключение, слабо зонален), кварц - трансформирован и обладает волнистым погасанием, образует окружные зерна, роговая обманка имеет прозраческий габбитус, ярко-зеленую окраску и резкий плеохромизм в голубовато-зеленых тонах (2γ = 80°, c:Ng = 15-17°).

Среди акцессорных минералов, представленных во всех породах (кроме габбро) орбитом, монацитом, апатитом, сфеном, рутилем: преобладает последний. Единство петрохимических свойств пород

Химический состав пород ульского комплекса

Окислы	I	2	3	4	5	6
SiO_2	57,04	59,30	62,82	62,36	63,02	64,42
Al_2O_3	20,21	17,43	18,98	16,76	18,57	16,82
Fe_2O_3	2,50	2,37	2,01	1,78	1,57	1,69
MnO	3,50	3,65	1,79	3,43	3,12	3,40
TiO_2	0,78	0,36	0,58	0,60	0,28	0,28
CaO	0,09	0,16	0,08	0,18	0,09	0,14
P_2O_5	0,21	0,38	0,47	0,54	0,15	0,22
MgO	6,90	6,45	4,30	5,75	4,98	5,50
K_2O	2,97	3,40	1,48	2,41	2,12	2,29
Na_2O	0,96	1,96	1,77	2,43	0,80	1,86
SO_3	4,28	3,31	5,28	2,40	3,60	3,22
П.п.п.	0,03	0,05	0,04	0,04	0,02	0,02
Сумма	100,35	99,52	99,92	99,62	99,67	100,35
H_2O	0,22	0,25	0,23	0,15	0,39	0,18

Числовые характеристики по А.Н. Заварыкову

a	II,52	10,40	14,49	9,15	9,10	10,10
c	8,26	6,92	5,40	7,25	6,20	6,64
b	10,93	12,86	6,90	9,36	II,00	9,90
s	69,47	70,10	72,93	74,16	73,60	73,96
a'	-	-	II,30	-	35,00	-
f	55,45	44,50	51,00	53,70	57,20	54,20
m	39,00	46,10	36,70	45,00	33,80	42,70
c	6,08	9,30	-	I,50	-	3,10
p	86,70	72,10	82,10	60,40	86,10	72,70
q	21,62	15,90	24,50	16,60	13,80	16,80
t	I,05	0,40	0,66	0,76	0,47	0,38
Q	7,10	12,20	26,50	23,90	23,90	20,44
a:c	1,40	1,50	2,70	I,20	I,50	I,50

Примечание. I - обр. I22 - диорит, р. Олня; 2 - обр. II7 - кварцевый диорит, р. Татанах; 3-6 - тоннит (3 - обр. I529, р. Эмкан, 4 - обр. I530, р. Эйкан, 5 - обр. 2110, р. Икар, 6 - обр. I, р. Нурки).

Таблица 2

комплекса выражается в незначительности колебаний основных числовых характеристик (n , q , $a:c$), пересыщенности кремнеземом ($Q = 26-7$) и недостаточности калием ($n = 70-80$), в преобладании железа в фермических минералах над магнием по сравнению с гранитами более молодого джутджурского комплекса.

Спектрометрическим анализом валовых проб (Геохимический трест) установлено, что содержание рубидия в диоритах и тоналитах не отличается друг от друга и колеблется от 0,006 до 0,007%, составляя в большинстве случаев 0,006%. Отношение калия к рубидию колеблется между 300-400; среднее отношение для пород Качинского и Прибрежного массива соответственно равно 405 и 308. Такое значительное расхождение отношения калия к рубидию для массивов, слагаемых одинаковыми породами, по-видимому, объясняется большой кальцинизацией пород Прибрежного массива, нарушающей соотношение этих элементов, возникшее в процессе развития математического очага.

Содержание элементов-примесей в диоритах и тоналитах не превышает кратковременных: титан - 0,1-0,3%, никель, барий, стронций - 0,01-0,03%, марганец - 0,06%, галий, медь - 0,001-0,003%, свинец, кобальт, молибден, цинк - не более 0,001%.

Экзоконтактовые изменения протягены очень широко, но их не всюду можно снять именно с этим комплексом, особенно в зоне развития эфузионно-туфогенных пород, как правило, составляет 1-2 км, контакто-измененных пород, как правило, составляет до 200-300 м, небольшие же ксенолиты ороговикованные целиком. В непосредственной близости от контакта по терренным породам алданской свиты образуются кварц-биотитовые и кварц-эпидот-актинолитовые роговики, сохраняющие первичную полосчатость; по существенно карбонатным породам возникают диагенит-гранатовые и волластонитовые скarnы. В некотором удалении от контакта преобладают кварц-эпидотовые роговики, этикотизированные породы, мраморы с трехполитом и волластонитом. Гуры и туфогенно-садочные породы джелонской свиты в большинстве случаев превращаются в кварц-биотитовые, кварц-кордиеритовые роговики, реже в андалузит-силлиманитовые сланцы. На выветрелой поверхности хорошо видна первичная полосчатость или обломочная текстура пород. Вблизи контакта во вмещающих породах нередко наблюдается мелкая вкрашенность пирита.

Мелкозернистые аplitогенные граниты (ГСГ-1)

Мелкозернистые аplitогенные граниты образуют маломощные жилья (0,2-1 м) и шток (до 1 км²) внутри массивов ульского комплекса. Контакты мелкозернистых аplitогенных гранитов с вымпалившими породами четкие, резкие; экзоконтактовые изменения выражаются в появлении во вмещающих породах (диоритах и тоналитах) мелких (0,01 мм) и крупных (до 0,7 мм) зерен спеккето решетчатого микроклина. Граниты состоят из олигоклаза (30%), решетчатого микроклина (35-40%), кварца (25-30%), биотита (0-2%). Структура-амфиболовая и аплитовая.

Как видно из вышеизложенного, формирование интрузий ульского комплекса происходило в одну фазу и сопровождалось дайками аplitогенных гранитов. С ульским комплексом за пределами района связана молибденовая, вольфрамовая (скarnы) и полиметаллическая (гидротермальная) минерализация (лист 0-53-ХХХII, Тольденберг и др., 1963).

Перечисленные выше черты интрузий ульского комплекса (типоморфные особенности минералов, наличие гнейсовидных текстур, почти полное отсутствие порфировидных структур, преобладание даек аplitогенных гранитов) свидетельствуют о том, что формирование комплекса происходит в условиях сравнительно больших гидродинамик.

На территории района породы ульского комплекса прорывают образование джелонской свиты и нельбинской толщи позднегорского-раннемелового возраста. В 30 км к юго-западу в бассейне р. Таймень, куда почти непрерывно простягиваются Алданский и Прибрежный массивы, кварцевые диориты и диориты ульского комплекса перекрываются конгломератами мериконской свиты раннемелового (неокомского) возраста и содержатся в гальке этих конгломератов (Тольденберг, 1963). Таким образом, устанавливается раннемеловой (раннегеокомский) возраст комплекса. Абсолютный возраст тоналитов и диоритов Прибрежного массива, определенный калий-аргоновым методом, колеблется от 230-270 млн. лет (СВ КИИ № 1, Л.В.Фирсов) до 370 млн. лет (объединение "Аэротектология", В.М.Комарова), что представляется заниженным и расходится с указанными выше фактами. Возраст тоналитов Качинского массива по двум определениям калий-аргоновым методом составляет 122 млн. лет (объединение "Аэротектология", В.М.Комарова) и вполне согласуется с геологическими данными.

Д ж у г д ж у р с к и й к о м п л е к с

Породы джутджурского комплекса занимают всю северную и восточную часть района. Становление его происходило в две фазы и сопровождалось разнообразными дайками. Интрузии первой фазы, сложенные габброидами, имеют ограниченное развитие. Интрузии второй (основной) фазы, представленные широкой гаммой пород от гранитов до габбро при преобладании диоритов, гранодиоритов и альмандинтов, слагают крупный Уланский массив.

Первая фаза

Габро, троктолиты, габро-диориты (УСГ?)

Г а б р о и г а б р о - д и о р и т ы слагают не-
большие штоки и вытянутые вдоль субширотных разломов более круп-
ные тела в бассейнах рек Оторуцкая, Иркана, Качи и Эрканья. Кро-
ме того, они сохранились в виде ксенолитов на левобережье р.Улан
(против устья р.Инж), в верховьях Намти и Улайкан. Эти породы
прорывают туфы джелонской, немыканской свит и нельинской тол-
щи, диориты улакского комплекса и, в свою очередь, прорываются гра-
нитами и гранодиоритами второй фазы джутджурского комплекса (ре-
ки Качи, Намти, Улайкан). Массивы габбродиоритов характеризуются по-
вышенной (2000 гамм) магнитной восприимчивостью, достигающей гра-
нитами 3000-5000 гамм (реки Улайкан, Намти). В строении централь-
ных частей массивов (реки Качи, Улайкан, Намти) основную роль
играют крупно-среднеэзеристые габро и габро-диориты, для ко-
торых характерна тактиловая, часто полосчатая текстура. Полосча-
тость обусловлена чередованием (0,1-1,5 м) меланократовых и лей-
кократовых разностей габро. Краевые части некоторых небольших
тел (р.Нагат) сложены плотными мелкоэзеристыми габро и габро-
порфиритами, реже мелкоэзеристыми габро-диоритами, диоритами
(реки Оторуцкая, Намти). Габро состоит из плагиоклаза (70-60%),
пироксена (30-40%), рутильного минерала. Плагиоклаз представлен
лабрадором, пироксен — гиперстеном (10-15%) и авантитом (20-40%),
по краям, иногда целиком замещенными актинолитом, гризно-зеленой
роговой обманкой, биотитом и хлоритом. Структура пород габбровая,
габро-оббитовая. Рудные минералы представлены магнетитом и тита-
номагнетитом, составляющими иногда 20% (р.Улайкан). В этих слу-
чаях рудный минерал как бы цементирует зерна плагиоклаза, обус-
ловливая сидеронитовую структуру. Габро-диориты отличаются от

описанных выше габро присутствием (до 5%) ксеноморфного кварца
и кальевого полевого шпата, обуславливающего участки монционто-
вой структуры, более кислого плагиоклаза (50-55%) и роговой обман-
ки (10-15%). Аксессорные минералы представлены апатитом, сフェном.
Химический состав пород приводится в табл. 3 (анализы I-3).

Эзоконтактовые изменения, связанные с габбродиоритами, зату-
шевшими kontaktовым воздействием гранитолов второй фазы
джутджурского комплекса. С габбродиоритами связана титаномагнетито-
вая минерализация.

Не отличимые по составу от габбродиоритов первой фазы мелко-
зернистые массивные габро и габро-диориты встречаются в эндо-
контактовой зоне второй фазы джутджурского комплекса. С диори-
тами последней они связаны постепенными переходами.

Т р о к т о л и т ы, слагающие небольшое тело в среднем
течении р.Мужочик, в первой фазе отнесены условно. С эфузива-
ми джелонской свиты они граничат по разлому. Взаимоотношения
троктолитов с гранитами второй фазы джутджурского комплекса
не ясны. Основанием для включения их в первую фазу послужили
даные Е.К.Устилева (1959) о том, что оливиновые габро и трок-
толиты отмечаются иногда, наряду с обычными габбродиоритами, в свя-
зи с гранитами "охотского" типа, являющимися возрастным ана-
логом пород джутджурского комплекса. Троктолиты представляют со-
бой меланократовые (цветных минералов 50-80%) темные породы. На
фоне сравнительно мелкоэзеристой существенно оливиновой массы
видны крупные (до 0,8-1 см) светло-серые выделения полупрозрач-
ного плагиоклаза (№ 65). Очень часто плагиоклаз образует округ-
лые выделения, в центре которых также находится оливин. Плагио-
клиз снежий, оливин разбит густой сетью беспорядочных трещин, по
которым развивается серпентин и магнетит. Кроме того, в породе
присутствует ромбический пироксен (ряд бронзита-шипстена) в
количестве до 10%, заполняющий промежутки между зернами оливи-
на, и титанистая роговая обманка типа керсунита (шипстенит). Пироксен
коричневых тонов — от красновато-коричневого по №_g до светлого,
слабо-буроватого по №_g ($c:N_g = 4-6^{\circ}$). Структура пород гипидио-
морфозеристая до габбровой. Текстура пород массивная, либо
трактиоидная, отдельность — шаровая. Полосчатость обусловлена
переворотами светлых, существенно плагиоклазовых и темных,
существенно оливиновых полос, шириной от 1-2 см до 0,5 м. Неред-
ко наблюдаются матматические брекчи, в которых присутствуют мно-
гочисленные сравнительно лейкократовые округлые обломки размера
до 20 см, спланированные гораздо более меланократовым, поч-
ти чисто оливиновым материалом. Итога среди троктолитов отмеча-

Таблица 3

Химический состав

пород Джунашурского комплекса

Окислы	I	II	III	IV	V	VI	Химический состав						
							7	8	9	10	II	12	13
SiO ₂	43,28	45,84	46,04	50,22	57,02	57,32	57,36	57,76	64,56	65,98	66,74	67,78	67,86
Al ₂ O ₃	15,00	23,68	19,57	18,83	17,78	18,08	18,02	17,35	16,49	16,68	16,08	16,17	15,54
Fe ₂ O ₃	6,47	2,34	4,80	2,95	2,39	3,03	1,85	1,25	1,66	1,32	1,12	0,87	0,88
FeO	6,25	3,65	6,64	5,29	4,52	4,90	4,38	4,92	2,45	3,00	2,61	2,70	2,99
TiO ₂	0,58	0,18	0,36	0,40	0,90	0,30	0,48	0,42	0,34	0,24	0,30	0,34	0,56
MnO	0,23	0,16	0,14	0,20	0,16	0,16	0,11	0,13	0,12	0,11	0,15	0,15	0,09
P ₂ O ₅	0,07	0,29	0,25	0,56	0,40	0,21	0,21	0,22	0,21	0,18	0,30	0,30	0,08
CaO	10,42	II,05	II,35	8,05	7,55	6,80	6,19	6,27	3,25	4,25	3,55	2,20	3,70
MgO	12,40	6,53	6,68	6,84	3,48	3,26	3,01	2,56	1,77	2,21	1,92	1,37	1,75
K ₂ O	0,22	1,36	0,62	2,54	1,54	2,25	2,35	2,25	4,00	4,21	3,76	3,08	3,26
Na ₂ O	1,00	1,71	2,69	2,58	3,00	3,52	4,00	4,25	4,19	3,09	3,78	4,85	3,59
SO ₃	0,02	0,01	Невзв.	Сл.	0,07	Сл.	0,02	0,05	Сл.	Сл.	Сл.	0,02	0,03
П.п.п.	5,09	3,16	To же	1,94	0,62	0,16	2,20	2,88	0,42	0,49	0,42	0,88	0,47
Сумма	101,03	99,96	99-101	100,09	99,59	100,18	100,18	100,27	99,47	100,38	99,81	99,67	100,63
a:c	0,27	0,44	0,7	1,18	1,1	I,62	2,0	2,3	3,2	3,1	3,54	5,77	3,1

Числовые характеристики

по А.Н. Заваренику

a	2,5	4,8	7,2	9,7	9,2	II,2	12,74	13,0	II,6	12,98	13,8	15,0	12,44	12,7
c	9,0	10,9	10,8	8,2	7,9	6,9	6,19	5,53	3,6	4,18	3,9	2,6	4,05	4,0
b	37,5	40,4	27,4	22,3	17,8	14,8	12,88	12,83	14,7	7,14	7,1	7,0	6,86	6,1
s	51,3	43,9	55,4	59,8	68,37	67,1	68,4	68,5	70,1	75,7	75,2	75,4	76,66	76,9
a'	-	-	-	-	-	-	-	-	28,1	2,8	-	34,6	-	-
r'	32,1	75,9	43,6	36,7	46,4	51,0	46,4	55,6	55,8	49,0	50,0	51,4	53,3	
m'	57,3	23,0	40,3	54,3	41,8	38,2	40,8	34,8	16,3	44,2	45,2	32,7	42,5	45,5
c'	10,4	I,0	15,9	9,0	II,9	10,8	12,7	18,2	-	5,8	-	5,9	I,1	
n	88,8	64,2	87,00	60,3	74,4	70,0	73,3	74,4	70,8	59,7	60,4	70,3	62,5	60,6
q	15,1	4,0	15,1	I,2	I,4,6	I,7,9	12,7	8,2	2,5	26,9	13,5	11,5	10,8	19,0
t	0,9	0,4	0,5	0,6	I,2	0,4	0,5	0,5	1,2	0,3	0,3	0,4	0,60	0,4
q	12,0	32,7	15,2	8,0	7,17	8,9	5,0	5,5	13,4	21,26	18,9	18,2	24,38	21,7
a:c	0,27	0,44	0,7	1,18	1,1	I,62	2,0	2,3	3,2	3,1	3,54	5,77	3,1	3,2

П р и м е ч а н и е: I-3 - габро (I - обр. 2250/1, р. Качи; 2 - обр. 236/2, р. Эжан); II - обр. 1357/1, р. Инхах; III - обр. 100/3, р. Омчи; IV - обр. 205/6, р. Нычак); II - обр. 245, аданеллит; II - обр. 155/1, платигранит, р. Ганзах; III-15 - аданел

г. Намчи, обр. 2175/1, р. Качи); IV - шорит (4 - обр. 275/4, р. Улан; 5 - обр. II-23, 5 - обр. 144, кварцевый диорит, р. Гаганах; 10 - обр. 1346/2, гранитоид, р. Инхах; 10 - обр. 135 - обр. 202, р. Эжан; 14 - обр. 2178/1, р. Качи; 15 - обр. 202/1, р. Гаганах);

Продолжение табл. 3

Окислы	Продолжение табл. 3				
	15	16	17	18	19
SiO ₂	68,22	72,24	73,18	74,92	75,34
Al ₂ O ₃	15,86	14,78	14,19	13,72	13,30
Fe ₂ O ₃	0,68	0,59	0,48	0,21	0,34
FeO	2,45	1,34	1,08	1,50	1,03
TiO ₂	0,20	Сл.	0,15	Сл.	Сл.
MnO	0,10	0,07	0,02	0,12	0,06
P ₂ O ₅	0,17	0,11	0,06	0,07	0,03
CaO	3,45	2,10	1,11	1,20	1,20
MgO	1,41	0,78	0,59	0,54	0,34
K ₂ O	3,56	4,26	5,00	3,66	4,60
Nb ₂ O	3,99	3,55	3,00	3,96	3,69
SiO ₃	Сл.	Сл.	Сл.	Сл.	Сл.
П.п.п.	0,28	0,41	0,69	0,21	0,26
Сумма	100,37	100,23	99,55	100,19	100,19
a:c	0,17	0,14	0,15	0,18	0,11

Числовые характеристики по А.Н. Заварзикову

ются секущие прожилки очень темных меланократовых мелкоэзернистых габбро и светлых мелкоэзернистых лабрадоритов. Изредка встречаются, видимо, крупные ширины крупноэзернистых до гигантозернистых лейкократовых троктолитов.

Вторая фаза

Породы второй фазы луканского комплекса слагают Улканский массив площадью около 1600 км², уходящий за пределы территории. Он является частью крупного межформационного тела (горнолита, по Н.А. Блисееву). В плане массив имеет неправильную сложную конфигурацию с многочисленными апофизами. Падение площади его контакта довольно изменчиво, но, как правило, пологое в сторону вмещающих пород. Даже крутие волнистости поверхности контакты в большинстве случаев быстро выполняются с плюсовой, чем свидетельствует постепенный спад напряженности магнитного поля при переходе от интрузивных пород к вмещающим. Крутой контакт наблюдается только в бассейнах нижнего течения рек Эйкан и Муклончик. По отношению к элементам залегания вмещающих пород массив является дискордантным. В Улканском массиве (от верховьев Мал. Малгана до верховья р. Намчи и от Эйканы до верховьев Мал. Кемчары) наблюдаются две зоны провеса кровли, фиксирующиеся широким развитием здесь пород андоконтактовой фации и наличием ксенонитовых кулакогенных пород. Они протягиваются почти параллельно друг другу в северо-восточном направлении, согласно простирации массива в целом и простирации основных структурных элементов района. Провесы кровли имеют форму узких асимметричных желобов и отвечают междуупольным пространствам массива.

Улканский массив характеризуется высокой напряженностью магнитного поля, достигающей 1300–1400 гамм, при преобладании значений 800–900 гамм.

Сравнительно неглубокий эрозионный срез Улканского массива обусловил большое разнообразие слагающих его пород. Основная роль в его строении принадлежит крупно- и среднезернистым грандиоритам, иногда порфировидным и тесно связанным с ними адуамелиитам и гранитам, которые слагают центральные его части. В зоне эндоконтакта с эфузивами среднего состава в южной части Улканского массива не менее широким развитием пользуются диориты, иногда переходящие в сиенит-диориты, плагиорит-монцониты и габбро-диориты. В северной части Улканского массива на контакте с трахириолитами малейской свиты преимущественно распространены мелко-

16 – обр. 273/1, гранит, р. Улкан; 17 – обр. 2142/5, субшелочная гранит жильный, р. Качи; 18 – обр. 199, гранит, р. Таганах; 19 – обр. 264: субшелочная гранит, р. Улкан.

зернистые, иногда порфировидные адамеллиты, граниты, реже гранодиориты.

Аляскитовые и биотитовые граниты, адамеллиты ($\text{I}_{\text{Cr}_1?}$) Мелкозернистые, порфировидные адамеллиты, граниты, гранодиориты, адамеллит-порфирры, гранит-порфирры ($\text{I}_{\text{P-Cr}_1?}$)

Аляскитовые и биотитовые граниты и адамеллиты относятся к главной фации джетлджурского комплекса. Они слагают несколько крупных участков в Улканском массиве, каждый из которых имеет своеобразные черты строения.

В бассейнах рек Эйкан и Качи на левобережье р.Таганах основную роль играют биотитовые лейкократовые крупнозернистые, иногда слабо порфировидные, очень однообразные адамеллиты, некоторые постепенно переходят в гранодиориты. В междуречье Таганаха и Намчи преимущественным развитием пользуются крупнозернистые граниты, среди которых изредка появляются аляскитовые граниты. На левобережье Улкана, против устья р.Онхи, наряду с пре-

обладающими биотитовыми крупнозернистыми гранитами появляется значительное количество аляскитовых гранитов. Иногда среди последних встречаются мелкозернистые разности, которые по своему внешнему облику очень близки к позднемеловым гранитам верховьев р.Алломы (лист 0-53-XXX). Однако между биотитовыми и аляскитовыми гранитами, адамеллитами и гранодиоритами здесь отмечаются постепенные переходы.

Граниты и адамеллиты описанных выше участков представляют собой беловато-розовые равномернозернистые породы; интенсивность розовой окраски зависит от количества калиевого полевого шпата. Они состоят из плагиоклаза (30–40%) от № 15–20 в трахитах до № 28–30 – в адамеллитах, калиевого полевого шпата (30–40%), серого или дымчатого кварца (20–25%), редких листочек биотита (0–5%) и акцессорных минералов.

Несколько иной облик имеют адамеллиты, слагающие в бассейне рек Бол. и Мал.Кемкары довольно большой изометричный участок. Это – крупнозернистые, очень однообразные породы, массивные, лейкократовые, с чрезвычайно характерными крупными (до 1 см), более поздними, чем основная масса, кристаллами серого кварца, который включает в себя агрегаты темноцветных минералов вместе с рутином, а также сростки калиевого полевого шпата, плагиоклаза, кварца. С окружающими их гранодиоритами и диоритами адамеллиты имеют постепенные переходы.

Химический состав гранитов и адамеллитов иллюстрируется в табл.3 (анализы II-19):

В апикальных частях Улканского массива, в междуречье Таганаха и Улкана, Таганаха и Намчи, где имеющиеся породы представлены трахиритами и туфами матейской свиты, широким развитием пользуются мелкозернистые порфировидные граниты, адамеллиты, реже гранодиориты и их порфировые разности. Они тесно перемежаются между собой и являются типабиссальной эндоконтактовой фацией гранитов и адамеллитов, несколько гибридизированной, о чем свидетельствует непостоянство их структуры и состава, а также наличие в различной степени переработанных мелких ксенонитов вмешанных пород. В то же время в бассейне Мал.Кемкары адамеллиты на границе с вмешивающимися туфами джетлонской свиты не претерпевают эндоконтактовых изменений.

Гранодиориты ($\text{I}_{\text{G-Cr}_1?}$), гранодиорит-порфирры ($\text{I}_{\text{P-Cr}_1?}$)

Гранодиориты пользуются широким распространением. Они слагают наиболее глубоко эродированные части Улканского массива, где представлены крупно- среднезернистыми разностями (бассейны рек Эйкан, Качи, Таганах), и апикальные его части, где, в основном, развиты мелкозернистые порфировые (реки Онхи, Нигай, верховья Уникера) и порфировидные разности (бассейны Уникера, верховья Бол.Кемкары). Гранодиориты связаны постепенными переходами с диоритами и адамеллитами. Последние часто встречаются в поле развития гранодиоритов в междуречье Улкана и Таганаха. Почти повсеместно в гранодиоритах наблюдаются мелкие, округлые, четкие очертания ксенолитов микродиоритов и диоритовых порфиритов. Состав они из белого плагиоклаза № 30–37 (30–40% породы), розового калиевого полевого шпата (25–30%), серого кварца (25%), итольчатых кристаллов роговой обманки (5–7 до 15%), тальчик обитого (до 10–12%). В неравномерно-зернистых порфировидных и порфировых разновидностях крупные выделения обычно представлены плагиоклазом, образующим идиоморфные таблитчатые кристаллы с несколько кородиоританными краями размером от 1 до 3–4 мм. Структура промежуточной массы гипидоморфнозернистая. В порфировых разностях основная масса раскрытализована сравнительно плохо и обладает микротаблитовой, либо микротаблитоморфнозернистой структурой. По химическому составу гранодиориты не находят себе полных аналогов в таблице средних составов горных пород по Р.Дэли, что свидетельствует об их гибридном происхождении (см. табл.3, анализ 12).

Диориты (δ_{Cr_1}), кварцевые диориты (δ_{qCr_1})
диоритовые порфириты ($\delta_{\mu\text{Cr}_1}$)

Диориты и кварцевые диориты спаяют большие площади Улканского массива в бассейнах рек Качи, Инжак, Эйкан, Бол. и Мал. Кемкары. Кроме того, они образуют отдельные мелкие массивы, являющиеся сателлитами Улканского массива, среди эфузивов джелничской свиты (реки Отторуцых, Нельба). Диориты и кварцевые диориты связаны постепенными переходами с габбро, габро-диоритами и трансдиоритами. Как правило, диориты и кварцевые диориты характеризуются среднезернистой, реже крупнозернистой структурой и массивной текстурой. В виде исключения среди них встречаются гнейсовидные разности, обусловленные последующим рассланцеванием пород в зоне разлома (верховье р.Бол.Кемкара). В аникальных частях интрузии и в сателлитах (правобережье Намчи, левобережье Улканы против устья Инжака) широкое распространение приобретают мелкозернистые, нередко порфировидные диориты и кварцевые диориты, а также диоритовые порфириты. Они представляют собой мелкозернистые породы со светло-серым плагиоклазом и очень характерным итольчатыми кристаллами темно-зеленой роговой обманки. Размеры кристаллов роговой обманки очень нестабильны и интендируют, а досчитают 6–7 мм в длину. Порфировое и порфировидное строение обусловлено наличием более крупных (0,5–0,6 мм) кристаллов серого тиоксаза (около 80% от общего количества кристаллов), реже облыгита и роговой обманки. Все разности состоят из среднего плагиоклаза ($\# 40$ – кварцевые диориты, $\# 47-50$ – диориты), присутствующего в количестве около 60%; роговой обманки (5–10%), пироксена (0–10%), представленного авгитом и замещенного роговой обманкой и олиготом; облыгита (5%) кварца – от 1–2% (в диоритах) до 15% (в кварцевых диоритах); калиевого полевого шпата, отмечавшегося почти во всех разностях в количестве от 5 до 7%. Структура пород анатоморфозернистая, с участками монилитовой. В диоритах чаще чем в других породах джелчурского комплекса встречаются окрученые и уловватые ксенолиты размером до 0,7–0,8 м в попечнике, как с резкими, так и расплывчатыми границами. Преимущественная приуроченность диоритов к зонам андоконтакта Улканского массива с андезитами и их туфами джелчурской и немуй-канской свит, присутствие пироксена, калиевого полевого шпата, наличие монилитовой структуры указывает на гибридное происхождение диоритов и позволяет относить их к эндоконтактовой фации.

Химический состав диоритов и кварцевых диоритов иллюстрируется в табл. 3 (аналзы 4–9).

Роговообманковые сиенит-диориты (ϵ_{SiCr_1}), кварцевые сиенит-диориты (δ_{qSiCr_1}), кварцевые диориты-монцониты (δ_{qSiCr_1})

Роговообманковые сиенит-диориты, кварцевые сиенит-диориты, кварцевые диорит-монцониты имеют ограниченное распространение и развиты в основном в зоне эндоконтакта Улканского массива, в бассейне р.Таганах, выше устья р.Намчи, а также на левобережье Инжака, Улканы и Мал.Кемкары. По содержанию калиевого полевого шпата они приближаются к гранодиориту, содержание же кварца в кварцевых сиенит-диоритах не превышает 10–15%. Породы имеют весьма характерный внешний облик. Это розово-серые с лиловым оттенком равномернозернистые, иногда слегка порфировидные породы, состоящие из идиоморфных таблитчатых кристаллов серого, довольно темного плагиоклаза ($\# 40-45$), заключенных в розовой существенно калиево-полевошпатовой массе. Кроме того, во всех разностях присутствует роговая обманка (10–15%) и облыгит. Кварцевые диорит-монцониты тесно связаны с сиенит-диоритами. Количество кварца в них уменьшается до 10%, а в составе цветных минералов появляется моноклинный пироксен (10–12%). Во всех породах преобладает монилитовая структура.

Для всех пород второй фазы джелчурского комплекса чрезвычайно характерным является лиловато-серый или лиловато-розовый цвет, постоянное присутствие калиевого полевого шпата и монцонитового пироксена ($\text{Ca:Na} = 42-44$) и некоторый дефицит кварца. Породообразующие минералы обладают рядом особенностей: калинатровый полевой шпат (анортоклаз) обычно имеет четкое выраженное перитовое строение и пестризирован ($2V = -58-65$); решетчатый микроклин встречается крайне редко; плагиоклаз резко зонален: роговая обманка образует тонкие итоловки и окрашена в бледно-зеленый, либо буровато-зеленый цвет ($\text{Ca:Na} = 18-20^\circ$); облыгит, как правило, обладает темно-коричневой окраской и резко плеококрическим. Типичным для пород этого комплекса является масивная текстура при широком разнообразии структур. Аксессорные минералы представлены апатитом, монцонитом, цирконитом, орбитом, урано-торитом, рутилом; в гранитах и аламеллитах изредка встречается оранжит.

Силикатные анализы свидетельствуют, что все породы относятся к нормальному ряду, причем по сравнению с гранитоидами ульского комплекса отмечается несколько большее содержание кальция и меньшее кремнезема и более резкие колебания основных числовых характеристик (SiO_2 , Al_2O_3). Кроме того, содержание железа в ферроцеских минералах закономерно увеличивается от диоритов, где оно находится примерно в разных соотношениях с магнием, к гранитам. Содержание элементов-примесей одинаково во всех разновидностях пород джульджурского комплекса и не отличается от таких в породах ульского, в то время как содержание рубидия и отношение к нему калия имеет некоторые отличия. В эндоконтактовых породах (диоритах и гранодиоритах) содержание рубидия составляет в среднем 0,08%; в алламелитах и гранитах — 0,014% (за исключением алламелитов бассейна Мал. и Больш. Кемкара (0,007%). Отношение калия к рубидию колеблется от 280 до 190. Причем эндоконтактовые фации разных участков Уланского массива имеют очень схожие средние значения (280), в то время как в алламелитах и гранитах отмечаются значительные колебания: 250 (р. Таганах) и 190 (левобережье Эйкана).

Экзоконтактовые изменения развиты очень широко и выражены как в слабой локальной эпидотизации, окварцевании и биотитизаций ("пятнистые" роговики, сохраняющие свой первичный состав и структуру), так и в образовании роговиков различного состава. Риолиты и их туфы превращаются в контактовом ореоле в кварц-каровит-серцитовые породы, напоминающие вторичные кварциты серпентиновой фации, по Н.Н.Курек (междуречье Оторуцяха и Иргани, правобережье Ниж. Эйкана). По андезитам и их туфам образуются кварц-биотитовые, кварц-биотит-гранатовые и кварц-эпидотовые роговники (реки Оторуцях, Нельба и др.), по турмалино-осадочным и осадочным породам — кварц-эпидот-актинолит-хоритовые роговики, сохраняющие первичную полосчатую текстуру (междуречье Эрганлы и Легендештыка, верховья Иргани, междуречье Мукчючика и Нельбы и др.). Кроме того, в бассейне р. Оторуцях наблюдаются полосчатые роговники типа "инфекционных" гнейсов, а в верховых рек. Мал. Кемкара — кварц-роговиско-макковые породы. Нередко в ортогипсованных породах отмечается равномерно рассеянная мелкая вкрашенность пирита (до 1,5 см). Ширина зоны экзоконтактовых пород в зависимости от критерия контакта колеблется от 0,5 до 2–5 см, мощность от 200 до 600 м.

Дайки лампрофирирового состава (хорг-?) находятся к нормальному ряду, причем по сравнению с гранитоидами и меньшее кремнезема и более резкие колебания основных числовых характеристик (SiO_2 , Al_2O_3). Кроме того, содержание железа в ферроцеских минералах закономерно увеличивается от диоритов, где оно находится примерно в разных соотношениях с магнием, к гранитам. Содержание элементов-примесей одинаково во всех разновидностях пород джульджурского комплекса и не отличается от таких в породах ульского, в то время как содержание рубидия и отношение к нему калия имеет некоторые отличия. В эндоконтактовых породах (диоритах и гранодиоритах) содержание рубидия составляет в среднем 0,08%; в алламелитах и гранитах — 0,014% (за исключением алламелитов бассейна Мал. и Больш. Кемкара (0,007%). Отношение калия к рубидию колеблется от 280 до 190. Причем эндоконтактовые фации разных участков Уланского массива имеют очень схожие средние значения (280), в то время как в алламелитах и гранитах отмечаются значительные колебания: 250 (р. Таганах) и 190 (левобережье Эйкана).

Экзоконтактовые изменения развиты очень широко и выражены как в слабой локальной эпидотизации, окварцевании и биотитизаций ("пятнистые" роговики, сохраняющие свой первичный состав и структуру), так и в образовании роговиков различного состава. Риолиты и их туфы превращаются в контактовом ореоле в кварц-каровит-серпентиновые породы, напоминающие вторичные кварциты серпентиновой фации, по Н.Н.Курек (междуречье Оторуцяха и Иргани, правобережье Ниж. Эйкана). По андезитам и их туфам образуются кварц-биотитовые, кварц-биотит-гранатовые и кварц-эпидотовые роговники (реки Оторуцях, Нельба и др.), по турмалино-осадочным и осадочным породам — кварц-эпидот-актинолит-хоритовые роговики, сохраняющие первичную полосчатую текстуру (междуречье Эрганлы и Легендештыка, верховья Иргани, междуречье Мукчючика и Нельбы и др.). Кроме того, в бассейне р. Оторуцях наблюдаются полосчатые роговники типа "инфекционных" гнейсов, а в верховых рек. Мал. Кемкара — кварц-роговиско-макковые породы. Нередко в ортогипсованных породах отмечается равномерно рассеянная мелкая вкрашенность пирита (до 1,5 см). Ширина зоны экзоконтактовых пород в зависимости от критерия контакта колеблется от 0,5 до 2–5 см, мощность от 200 до 600 м.

Дайки лампрофирирового состава (хорг-?) представляют собой малкозернистые темно-серые с лиловатым оттенком породы и внешне очень напоминают микробабро. Алитовые спессартиты состоят из плагиоморфных, имеющих вид мелких призматических вкраплениников, зерен алитита (25–50%), основного андезина (60%), иногда окруженного каймой более кислого шпатоклаза. В интэрстициях встречается наливший полевой шпат, кварц (5–7%). Структура панициноморфнозернистая, микрогаббровая.

Роговообманковые спессартиты внешне очень напоминают микродиориты, с которыми и имеют постепенные переходы в пределах одной дайки. Это зеленовато-серые поликристаллические мелко-зернистые породы, иногда порфировые, состоящие из тонких микролитовых иголочек зеленовато-бурых роговой обманки (30–35%) и среднего шпатоклаза (60–65%). Структура гипидоморфнозернистая. Эти дайки пересекают породы основной фации джульджурского комплекса и могут быть отнесены к дайкам второго этапа.

Малые интрузии и дайки габбро-диабазов (хорг-?)

Небольшие (до 1,8 км²) штоки габбро-порфиритов наблюдаются на левобережье Нигая. Дайки того же состава, северо-восточного простирания, мощностью от 1,5 до 20 м, прослеживающиеся на 100–150 м, встречаются в бассейнах рек Оторуцях, Бильдикат, Иргани. Малые интрузии прорывают лжелонскую свиту и нигде не наблюдаются среди гранитоидов второй фазы комплекса, что, наряду с петрографическим сходством с габброидами первой фазы, позволяет считать их одновозрастными образованиями. Габбро-порфириты представляют собой плотные темно-зеленые массивные породы с мелкозернистой основной массой, в которойerva различны мелкие (1–2 мм) вкрашениники алитита и реже шпатоклаза, замещенного эпидотом, хлоритом, кальцитом. Основная масса состоит из длинных листочек основного птициоморфа, рудного минерала, хлорита и имеет интер-

Малые интрузии и лайки гранодиорит-порфиров ($\text{I}_{\text{1}} \delta \text{PCr}_1 ?$)
и диоритовых порфиров ($\delta \mu \text{Cr}_1 ?$)

Гранодиорит-порфир и диоритовые порфириты слагают штокобразные тела площадью до 4000 м² в бассейнах рек Муждочик, Эйкан, Илан, а также многочисленные кругоподобные секущие и реже субпластовые жилы и лайки северо-восточного простирания, мощностью от 0,1 до 20 м, в верховьях рек Мал.Кемкара, Качи, Оторуцкя, Болчинкан и др. Они приурочены в основном к разломам северо-восточного направления, а также к эзоконтактам Улканского массива, почти отсутствуют в наиболее глубоко залегающих его частях и являются лайками второго этапа. В строении наиболее крупных даек и тел наблюдается четко выраженная зональность. Так, краевые части наиболее мощной (20 м) лайки в бассейне р.Эйкан и штоки в верховьях р.Муждочик сложены слабо раскристаллизованными диоритовыми порфиритами, имеющими облик эзоконтактных андезитов; центральные — хорошо раскристаллизованными диоритовыми порфиритами, переходящими в микродиориты. Аналогичное зональное строение наблюдается у штоков гранодиорит-порфиров в бассейне р.Эйкан. Некоторые же маломощные лайки (Бол. и Мал.Кемкара) целиком сложены слабо раскристаллизованными породами типа андезита или даек. Эзоконтактные изменения выражаются в пиритизации, которой подвергаются и сами лайки.

Гранодиорит-порфиры представляют собой светло-серые с розоватым оттенком породы с выделениями на фоне основной массы табличками белого или слегка розового шпатоклаза (20–25%).

Основная масса состоит из шпатоклаза (№ 30–35) в количестве до 40%, пелитизированного калиевого полевого шпата (20–25%), кварца (25%), тонких иголочек роговой обманки (5–7%) и в зависимости от степени раскристаллизации имеет микроликвидную и микротинидиоморфозернистую структуру.

Диорит-порфириты характеризуются темно-серой с зеленоватым оттенком окраской и по своему составу являются существенно шпатоклазовыми. Плагиоклаз ряда антезина образует вкрашенники и преобладает в основной массе. Содержание цветных минералов, представленных роговой обманкой и реже авитом, колеблется от 10 до 20%. В некоторых разностях присутствует кварц и кальцитовый полевой шпат (2–10%). Структура основной массы варьирует от микродиоритовой до микролитовой и микроплитоклазовой. Как гранодиорит-порфиры, так и диоритовые порфириты всегда сильно изменены. Плагиоклаз соскреблизирован, темноцветные минералы замещены актин-

литом, эпидотом, хлоритом, рудным минералом; кальцит полевой шпат пемматизирован.

Взаимоотношения гранодиорит-порфиров и диоритовых порфиров не наблюдалось.

Малые интрузии и лайки албитовых гранитов, гранит-порфиров ($\text{I}_{\text{1}} \text{PCr}_1 ?$), пемматитовые ($\text{P}_{\text{1}} \text{Cr}_1 ?$), албитовые ($\text{C}_{\text{1}} \text{Cr}_1 ?$) и пемматит-албитовые ($\text{P}_{\text{1}} \text{Cr}_1 ?$) жилы

Албитовые граниты и гранит-порфириты образуют небольшие штокобразные тела площадью от 0,08 до 9 км² и мощностью до 1–2 м и протяженностью 200–300 м, которые прорывают породы обеих фаз Жиганского комплекса и лишь изредка выходят за его пределы. Большое количество таких тел и даек сосредоточено на водоразделе рек Эйкан и Кемкара.

Албитовые граниты, пользующиеся широким распространением, представляют собой желтовато-розовые лейкократовые породы с редкими листовками биотита. Иногда по содержанию калиевого полевого шпата они приближаются то к алдамелитам, то к субшелочным гранитам. Силикатный анализ албитового субшелочного гранита (табл.3, анализ 17) свидетельствует о его промежуточном положении между щелочноземельными гранитами и риолитами по Р.Дали. От первых он отличается более кислым шпатоклазом ($a: c = 9,6$) и большим содержанием калиевого полевого шпата, от риолитов — меньшим содержанием свободного кремнезема.

Гранит-порфириты, иногда связанные с албитовидными гранитами постепенными переходами, имеют резко подчиненное значение. Они отличаются от последних наличием выращленников калиевого полевого шпата и редко шпатоклаза.

Албиты, пемматит-албиты, пемматиты распространены в пределах Улканского массива, особенно в бассейне рек Бол.Кемкара, Эйкан, Уянкер, в междуречье Таганаха и Улканы, где развиты в основном алдамелиты и граниты. Мощность их колеблется от нескольких сантиметров до 10–15 м, контакты четкие. Эзоконтактные изменения выражаются в калиппатизации (мелкие зерна розового калиевого полевого шпата совместно с кварцем образуют участки микроплитоклаза). Мощность зоны эзоконтактовых изменений не превышает 5–7 см. По соотношению полевых шпатов породы отвечают обычно нормальному щелочноземельным гранитам или алдамелитам. Лишь изредка отмечается существенно калиево-полевошпатовые разности. Основная роль принадлежит албитам и пемматит-албитам, реже встречаются типичные пемматиты. Очень часто в пемматитах (мас Нельба,

Водораздел Эйкан и Бол.Кемкары и др.) присутствует значительное количество черного турмалина — шерла, который находится в пегматитовом прорастании, слагая совместно с кварцем центральную часть жилы, или образует мелкие одиночные кристаллы.

Описанные выше породы связаны с заключительной стадией структуры джугдурского комплекса и являются лайками первого этапа. Взаимоотношения амбитовидных гранитов, амбитов и пегматитов с другими жильными породами нигде не наблюдались.

Описанные выше особенности минералов пород основной фазы комплекса, широкое распространение порфироних и порфироидных структур, богатый комплекс лаков второго этапа свидетельствуют, что формирование джугдурского комплекса произошло в гидроизометрических условиях. С этим комплексом связана медно-молибденовая и полиметаллическая минерализация.

Интурузии джугдурского комплекса прорывают вулканические образования джелонской, немуйканской, магдейской свит и нельбинской толщи и перекрываются нерасщепленными верхнемеловыми эф-фузиями. Взаимоотношения их с интурузиями ульского комплекса не всегда четкие. В верховье рек Верх. Эйкан и Качи в глыбовых развалинах переход от пород одного типа к другому, скорее всего, постепенный. В бассейнах рек Оли и Намчи диориты ульского комплекса резко сменяются порфировидными и порфировыми породами джугдурского комплекса второй фазы эндоконтактовой фации, что может свидетельствовать о прорывами первых последними. Кроме того, на левобережье р.Оли таббориды первой фазы джугдурского комплекса очень схожего облика, имеют четкие и довольно резкие контакты с гнейсовидными диоритами ульского комплекса. В бассейне р.Эйкан тоналиты последнего прорываются жилой табборового состава, тесно связанной по своим петрографическим признакам с джугдурским комплексом. Косвенным признаком наличия в районе двух комплексов может служить присутствие жил амбитовидных гранитов с микроклином среди тоналитов и диоритов, выделяемых в ульский комплекс, и отсутствие таких в породах, выделяемых в джугдурский. Предварительные, еще недостаточные данные о различном отдельении жил калия к рубину в однотаковых по составу породах ульского и джугдурского комплексов могут свидетельствовать о более молодом возрасте последнего.

На описанной территории интурузии джугдурского комплекса прорывают вулканические образования магдейской свиты, которая на соседней к западу и юго-западу площади содержит щитогрунтовые гранитоиды в междуречье Бол.Комул-Джандак-Авланда (лист

Одесская область) и южные окрестности села Кань-Кемкар.

0-53-XXX) перекрываются вулканическими породами, возраст которых определен по спорам и пыльце как поздний мел, возможно, сенон-датский. Абсолютный возраст алманаситов р.Таганах, определенный калий-аргоновым методом, составляет 105 млн. лет (лаборатория обогащения "Аэрогеология"). Другое определение абсолютного возраста — 95 млн. лет, выполненное также калий-аргоновым методом, получено из аналогичных гранитолов бассейна р.Таймень (лист 0-53-XXXII) Л.В.Филосовым (СБГИ № 1). Таким образом, время внедрения интурузий джугдурского комплекса точно не установлено: оно отвечает либо концу раннего, либо началу позднего мела.

В соответствии со сводной легендой Приохотской серии для джугдурского комплекса принимается условно раннемеловой возраст.

Гидротермальные жилы

Гидротермальные жилы — кварцевые, кварц-сульфидные и кварц-турмалиновые — приурочены к зонам разломов и антиклинным частям интурузий. Определить связь их с определенным интурузивным комплексом на современной стадии изученности района не представляется возможным.

Наиболее распространением пользуются дезерудные кварцевые жилы мощностью до 2 м (р.Кам), состоящие из молочно-белого сливочного кварца, изредка с хлоритом и эпидотом. Иногда в жилах отмечается вкрашенность магнетита (р.Нытва).

Кварц-сульфидные жилы встречаются очень редко — это кварцитовые жилы, иногда с молибденитом и сфalerитом. Пирит образует тонкую мелкую равномерно рассеянную вкрашенность (междуречье Улкана и Таганаха). Иногда вмешавшиеся породы пронизаны сетью мелких тонких кварцевых жилок, так что образуется жильная сростка. Кварц в этом случае представлен как массивной разнovidимостью, так и мелкими мутными шестоватыми кристаллами. С кварц-сульфидными жилами в районе связана молибденовая и цинковая минерализация. Однако в соседних к западу (листы 0-53-XXXI, XXXII) районах с ними связана также золоторудная и полиметаллическая минерализация (Скотаренко и др., 1965).

Кварцевые жилы с турмалином, по-видимому, тесно связаны с турмалиновыми пегматитами. Встречено всего несколько таких жил (р.Эйкан, междуречье Таганаха и Улкана); мощность их не превышает 0,2-0,3 м, простирание — субмеридиональное.

ТЕКТОНИКА

В тектоническом отношении описываемая территория не однородна. Прибрежная ее зона располагается в пределах северо-восточной оконечности мезозойской Монголо-Охотской складчатой области. Остальная северо-западная часть относится к буланническому поясу, начавшему свое развитие с раннего мела и наложенному на разнородные структурно-тектонические области: Верхоянские и Монголо-Охотские мезозоиды и на краевую зону протерозоя Становико-Джунгаря. К Охотскому побережью в пределах описываемой территории прилегает область щельфа с глубинами до 150-200 м. Еще восточнее, по данным И.П.Косынинской и др. (1963), располагается так называемый Северный приотский субширотного простирания, глубина которого в наиболее отчужденной части достигает 5 км (рис.2).

В структурном отношении Монголо-Охотская область в пределах рассматриваемой площади представляет собой северо-западное крыло и зону северо-восточно-го погружения Аянского антиклиниория. Последний протягивается в юго-западном направлении на расстоянии около 200 км и разобщен на отдельные участки послескладчатыми сатолитоподобными массивами мезозойских гранитоидов ульского комплекса. В строении Аянского антиклиниория выделяются три структурных яруса, соответствующих глязенам этапам развития Монголо-Охотской геосинклиналии.

Нижний структурный ярус (комплекс структур основания, по М.В.Муратову) выходит на дневную поверхность в двух тектонических блоках, один из которых расположается на северном побережье Алданского залива, другой — на правобережье р.Алдана, западнее р.Мотчу. Этот ярус сложен наиболее древними отложениями — известняками начинской свиты. Для него характерны линейные складки субмеридионального простирания с крутыми (50-85°) крыльями и амплитудами порядка 1-2 км, часто осложненные плойчатостью и мелкими разрывами.

Южнее описанной площади в ядре Аянского антиклиниория в строении нижнего структурного яруса принимает участие, кроме того, мощная песчано-сланцевая толща, согласно постепенноящающейся свите. Таким образом, в комплексе основания выделяются две формации: нижняя терригенная и известняковая. Более молодые формации, по-видимому, были уничтожены внутриордовикским (?) разрывом. Отсутствие в комплексе основания переколов в осадконакоплении и несогласий позволяет думать, что данная терригенная в доверхнеордовикское время в первой половине геотектони-

ческого цикла развивалась как устойчивая интрасинклиналь.

Средний структурный ярус, отвечающий структурам главного геосинклинального комплекса, по М.В.Муратову, слагается терригенными и карбонатными породами верхнего ордовика (алданской свиты), лудловского, кунгурского, франского и фаменского ярусов. Этот структурный ярус отделен от нижнего поверхностью азимутального несогласия, которое наблюдается ниже, в районе пос.Аян.

В пределах описываемой площади, где широким развитием пользуются интрузивные породы мезозойского возраста, от структур главного геосинклинального комплекса сохранились лишь часть северо-западного крыла Аянского антиклиниория (Алданская структура) и серия мелких складок в тектонических блоках осевой зоны последнего. Здесь наблюдается падение пород на север и северо-запад. Моноклинально падающие пласты прослеживаются вдоль долины Алдана и далее на северо-восток до Устья Улканы. Особенно резкий изгиб пластины испытывают в среднем течении р.Алдана между устьями рек Танчи и Иван. Углы падения пород варьируют от 35 до 70°; причем наиболее крутые углы падения отмечаются на левом берегу р.Алдана. По-видимому, это связательствует с сравнительно пологим склоном мезозойской интрузии антиклинальной зоны р.Алдана. По-видимому, это связательствует с сравнительно пологим склоном мезозойской интрузии антиклинальной зоны р.Алдана.

На характере складчатости, присущей среднему структурному ярусу в целом. Это — линейные складки с крутыми крыльями и относительно пологими с翼ами, обладающие амплитудой порядка 10-20 км. Однако в осевой зоне Аянского антиклиниория в тектонических блоках на северном берегу Алданского залива, в породах алданской свиты, наблюдается более мелкая складчатость линейного типа с амплитудами порядка 0,5-3 км и углами наклона крыльев 30-60°, иногда осложненная плойчатостью.

Анализ литологии палеозойских отложений от верхнего ордовика до начальной яруса включительно свидетельствует, что главный геосинклинальный комплекс отличается от комплекса основания более полным набором формаций. Здесь можно выделить:

- 1) нижнюю терригенную формацию верхнего ордовика мощностью около 4000 м, которая включает в себя отложения алданской свиты и подстилающую ее песчано-сланцевую толщу, развитую выше описанной площади в районе Аянского полуострова;
- 2) известняковую формацию общей мощностью порядка 2200 м, отвечающую лудловскому и кунгурскому ярусам;

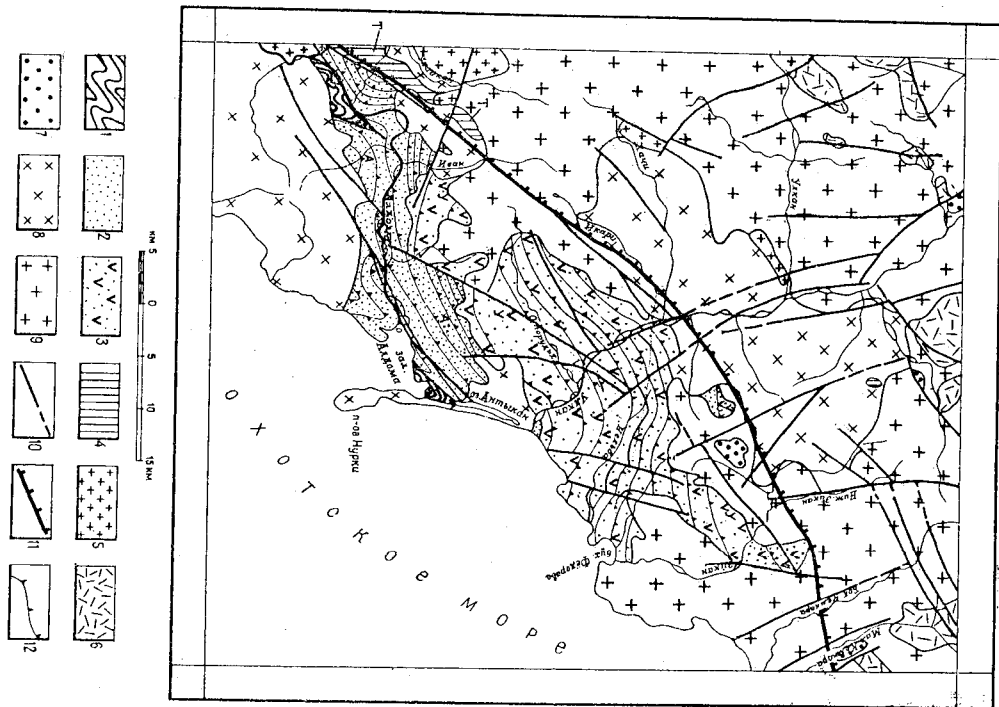


Рис. 2. Тектоническая схема

Мезозойды Монголо-Охотско-Северо-Сахалинской области (северо-западное крыло и прилегающая к нему часть осевой зоны Аянского антиклинария): 1 - нижний структурный ярус (структурный комплекс основания - нижний средний ордовик); 2 - средний структурный ярус (структурный главного геосинклинального комплекса - верхний ордовик - верхний девон); 3 - верхний структурный ярус (структурный молассового комплекса - верхний девон - нижний мел); 4 - охотская тектоническая платформа - нижний мел; 5 - фрагменты среднепротерозойского складчатого фундамента; 6 - реликты среднепротерозойских массивов мелочных гнейсов и гранитоидов осадочно-магматического комплекса окраинных частей Сибирской платформы; 7 - реликты слабо дислокированных покровов нижнекоренных эфузивов; 8 - горизонтальные покровы верхнемеловых эфузивов; 9 - послескладчатые батолитообразные массивы гранитоидов ульского комплекса; 10 - метаморфические гарплито-добные массивы гранитоидов джульхурского комплекса; 11 - разломы послепланового возраста; 12 - условная юго-восточная граница Охотско-Чукотского вулканического пояса; А - линии простирания с направлением падения. Наменование структур: А - Алданский, У - Ульканский, Т - Танчикская моноклиналь.

3) верхнюю терригенную формацию верхнего девона видимой мощностью 700 м, соответствующую франкскому и фаменскому ярусам.

Кроме того, в районе Аянга развиты углисто-тилинисто-сланцевые отложения с отпечатками флоры среднего карбона, которые могут рассматриваться в качестве лагунной формации, завершающей полный формационный ряд главного геосинклинального комплекса.

Наличие значительного количества перерывов в осадконакоплении, выпадение из разреза осадков зенитского и эйфельского ярусов, образований нижнего девона и нижнего карбона, а также отсутствие продуктов вулканической деятельности свидетельствуют о том, что этот участок Монголо-Охотской геосинклинального режима. Сопряженная с этой интрагеосинклиналью интрагеосинклинальная зона располагалась восточнее, на что указывают мощные излияния эфузивов в среднем девоне, зафиксированние южнее Аянского района в бассейне р.Кирган и на Шантарских островах.

Верхний структурный ярус соответствует структурам молассового комплекса, по М.В.Муратову: в пределах описываемой площадки он представлен нижним подъярусом, в сложении которого принимает участие верхнетюрские-нижнекемеловые осадочно-эфузивные образования, джелонской свиты, нельбинской толщи и послескладчатые массивы раннемеловых гранитоидов, главным образом, улского комплекса. Верхний структурный подъярус, представленный горизонтально лежащей грубой нижнекемеловой молассой, пользуется широким развитием южнее, в районе пос.Аян, он отделен от нижнего подъяруса поверхностью утлого песчаника.

Так же, как и в среднем структурном ярусе, после внедрения мезозойских гранитоидов в пределах района сохранилась лишь часть северо-западного крыла Аянского антиклиниория (Улканская структура). Последняя, плавно изгибаясь, облегает с северо-востока и северо-запада структуру главного геосинклинального комплекса. Это изменение простирания вулканогенных отложений, наблюдавшееся на левобережье р.Улкан, в нижнем ее течении, вплоть до северо-западного, перпендикулярного региональному простиранию структур Монголо-Охотской складчатой области, очевидно, намечает зону северо-восточного погружения Аянского антиклиниория.

Улканская структура в южной своей части характеризуется северо-западным падением пород, а на левобережье р.Улкан - северным и северо-восточным. Углы падения варьируют от 10 до 50-60°, причем в их распределении наблюдается определенная зональность.

В направлении падения сначала происходит резкое уменьшение круги наклона от 50-60° до 10° (левобережье р.Улкан, при устье), затем - постепенное увеличение до 50° (верховья рек Нельба и Мукчики) и далее - выпадование до 25-30° (бассейны верхнего течения р.Элан). Описанная зональность свидетельствует об осложнении Улканской структуры рядом флексур с углами падения слоев в пределах смыкаемых крыльев 50-60°.

Если учесть материалы по соседним к югу районам, для молассового комплекса имеет место весьма типичный ряд континентальных формаций:

1) угленосная формация верхнетюрского возраста - самая нижняя часть джелонской свиты, представленная тлинностями сланцами и песчаниками с прослойками угля, развитыми в бассейне р.Джелон;

2) осадочно-вулканогенная формация верхнетюрского-нижнекемелового возраста;

3) молассовая формация нижнекемелового (неокомского) возраста - несортированные валуны конгломерата, развитые в районе поселков Аян и Лантарь.

Молассовый комплекс формировался в пределах Улского прогиба на заключительной - орогенной - стадии развития Монголо-Охотской геосинклинали. В связи с тем, что от Сибирской платформы этот прогиб был отделен на продолжении всей истории своего развития Джулдукским поднятием, его следует классифицировать в качестве межгорного. Существование Джулдукского поднятия установлено на соседней к юго-западу площади листа 0-53-ХХХI по составу обломочного материала нижнекемеловой молассы (Гольденберг и др., 1963).

Таким образом, прибрежная зона описываемой территории относится к мезозоям, начальный этап развития которых окончился до позднего орловика. Главный геосинклинальный этап продолжался с последнего ордовика до среднего карбона включительно, а заключительный этап охватил поздний триас и ранний мел.

М.С.Нагибина относит улский прогиб к категории впадин восточно-азиатского типа, явившихся результатом ревивации платформы, тем самым обособляя его от Монголо-Охотской геосинклинали и выделяя однотипную складчатую область в качестве терциарной (Нагибина, 1959). Близкой точки зрения придерживаются геологи Северо-Восточного геологического управления (Титов В.А., Анисеев Н.Л., Васильев А.П. и др.), относя этот район к Монголо-Охотской складчатой области герцинского возраста.

Северо-западная часть рассматриваемой площади, относит наим к Охотско-Чукотскому - Ульянскому - Магматическому или Охотскому Тектоно-магматическому, являет зоной широкого развития нижнемеловых гранитоидных массивов джульджурского комплекса, внедрившихся по зонам глубинных разломов северо-восточного простирания и представляющих собой межформационные гарнолитоподобные тела. В них в виде ксенолитов и провесов кровли сохранились реликты нижне-протерозойского метаморфического складчатого комплекса и среднепротерозойских интрузий, а также реликты покровов нижнемеловых эфузивов. Последние слагают нижний структурный ярус Охотского тектono-магматического пояса в пределах расположенных юго-западнее - Предджульджурского прогиба и северо-восточнее - Ульянского прогиба. Покровы верхнемеловых эфузивов, по Е.К.Устиневу, относятся ко второму структурному ярусу Охотского тектono-магматического пояса.

В нижнепротерозойских образованиях на левом берегу р.Танчи наблюдалась куптое (70 - 80°) моноклинальное падение на северо-запад (Танчинская моноклиналь). Установить характер дислокированности нижнемеловых эфузивов в пределах описываемой площади не удается. Наблюдаящийся на разрозненных небольших участках крайнего северо-запада района сравнительно пологий контакт между немуйской и магейской свитами свидетельствует, по-видимому, о спокойном их залегании. В Предджульджурском и Ульянском прогибе нижнемеловые эфузивы смыты в пологие складки с утлами падения на крыльях не более 5 - 20° , сильно отличаясь, таким образом, по характеру залегания от верхнеуральских-нижнемеловых образований джелоинской свиты и нельбинской толщи, участвующих в строении складчатой структуры. Из сказанного ясно, что отличие между этими эфузивами заключается не столько в их некоторой разновозрастности, сколько в том, что верхнеуральские-нижнемеловые эфузивы возникли на заключительном этапе развития Монголо-Охотских мезозоев, а нижнемеловые эфузивы - на ранней стадии образования Охотско-Чукотского вулканического пояса, являющегося окраинной структурой области камчатской (альпийской) складчатости. Покровы верхнемеловых эфузивов характеризуются горизонтальным залеганием, которое нарушается лишь волнистотой от разломов. В крупных полях развития этих пород в Ульянском прогибе, по свидетельству Е.К.Устинева, отмечается лишь незначительное их коробление.

Следует сказать, что Е.К.Устинев, строго ограничив время заложения Охотского тектono-магматического пояса началом меловой

эпохи, ошибочно включает в его пределы поля развития верхнеорских-нижнемеловых эфузивов (Устинев, 1959). М.И.Циксон и Л.И.Красный считают, что заложение этого пояса, который ими назван Ульско-Охотским, произошло в средней и поздней мре; они относят к нему верхнеуральские-нижнемеловые отложения джульджурской свиты и нижнемеловые и палеогеновые эфузивы, развитые севернее площади листа 0-54-ХХУ вдоль Охотского побережья (Линдсон, Красный, 1962). Вместе с тем, признавая, что вулканические пояса Дальнего Востока совместно с ассоциированными с ними наземными утлененными образованиями являются своеобразным дальневосточным эквивалентом передовых прогибов "классических" Геосинклиналей, эти исследователи как бы подчеркивают двойственный характер верхнеуральских-нижнемеловых эфузивов. С одной стороны, последние относятся к стадии заложения Улько-Охотского вулканического пояса, с другой - к заключительному этапу развития мезозоя.

На тектонической схеме граница между Монголо-Охотской складчатой областью и Охотско-Чукотским вулканическим поясом показана нами с некоторой долей условности: некоторые элементы Охотско-Чукотского вулканического пояса (северо-восточная часть массива гранитоидов джульджурского комплекса) встречаются и в пределах Монголо-Охотской складчатой области. Имеют место и обратные соотношения, когда гранитоиды ульянского комплекса, присущие мезозоям, оказываются включенным в Охотский пояс. Такие явления легко объяснимы, если учитывать наложенный характер Охотско-Чукотского кулакнического пояса.

Широким распространением на описываемой площади пользуются разрывные нарушения. Они могут быть структурированы в две системы - разломы северо-восточного и разломы северо-западного, субмеридионального направлений. Первая группа разломов, очевидно, связана с северо-восточным продолжением зоны джульджурского разлома, юго-западнее разграничившей Сибирскую платформу и Монголо-Охотскую складчатую область. Вторая группа разломов, по-видимому, относится к системе Биликанской зоны дислокаций, расположенной севернее.

Как те, так и другие разломы либо прямолинейны, либо слабо изогнуты. Протяженность наиболее крупных из них достигает 20-30 км. Полная независимость их направления от форм рельефа свидетельствует о вертикальном положении плоскостей смещителей. При пересечении разломов одного направления разломами другого простирания всегда наблюдается значительные (до 1-2 км) горизонтальные смещения. Вертикальную амплитуду перемещений по ним обычно опре-

делить трудно, но, судя по геологической ситуации, по обе стороны от разрывных нарушений, одно из которых пересекает р.Танчи, а другое — реки Нигай и Оторуульях, она также значительна и достигает нескольких сотен метров. Эти данные позволяют относить большинство дизъюнктивов к категории сбросо-сдвигов.

Вдоль некоторых из разломов удается наблюдать зоны расщепления, катаклизма и ожелезнения пород, нередко отмечается окварцевание, эпидотизация и хлоритизация. Мощности зон колеблются в широких пределах — от совсем незначительных до 2 км, например, щель разлома, пересекающего р.Оторуульях в среднем течении.

В большинстве случаев разрывные нарушения городо-деми-рирутятся на аэрофотоснимках, будучи выраженными на местности серий расположенных в едином створе седловин, уступов на склонах, увлажненных и покрытых более густой растительностью зон. Речная сеть обычно не считается с направлением разломов, лишь иногдающим заложены самые верховья ручьев и мелкие ложки.

Возраст разрывных нарушений определяется как последовательной на основании пересечения разломами обоих направлений покровов верхнемеловых эфузивов в верховьях р.Верх.Эйкан. Характер пересечения дизъюнктивных нарушений двух систем позволяет говорить об относительной молодости разломов северо-западного и субмеридионального направлений. Исключение составляет дизъюнктив северо-восточного простирания на правобережье р.Намчи, смещавший субмеридиональные разломы.

ГЕОМОРФОЛОГИЯ

Описываемая территория расположена в области сводового поднятия, наиболее приподнятая часть которого приурочена к верховьям рек Иван и Качи.

В зависимости от интенсивности проявления тех или иных экзогенных факторов, сыгравших главную роль в формировании рельефа, выделяются следующие основные типы рельефа (рис.3).

Д е н у д а ц и о н н ы й п о л о г о в о л н и с т ы й р е л ь е ф р а в н и в а н и я п а л е о г е н о в о г о з о з р а с - т а (7) х / сохраняется на водоразделе рек Эйкан и Таганах на вы-

х/ В скобках указаны цифры, которыми обозначены типы рельефа в легенде к геоморфологической схеме (см.рис.3).

соте 700–900 м. Пенеплэн представляет собой выпложенную поверхность с первоначальными неровностями рельефа, с размахом до 100 м. Палеогеновый возраст поверхности вызревания определен на основании спорово-пыльцевого анализа прос, собранных за пределами района (левобережье р.Челасин) из отложений на аналогичных поверхностях (Ставлев и др., 1962).

Э р о з и о н н ы й н и з к о г о р н ы й р е л ь е ф р а с ч л е н е н н ы й р е л ь е ф н е о т е н - ч е т - в е р т и ч н о г о в о з р а с т а (2) развит в бассейнах рек Нельбай, Оторуульях и Иркани и приурочен в основном к участкам распространения эфузивных пород. Он характеризуется наличием различно ориентированных хребтов, с абсолютной высотой 600–1000, реже колеблющимся от 200 до 800 м). Хребты имеют узкие (30 – 300 м), гребневидные или пилообразные водоразделы и крутие (20° и больше) склоны обильно-осыпанного и осыпанного сноса, лишенные растительности и покрытые среднеглыбовыми осыпями. На склонах развита густая сеть эрозионных ложбин и борозд.

Э р о з и о н н ы й д е н у д а ц и о н н ы й н и з к о - т о р н ы й р а с ч л е н е н н ы й р е л ь е ф н е о - т е н - ч е т в е р т и ч н о г о в о з р а с т а (3) с господством процессов солифлюкционного сноса и накопления, сформированный в основном на гранитолах джутильского комплекса и оротовикованных породах палеозоя, развит в междуречье Улканы и Таганаха, в верховьях Больш. и Мал.Кемкари и на левобережье Альмене. Этот тип рельефа характеризуется узкими полого-выпуклыми возвышенностями. Этот тип рельефа характеризуется узкими полого-выпуклыми возвышенностями. Этот тип рельефа характеризуется узкими полого-выпуклыми возвышенностями.

Д е н у д а ц и о н н ы й н и з к о - э р о з и о н н ы й н и з к о - г о р н ы й р а с ч л е н е н н ы й р е л ь е ф н е о - т е н - ч е т в е р т и ч н о г о в о з р а с т а (4) распространен в бассейнах рек Качи, на левобережье Таганаха и Эйканы. Он сформирован на гранитогорах улуского комплекса и частично джутильских. Развитие здесь хребты высотой 400–800 м имеют широкие (1 – 2 км) плоские вершины, полого переходящие в задернованные склоны солифлюкционного сноса и накопления, крутизна которых не превышает 15° . Склоны характеризуются вогнутым профилем, благодаря приуроченности к их нижним, часто задерновенным частям солифлюкционных шлейфов. Солифлюкционные, плохо сохранившиеся тер-

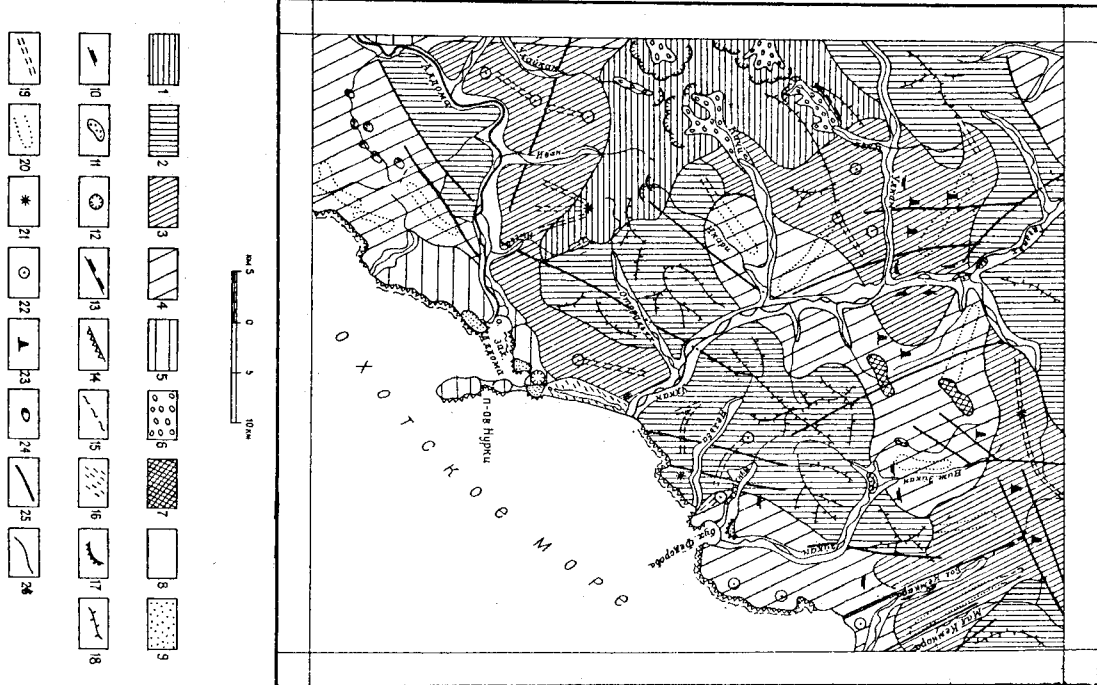


Рис.3. Геоморфологическая схема

Типы рельефа: 1 - ледниково-эрозионный среднегорный, резко расщлененный кругосклонный рельеф позднечетвертичного возраста; 2 - эрозионный низкогорный резко расщлененный неоген-четвертичного возраста, сформированный преимущественно на эрозионных валах; 3 - эрозионно-денудационный низкогорный расщлененный рельеф неоген-четвертичного возраста, сформированный на гравитационных дюнгурских комплексах и орогликованных осадочных породах; 4 - денудационно-эрозионный низкогорный расщлененный рельеф неоген-четвертичного возраста, сформированный на границах улусского комплекса и частично дюнгурских; 5 - денудационно-эрозионный низкогорный, слабо расщлененный холмистый неоген-четвертичного возраста, сформированный в основном на осадочных породах; 6 - ледниково-аккумулятивный грядовый рельеф верхнечетвертичного возраста; 7 - денудационный пологонизистый рельеф поверхности выравнивания палеогенового возраста; 8 - эрозионно-аккумулятивный рельеф днищ долин среднечетвертичного современного возраста, представленный комплексом поймы и I-II Надтименских террас; 9 - эрозионно-аккумулятивный морской рельеф среднечетвертичного возраста. **Формы рельефа:** 10 - нагорные террасы; 11 - наледные поляны; 12 - кары ледниковые; 13 - троги; 14 - образионный уступ; 15 - видимая граница современной абразионной платформы; 16 - пересыпь; 17 - уступ морской террасы; 18 - гребневидные и пилообразные водоразделы; 19 - узкие пологовыпуклые водоразделы; 20 - плоские водоразделы; 21 - островоречные конусообразные вершины; 22 - пологокруглые и плосконервные вершины; 23 - останцы выветривания; 24 - извилистые валуны. **Причёс** 05 ОЗИАЧИ: 25 - разломы, четко выраженные в рельефе; 26 - граница типов рельефа.

расы и останки выветривания являются глинистыми микрорифмами этого рельефа. В бассейне р.Улакан, на высоте 100–150 м, сохранились аратические валуны, свидетельствующие о том, что на формирование этого типа рельефа, по-видимому, оказало влияние среднечетвертичное подглобкровное оледенение.

Денудационо-эрозионный и з-когорный саборасчлененный холмистый рельеф несет в себе признаки, что в озрасте (5) охватывает район побережья Алтамского залива, где развиты терриенно-карбонатные толщи и гранитоиды улуского комплекса. Абсолютные высоты здесь не превышают 200 м, относительные превышения не более 100 м. Крутизна задолоценовых склонов 5–7°, в нижней части 2–5°. Здесь господствуют процессы солифлюкции. Большое развитие приобретают широкие плоские поверхности тольцового выравнивания. Долины широкие, V-образные.

Возраст описанных типов рельефа определяется следующими данными. В палеогене (до отытодена включительно) рассматриваемая площадь представляла собой пленулен, о чем свидетельствуют результаты палеогеновой поверхности выравнивания. Протроченность среднечетвертичного аллювия к днишам долин указывает на то, что к среднечетвертичному времени уже были сформированы основные элементы рельефа – хребты и долины. Следовательно, начало главная фаза формирования указанных типов рельефа приходится на неоген-раннечетвертичное время. В связи с тем, что процессы денудации и эрозии преобразовывают рельеф и пониже, возраст его устанавливается как неоген-четвертичный.

Ледниково-эрозионный среднегорный резко расчлененный крутосточный рельеф (I) охватывает верховья бассейнов рек Качи, Улкан, Иван и приурочен к наиболее высокой части территории с отметками до 1300–1700 м. Он представляет собой систему хребтов, сильно расщепленных речными долинами (относительные превышения достигают 1200 м), с крутосклонами, очень узкими гребневидными водоразделами и карстингами, образовавшимися при соединении каров диаметром до 1,5 км, с высотой стенок до 400–600 м. Троговые долины, частично разрушенные, сохранились только в верховых рек Качи и Улкан. Позднечетвертичный возраст рельефа определяется временем образования ледниковых отложений, развитых в пределах этого рельефа.

Ледниковая Кумульятивная тра-дловая рельеф (6) развит в долинах рек Качи, Иняк,

Оторульях, Ишат, где сохранились валы донной и боковой морены горно-долинного оледенения. Эти валы высотой 20–30 м, протяженностью 6–8 км при ширине до 2 км имеют пологие склоны. В соседстве с ними находятся западины различной формы, диаметром 100 м, глубиной до 20 м, иногда заполненные водой (реки Инж, Икари). При прорезании холмисто-западинного рельефа реками образуются каньонообразные участки долин. Позднечетвертичный возраст рельефа определяется возрастом слагающих его ледниковых отложений.

Эрозионно-аккумулятивный рельеф приурочен к Линьшам (8) речных долин, с развитием в их пределах террасовым комплексом. Ни одна из речных долин не имеет выработанного продольного профиля, что объясняется современным покрытием территории.

Террасовый комплекс представлен четвертой, третьей, второй и первой надпойменными террасами, а также высокой и низкой поймами (на геоморфологической схеме они не расчленены).

Все террасы, за исключением поймы, сильно размыты и встречаются фрагментарно. Для них характерно наличие выполненной поверхности, слабо наклоненной к руслу реки. Тыловой склон, как правило, замыт, в то время как овражка хорошо выражена.

Четвертая надпойменная поймальная терраса среднечетвертичного возраста наблюдается по рекам Таганах, Улкан, Муключик и в устье р.Нельбя. Ее высота колеблется от 25 до 30 м, соответственно изменяется и высота покоя от 5 до 20 м. Ширина террасы не превышает 200–300 м.

Верхнечетвертичная третья надпойменная аккумулятивная терраса отмечается только в верховых р.Инж и на р.Улкан, близ устья р.Таганах. Высота террасы меняется от 10 до 14 м, ширина до 300–400 м.

Вторая надпойменная терраса верхнечетвертичного возраста, аккумулятивная – по рекам Бол.Кемкара и Эйкан и покояна – в долинах рек Улкан, Алтама, Таганах. Обычна ее высота 7–9 м. Вверх по Алтаме намечается увеличение высоты от 7 до 12–15 м. В покоях террасах высота покоя (5–12 м) превышает мощность аллювия (2–4 м).

Первая надпойменная аккумулятивная терраса приурочена в основном к устьям боковых притоков крупных рек. Высота ее 4–6 м, ширина до 300–400 м.

Пойменная аккумулятивная терраса современного возраста высотой до 3 м развита повсеместно узкой пологой вдоль русел рек. Поверхность террасы ровная, местами осложнена бутрами пучения. Возраст террасового комплекса определяется возрастом

слагающих их аллювиальных отложений.

Морской аэроразионно-аккумуляция в виде небольших фрагментов в районе залива Альдома и на полуострове Нурик, где он представлен поклонной террасой высотой 15-30 м. Поверхность террасированная, слабо наклоненная на северо-восток. Возраст ее определяется на основании спорово-пыльцевого анализа проб из отложений этой террасы как среднечетвертичный.

Пробрежная полоса представляет собой зону современной абразионной и аккумулятивной деятельности моря. Абразионные формы рельефа — клиф высотой до 100-400 м с нишами и неровной обрамленной платформой (бенг) с выбоинами и останками почты повсеместно прослеживаются вдоль берега моря.

Аккумулятивные морские формы рельефа имеют ограниченное развитие. Узкий (10-15 м), местами до 20-50 м, клиф не предохраняет коренной берег от разрушения. Современная морская терраса (лайды) высотой до 5-7 м наблюдается только к юго-западу от устья Улканы и между Энканом и Мукдочиком (на схеме не показано). Озера Икит и Антыкан отделены от моря асимметричной пересыпью высотой до 6 м, обращенной выпуклой стороной к озерам. Аналогичная пересыпь соединяет два прибрежных острова между собой и с материком, образуя полуостров Нурик.

Историю развития рельефа можно проследить лишь с палеогеном, когда на обширной территории востока Азии, частью которой является и описываемый район, возникла поверхность выравнивания. Данные по сопредельным площадям — хр. Гуркан (Гольденберг, 1962) свидетельствуют, что пeneшеин без особых изменений просуществовал до олигоцена включительно.

В неолите и раннечетвертичное время рассматриваемая площадь испытала интенсивное снодовое поднятие, центральная часть которого совпадала с осевой зоной хр. Джуликюр. На это указывает закономерное увеличение абсолютных отметок вершин от берега Охотского моря к северо-западу. Снодовое поднятие обусловило активизацию процессов эрозии и денудации. Следует особо подчеркнуть, что в различиях структурных типов рельефа главную роль сыграла неоднаковая способность горных пород к разрушению.

В среднечетвертичное время имело место оледенение полупокровного типа, следы которого обнаружены в осевой зоне хр. Джуликюр (ледниковая штриховка, барабань лобы, нуннатахи), а также в пределах описанной площади: эрозионные валуны на склонах долины р. Улкан на высоте 100-150 м над руслом.

С последниковым временем (вероятно, вторая половина среднечетвертичной эпохи) связано возникновение акватории северной половины Охотского моря. На это указывают характер рельефа морского дна и литологический состав отложений (Безруков и Удинцев, 1953), а также следы распространения некоторых пресноводных рыб (Линдберг, 1946). Свидетельством трансгрессии в районе являются морские отложения, зафиксированные на высоте 15-30 м над современным уровнем моря.

В позднечетвертичное время наиболее высоко поднятое части района подверглось вторичному оледенению, носившему горно-долинный характер, в результате чего возник типичный экзарационный рельеф в верховых рек Каш, Улкан и Иван.

Наличие многочисленных речных террас показывает, что в течение позднечетвертичной и современной эпох район продолжал испытывать воздействие, прерывавшееся стадиями относительного покоя. Некоторое увеличение высоты II напластованной террасы р. Альдомы вверх по течению указывает на большую интенсивность восходящих движений в восточной (преджуликюрской) части района по сравнению с присежной его частью. Таким образом, можно думать, что сводовое поднятие этого этапа наследует план неоген-раннечетвертичного поднятия.

Для самого последнего этапа тектонической истории намечается тенденция к опусканию прибрежной части района, о чем свидетельствует современный характер берега Охотского моря — абразионный обрыв, висящие русла ручьев, эстуарий в устье р. Энкан и затопленная дельта р. Альдомы.

ПОЛЕЗНЫЕ ИСКОПАЕМЫЕ

На территории листа 0-54-ХХХ выявленырудопроявления молибдена, сфалерита и титаномагнетита, а также шлиховые ореолы молибденита, шеелита, золота, киновари, чевкинита, оранжита и металлометрические ореолы свинца, молибдена, серебра, меди.

МЕТАЛЛИЧЕСКИЕ ИСКОПАЕМЫЕ

Титаномагнетит

В районе обнаружено два магматическихрудопроявления титаномагнетита, связанных с габброидами джуликюрского комплекса. На левобережье р. Энкан (Ю) проявление приурочено к зоне андоконтакта Улканского массива с туфами

дженской свиты. Здесь мелкозернистые таббро с вкрапленностью титаномагнетита (до 30%) слагают линзы мощностью от 5 до 15 м и длиной до 50 м. В линзе наблюдаются три полосы площадью 0,5–0,7 м² почти сплошной руды, состоящие на 75–80% из титаномагнетита и 5–7% – ильменита.

Н а л е в о б е р е ж ь е р . У л а я к а я (25) титаномагнетит образует равномерную вкрапленность (20–30%) в центральной части штока габбро I фазы. Обогащение титаномагнетитом породы простиралось в меридиональном направлении и простягивалось в залывистых разнотах на 70–100 м (далее задерновано) при ширине 5–6 м. В пределах выходов штока наблюдается аэромагнитная аномалия в 3000 гамм.

Аналогичные аномалии, также связанные с габбродиолами на поверхности не содержат повышенных концентраций титаномагнетита.

Описанные вышерудопроявления, несмотря на принадлежность их к перспективному в промышленном отношении генетическому типу, ввиду малых масштабов не представляют практического интереса.

Мель

Халькопирит обнаружен в пиритизированных гранодиоритах И н я х с к о г о (13) и в аделомелитах К а ч и н с к о г о (15) м о л и б д е н о в и х р у д о п р о я в л е н и й . Содержание меди здесь, по данным химического анализа, достигает в единичных пробах 0,36%. В оквартированных и пиритизированных турфах пинкого проявления (23) содержание меди – 0,01%, редко до 0,04%. Редкие залежи халькопирита отмечаются в единичных шлифах в верховых р.Качи, где источником сноса его, очевидно, являются зоны пиритизации вдоль разломов.

Сланец

Галенит и пироморфит встречаены в И н я х с к о м м о - л и б д е н о в о м р у д о п р о я в л е н и и (13); содержание смысла здесь, по данным химического анализа, составляет от 0,01 до 0,1%. Повышенные содержания смыща – 0,01–0,05%, отмечены также в двух других молибденовых проявлениях (15,3). В Н е л ь с и н с к о м д и н к о в о м п р о я в л е -

н и и (23) содержание галенита достигает 2%, смыща – 0,01–0,3%. В разрозненных шлифовых пробах редкие знаки галенита, аульфенита, пироморфита обнаружены в бассейнах рек Оторульях, верховьев Качи, Улканы, левого притока Таганаха, Накти, Мужочик. Большой ореол вторичного солевого рассеяния смыща (1) с содержанием в 0,08%, при фоновом – 0,001%, охватывает бассейны правого берегового притока р.Таганах, верховья Магдана и Улканы. В верховьях р.Уникер (8) отмечается меньший по площади ореол рассеяния с содержанием смыща 0,06%. Пространственная связь ореолов рассеяния с зонами пиритизации гранодиоритов и эфузивов вдоль разломов позволяет предполагать, что они являются источником сноса смыща; спектральный анализ штуфных проб из этих зон не дал положительных результатов.

Цинк

Н е л ь с и н с к о е п р о я в л е н и е п и н - к а (23) расположено на берегу бухты Федорова, в 1,2 км к юго-западу от устья р.Мужочик. Рудопроявление приурочено к ороготовикованным турам нельсинской толщи, разбитым трещинами отдельности двух систем. (Az.пр.СВ 10°, ∠ 90°, аз.дл. 13 200–240°, ∠ 50–60°). Породы вдоль трещин часто обрекированы, обожжены и несут мелкую вкрапленность пирита. Вдоль одной из трещин, падающей на юго-запад, наблюдается зона окварцевания мощностью от 10 до 60 см, видимой протяженностью 2,5–3 м, пронизанная большими количеством мелких, сложно переплетающихся между собой жилок (мощность от долей до 10 см), состоящих из мелкозернистого (2–3 мм) сфalerита и пиротина, причем сфалерит заметно преобладает. Расстояние между рудными жилками колеблется от 2–3 до 5–7 см. Второстепенные минералы представлены галенитом, магнетитом, пиритом. Содержание сфалерита в окварцеванной породе, наиболее насыщенной рудными жилками, по данным минералогического анализа штуфной пробы, составляет около 20%, галенита – 2%. Химический анализ той же штуфной пробы показал содержание цинка – 9,96%, смыща – 0,14%. Спектральный анализ 10 сколовых проб, взятых вкrest простирания окварцеванной зоны через 10–15 см, показывает присутствие цинка в (%): 0,01 – I, смыща 0,01–0,3, меди – 0,01–0,1, кадмия – 0,1, циркония и кобальта – 0,01, герmania – 0,001–0,003, молибдена – следы. Истинные размеры рудного тела не выяснены, однако трещина, к которой приурочено рудопроявление, прослеживается визуально на всю высоту склона, т.е. на 100 м, и располагается параллельно к нему; это позволяет предполагать значитель-

ные размерырудопроявления. По составу руды и имеющих пород относится к промышленному типу пиритометаллических месторождений замещения эффузивных пород.

Миньят

Арсенонирит в редких знаках отмечен в двух шликах в верховых р.Мукдоцк и в нижнем течении р.Нельбы. Источниками сноса арсенонирита являются зоны пиритизированных и гидротермально измененных пород Джелонской свиты, что подтверждается присутствием его в единичных знаках в окварцованных туфах волнистого устья р.Нельбы (по данным минералогического анализа проточной пробы).

Золото

В районе отмечено два шликовых ореола золота. Наиболее крупный из них охватывает верховья рек Нельбы, Легделенгя и Верх.Эйканы (18). Здесь в 27 шликах обнаружены редкие утловоато-окатаные и неокатанные пластинки и крючочки золота размером от 0,1 до 0,3 мм. Второй ореол (28) расположен в среднем течении р.Оторулья, где в редких знаках в 12 шликах присутствует очень мелкое (0,001–0,005 мм) золото. В отдельных разрозненных шликах золото встречено в бассейнах рек Качи, Оляя, Иван, Нагай, Уян-Кер. Пространственная приуроченность шлихов с золотом к зонам пиритизации и окварцевания эффузивных пород свидетельствует, что последние являются коренным источником его сноса. Однако спектро-золотометрическим анализом 100 штуфных проб и пробирным анализом ГГ проб, взятых из зон гидротермального изменения в бассейнах р.Нельбы, Оторулья, Эйканы, Уянкера, Таганаха, золото не обнаружено. Лишь в кварцевой жиле из Верхнего течения р.Качи установлено присутствие золота в количестве 0,05 г/т.

Серебро

Металлографический ореол рассеяния серебра (7) с содержанием от 0,001 до 0,005% при фоновом содержании ниже чувствительности анализа наблюдается в верховых р.Татанах по его правому притоку. Пространственная связь серебра с зонами пиритизации по разломам в гранитоидах позволяет предполагать, что источником сноса его являются эти зоны.

Шликовые ореолы шеелита, где шеелит содержитя в редких знаках, обнаружены в верховых р.Оторулья (27) и Нельба (19).

Они приурочены к областям развития гидротермально измененных эффузивов и туфов Джелонской свиты и нельбинской толщи. В притоках, взятых из этих пород, всегда присутствуют знаки шеелита.

Два других шликовых ореола с редкими знаками шеелита расположены в верховых р.Илан (24), а также в среднем течении Ингаха и левого притока Улкана (4). Источником сноса являются пиритизированные гранодиориты, распространенные в пределах ореола, в которых отмечается шеелит совместно с другими рудными минералами (Инякское рудопроявление). Кроме того, в разрозненных шликах шеелит в редких знаках встречен в бассейнах рек Геоникан, Улкакан, Верх.Эйкан, Еол.Кемкара.

Молибден

В районе известно пять коренных проявленияй молибдена, а также шликовые и солевые ореолы его рассеяния. Наиболее крупное, Инякское (13), простирается в зоне расположенного в верховых р.Инях. Оруденение приурочено к зоне трещиноватости в неизмененных среднезернистых, иногда неравномернозернистых, слегка порфировидных гранодиоритах Дугдукского комплекса и контролируется разломом северо-западного простирания. Рудная зона прослеживается в карте на всю высоту его стенки (от 50 до 300 м) на протяжении 1,6 км, далее она прикрыта развалами. Мощность составляет не менее 10 м и, возможно, достигает первых сотен метров. Главнейшие рудоносные трещины имеют северо-западное и широтное простирание при вертикальном падении и северо-восточное при крутом (50–60°) на юго-запад. Вдоль трещин породы сильно пиритизированы и обожжены. Вторичные изменения развиты очень слабо и выражаются в незначительной серпентинизации плагиоклаза и хлоритизации слютита. Розетки крупночешуйчатого молибдениита расположены по стенкам трещин. Они то редко рассеяны, образуя крупные до 2–5 см сростки кристаллов, то образуют в них сплошные оторочки мощностью 0,5 см и площадью до 1 м². Густота трещин с молибденитом резко различна на разных участках. Как показали визуальные наблюдения, а также бороздовое опробование (100 проб, взятых вдоль стеки кара секущими по дра метра), распределение

Вольфрам

молибдена крайне неравномерно. Химическим анализом 35 бороздовых проб установлено присутствие молибдена в количестве от 0,003 до 0,52%. Концентрированное содержание молибдена (0,25%, 0,52% и 0,36%) отмечено только в трех пробах, расположенных подряд в центральной части кара на протяжении 6 м.

Кроме молибдита и пирита, в породах рудовосной зоны присутствуют редкие знаки повелита, галенита, ванадинита, зульфенита, пироморита, калькоирита, халькоцина, магахита, пирротина, шеелита, флюорита, барита. Кроме молибдена при химическом анализе 13 бороздовых проб обнаружены медь (от 0,01% до 0,04%, в одной пробе 0,36%) и свинец (от 0,01 до 0,1%). Спектральным анализом этих же проб выявлены (%): титан – 0,1, вольфрам – 0,01, никель, кобальт, хром, цирконий, серебро, олово, бериллий, иттрий – 0,001–0,003.

Метаморфическое профилирование вкrest простирания рудной зоны на водораздельной поверхности над каром (всего около 500 проб) показало отсутствие значительных концентраций молибдена. Фоновое содержание его в элювиально-делювиальных суглинках составляет 0,007%, изредка наблюдаются участки с содержанием 0,002 и 0,003%.

Рудопроявление по особенностям минералогического состава, геохимическим признакам и форме принадлежит к типу высокотемпературных месторождений кварц-молибденитовой формации, аналогичных некоторым месторождениям Забайкалья. Этот тип обычно является неблагонаадежным с точки зрения содержания в нем полезного компонента. Однако некоторые месторождения этого типа достигают значительных размеров и вовлекаются в промышленное освоение. Имеющиеся данные свидетельствуют о том, что Ингасское рудопроявление не может в настоящее время рассматриваться как объект для проведения первоочередных разведочных работ как в силу низких содержаний молибдена, так и из-за неравномерности его распределения. Однако изученность его недостаточна, и в будущем, возможно, целесообразно проведение некоторых дополнительных работ (горных и с применением бурения) с целью выявления локальных обогащенных молибденитом зон, а также получения материалов для определения мощности штокверка и обоснованного прогнозирования на глубину.

К а ч и н с к о е п р о я з л е н и е (15) расположено в левом притоке верхнего течения р. Качи на продолжении того же разлома, к которому приурочено Ингасское рудопроявление, и представляет собой штокверк, просложенный на задернованном склоне в коренном обнажении на 2–2,5 м. Вмещающими породами явля-

ются адуамелиты, разбитые системой трещин, интенсивно окисленные (за счет пирита). Розетки молибденита наблюдаются по пльско-стям наиболее ожелезненных трещин (с простиранием 70°СВ). Размер розеток достигает 1–1,5 см в поперечнике. Молибденит распространен весьма неравномерно. Распределение трещин с молибденитом незакономерно, интервал между ними колеблется от 10–15 см (6 трещин на протяжении 0,5 м) до 30–40 см и более (3–4 трещины на 1 м и реже). По плоскостям трещин с простиранием в 320°, ненесущих рудной минерализации, наблюдается интенсивная хлоритизация и зеркала скольжения. Химическим анализом бороздовой пробы, взятой из наиболее богатой молибденитом части обнажения, установлено присутствие (%): молибденита – 0,1, меди – 0,36, свинца – 0,05, цинка – 0,02. По своему генезису это проявление аналогично Ингасскому. Оно интересно тем, что находится на продолжении разлома, контролирующего Ингасское рудопроявление, что указывает на большую протяженность зоны молибденового оруднения.

Б о л о р а з л е п ь е п р о я з л е н и е м о – л и б д е н и т а (14) расположено в Междуречье Ингаса и Горокана, в 1 км к северо-западу от вершины с отметкой 1585 м. Здесь в одни из глыб граниторитов джугутинского комплекса, обожженных по трещинам, отмечена маломощная (10 см) жила полупрозрачного кристаллического кварца с розеткой крупночешуйчатого молибденита и красными прожилками гироскилов железа. Само по себе проявление не представляет интереса. Однако пространственная близость его к Ингасскому проявлению указывает на большую протяженность полосы молибденового оруднения и расширяет плошадь, перспективную в отношении молибденовой минерализации.

Р у д о п р о я з л е н и е м о л и б д е н а в в е р х н е м т е ч е н и и к р у п н о т о п р а в о г о п р и т о к а р . Т а г а н а х (3). Здесь на левом берегу в невысоком (3 м) коренном обнажении на протяжении 100 м наблюдаются сильно окварцованные разномерно пиритизированные и обтекированные гранодиориты джугутинского комплекса кварц-турмалин-пиритового и кварц-пиритового состава, пронизанные сложно ветвящимися жилами мощностью до 10–20 см. Породы сильно обожжены и имеют ярко-желтую и красно-коричневую окраску. Наибольшее сужение жил отмечается на отрезке 15 м. Краевые части жил сложены кристаллическим полупрозрачным кварцем, средние – микрокристаллическим димитато-серым с зеленым оттенком турмалином (ахроит) с крупными кубическими кристаллами пирита, образующим массивные желваковидные сростки до 7–10 см в поперечнике. Молибденит обра-

зует мелкую редкую вкрапленность в жилах. Содержание его, по данным минералогического анализа штучной пробы, не превышает редких знаков. Расстояние между жилами в среднем около 0,5 м. Многочисленные (25 скоплений) прошпиритизированные породы (рудных жил) спектральные анализы со всей зоны установили крайне незначительные содержания молибдена, не превышающие 0,003%. Кроме того, присутствуют олово, кобальт, цирконий, медь, галиций, барий, скандий, бериллий, иттрий, итербий, никель, хром в количестве 0,001–0,003%, цинк, сурейн, стронций, ванадий, титан–0,01–0,03%.

Примечательность описанного проявления к зоне разлома северо-восточного простирания, а также повышенная окварцованнысть и пиритизация пород позволяет отнести его, несмотря на неслаго-приятные результаты анализов, к перспективному на медь и молибден генетическому типу среднетемпературных гидротермальных месторождений (типа Каджарана). В связи с этим представляется желательным дополнительное обследование участка.

П р о я з л е н и е № 26 расположено в 3 км выше устья левого притока р.Алдомы, впадающего в 4 км севернее р.Инж. Оно приурочено к зоне разлома северо-западного простирания в диоритах уджского комплекса. Вдоль разлома дигоры сильно трещинованы и пиритизированы, наиболее четко выражены почти вертикальные трещины северо-западного простирания (аз.пл.30°). Зона пиритизированных пород прослеживается на 1 км вкрест простирания разлома. Пиритизация равномерная, мелкая. Молибденит визуально не виден и обнаружен только в количестве редких знаков при минералогическом анализе протолочной пробы. Кроме того, присутствуют в редких знаках титаномагнетит, пирит, пирротин, монацит, гранат, сферен, циркон, апатит. Спектральный анализ повышенных концентраций каких-либо полезных элементов не отметил. Проявление имеет минералогическое значение.

Ш л и х о в и е о р е о л и ч е с к и е м о -
л и ю д е н и т а обнаружены в верховых рек Инж, Качи (II) и правого крупного притока р.Таганаха (2), где молибденит содержится в редких знаках. Кроме того, редкие знаки молибденита встречаются в разрозненных шлихах в водотоках между речью Улкан и Таганаха, в верховых Бол.Кемкары, Ивана, Оторульяха, Уладана. Источником сноса являются как уже выявленные рудопроявления Инякское, Качинское, Водораздельное, так и гидротермально измененные интузивные и эфузивные породы, в которых также возможно, присутствует молибденит.

М е т а л л о м е т р и ч е с к и е о р е о л и ч е с к и е с е я н и я с содержанием молибдена 0,008% при фоновом значении для района 0,001% отмечаются в верховых р.Инях (Гг) и левого притока р.Улкан, впадающего против устья р.Инях (5). Источником сноса также являются окварцованные и пиритизированные породы, за исключением ореола № II, где появление его вызвано миграцией из Инжского рудопроявления.

М е д н о - м о л и б е н о в ы й м е т а л л о -
тический ореол распространяется площадь в 48 км² в бассейне р.Непсы и левых притоков Ниозьев Улканы (21). Содержание меди достигает 0,03% при фоновом значении 0,01%, молибдена – 0,003% при фоновом – 0,001%. Источником сноса, очевидно, являются гидротермально измененные туфы Джелонской свиты.

Ниобий

Ферросонит обнаружен в редких знаках в одной шлиховой пробе в верховых р.Качи. Источником сноса, видимо, являются среднепротерозойские щелочные граниты, в которых возможно присутствие его в качестве аксессория.

Редкие земли

Шлиховой ореол рассеяния (16) цевкинита и оранжита (в редких знаках) обнаружен в верховых р.Качи. Появление этих минералов в шлихах связано с миграцией их из района распространения среднепротерозойских щелочных гранитов, в которых они являются аксессориями. В одной шлиховой пробе в верховых Мальмина встречен торит. Кроме того, широко развиты в районе циркон, циртолит, монацит, ортит, ураноторит, встречающиеся почти повсеместно в редких знаках. Источником сноса являются разновозрастные гранитомы, в которых установлено их присутствие как аксессорных минералов.

Ртуть

Шлиховой ореол рассеяния киновари выявлен в верховых р.Мальмина (30). Отдельные разрозненные шлихи, содержащие редкие знаки киновари, обнаружены в бассейне р.Эйкан, в среднем течении, по трем небольшим его притокам. Находки киновари в шлихах во всех случаях приурочены к зоне развития разломов северо-вост-

точного простирания, которые, по-видимому, являются рулонконтро-
дировщиками.

НЕМЕТАЛЛИЧЕСКИЕ ИСКОПАЕМЫЕ

Барит

Барит отмечен в редких зонах в шиховых пробах в бассейне р. Нельба, где образует небольшой ореол рассеяния (20). Пророченность барита к шиховым ореолам шеелита, золота, а также скоплению ореолам меди и молибдена позволяет рассматривать его как индикатор гидротермальной рудной минерализации.

СТРОИТЕЛЬНЫЕ МАТЕРИАЛЫ

В качестве строительных материалов для местных нужд могут быть использованы многие горные породы района.

Граниты

Гранитоиды джугтукского и улского комплекса, образующие крупногабаритные развалы и коренные выходы, разбитые системой трещин отдельности на крупные (2-5 м в поперечнике) блоки, пригодны к использованию в качестве бутового и штучного камня. Однако большая часть гранитоидов, расположенных вблизи троп и крупных долин рек (реки Улкан, Качи и др.), имеет крупнозернистые, сильновыветренные разности, быстро разрушаемые в дресву, коренные выходы очень редки, и разработка их потребует вскрытийных работ.

Наиболее прочными, либо образующими тела больших размеров, либо находящимися в выгодных для добывания условиях, являются мелко-зернистые граниты в верховых р. Улкан - Улканское месторождение (6) и на водоразделе рек Эйкан и Икит - Кемиринское месторождение (9). В обоих случаях граниты лейкократовые, светло-розово-голубые цвета, характеризуются большой плотностью и малой трещиноватостью. Структура микротекстурованная, тип структуры, по К.И.Богдановичу, - лисперго. Соотношение составных частей породы: калиевый полевой шпат - 40-50%, кислый пегматит - 20-30%, кварц - 30%, биотит - 1-2%. Вторичные изменения почти не выражены. Размер зерен колебается от 0,7 до 1,5 мм. На местности они образуют крупногабаритные (габбро 10-15 м) развалы и удобны для разработки открытым способом.

Запасы Улканского месторождения, где граниты формируют тело значительных размеров (32 km^2), практически неограничены. Однако сравнительная труднодоступность и отсутствие троп снижают его ценность.

В Кемиринском месторождении граниты слагают ряд мелких тел, площадь самого крупного из которых составляет не более 7 km^2 . Запасы пород при глубине выемки в 50 м могут исчисляться в несколько миллионов кубических метров. Это месторождение расположено вблизи тропы.

Мелкозернистые граниты могут употребляться в качестве штучного и бутового камня, а также облицовочного материала.

Эфлюзивные породы

Эфлюзивные породы района, как правило, сильно трещиноваты и раскалываются на мелкие остроугольные глыбы, поэтому они могут быть использованы лишь в качестве щебня при дорожном строительстве.

Известняки

Известняки и глинистые известняки, реже мергели, слагают пласти до 30 м в бассейне рек Ук и Танчи в терригенно-карбонатной круто падающей на северо-восток толще верхнего ордовика, си-лура и девона.

Кроме того, известняки сложнодеструктированной мячинской свиты образуют крупные скопления (большие запасы) на берегу Альомского залива. Известняки - хемогенные, магнезиальные, без примеси обломочных зерен, темно-серые, иногда черные, сильно трещиноватые, пронизанные прожилками кальцита и реже кварца. Могут разделяться открытым способом.

Несмотря на отсутствие химических анализов карбонатных пород, данные Г.И.Бушинского (Бушинский, 1941), проводившего исследование палеозойских отложений в окрестностях пос. Аян с целью выявления месторождений цементного сырья, позволяют предполагать, что большинство известняков района могут быть пригодны для получения негашеной извести и изготовления портланд-цемента.

Галька и гравий

Наиболее значительные по запасам скопления гальки и гравия отмечены на морском побережье к северу от п-ова Нури, где

они слагают крупную пересыпь длиной 10-12 км при ширине до 300-200 м, отделяющую оз. Актыкан от моря (29). Высота пересыпей 3-4 м. Галька и гравий, представленные в основном андезитами, дацитами и их туфами, встречаются примерно в равных количествах.

Галька имеет уплощенную форму, хорошо окатана, размер ее обычно не превышает 5 см. Запасы составляют несколько миллионов кубометров.

Аналогичное месторождение, но меньших размеров, расположено вблизи оз. Иккет (22) и также представляет собой пересыпь длиной 1 км, шириной от 200-400 м при высоте 5-6 м. Пересыпь поднимается двумя ступенями, сложенными крупной (до 10-12 см в перечнике) уплощенной, хорошо окатанной и сортированной галькой. По мере удаления от моря степень сортировки ухудшается, появляется гравий и песок; содержание глинистого материала низкое. Галька и гравий представлены диоритами, мелкоизернистыми гранитами, андезитами, дацитами. Ориентировочные геологические запасы составляют около 2,5 млн. м³.

Описанные выше месторождения гальки и гравия не требуют вскрытий работ и имеют выгодное географическое положение (близ моря, где возможна стоянка небольших судов). Кроме того, значительные залежи галечников (кововые, русловые) отмечаются почти по всем крупным рекам Эйкан, Кемкар, Улкан, Алдома, особенно в их нижних течениях и устьях.

Хорошая сортировка, отсутствие глинистых компонентов и валунов позволяют использовать их в качестве наполнителя бетона, баласта для дорожного строительства и других целей.

Песок строительный

В долине р. Улкан, в 2,5 км ниже устья р. Таганах (17), песчаная сложена II надпойменная терраса высотой 7-9 м, шириной 0,5 км, протяженностью до 2 км. Запасы строительных песков одинаковы в 3-5 тыс. т. Песок разнозернистый, кварц-полевошпатовый, в различной степени окисленный. По данным гранулометрического анализа (7 проб), содержание фракций в песках составляет: 0,5-0,25 мм - 30-45%, 0,25-0,15 мм - 40-45%, 0,15-0,05 мм - 10-17%, 0,01-0,05 мм - 1-3%, 0,01 мм - 5-10%. Эти пески вполне отвечают требованиям, предъявляемым к пескам при производстве строительных известковых растворов, но из-за большого содержания пылеватых частиц (5-10%) непригодны для наполнителей бетона. Перспективы района на строительный песок, по-видимому, ограничены.

Изучаются этим месторождением, т.к. аллювиальные отложения района представлены в основном валуно-галечным материалом.

ОБЩАЯ ОЦЕНКА ПЕРСПЕКТИВ РАЙОНА

Анализ геологического строения, а также приведенные выше данные о полезных ископаемых позволяют положительно оценить перспективы района в отношении молибденовой, медно-молибденовой и полиметаллической минерализации гидротермального генезиса. Заслуживает внимания сопровождающий полиметаллическую минерализацию германит. Несколько неопределенными представляются перспективы на вольфрам, ртуть, коренное золото и титаномагнетит. На россыпное золото и редкие земли район является неперспективным.

Наиболее благоприятные предпосылки для выявления медно-молибденовой и полиметаллической минерализации постмагматического гидротермального генезиса намечаются в двух зонах.

Первая зона, лежащая в ширину 10-15 км, протягивается в северо-восточном направлении на расстояние около 30 км от верхнего течения р. Отторулья к устью Эйканы, охватывая бассейны рек Иркани, Олья, Нельбы, Мукочика и низовья Эйканы. В ее пределах имеются крупные провесы кровли Улканского массива, выполненные ороговикованными риолитами, андезитами и их туфами; находитесь многочисленные зоны разломов северо-восточного простирания, сопровождаемые окварцеванием, хлоритизацией, эпилитизацией и пиритизацией гидротермального постмагматического генезиса. Здесь выявлены шаховые ореолы рассеяния золота, шеелита, сарита, шлихи с минералами свинца, молибденитом, арсенопиритом, киноварью, а также металлометрический ореол рассеяния меди и молибдена.

Вторая зона протяженностью в 20 км и шириной от 5 до 10 км охватывает верховья рек Каши, Инек, Междуречье Улканы и Таганаха, Нашти и Уянкера. Для нее характерно широкое развитие эндоконтактовых фаций гранитомолов с участками провесов кровли, сложенных ороговикованными андезитами и трахириолитами, а также рудоконтролирующих разломов северо-западного простирания, сопровождающихся окварцеванием, пиритизацией, хлоритизацией. Здесь известны многочисленные проявления молибдена, шлиховые ореолы молибдита и шеелита, наличие в шлихах минералов свинца и меди, металлометрические ореолы рассеяния свинца и серебра.

В связи с вышеизложенным обе зоны могут быть рекомендованы для постановки поисково-съемочных работ масштаба 1:50 000.

с целью изучения уже известных рудообразований и поисков новых. Однако необходимо иметь ввиду тот факт, что известные в пределах второй зоны проявления молибдена принадлежат к не представляемому интереса с промышленной точки зрения высокотемпературному типу. В связи с этим следует обратить особое внимание на поиск среднетемпературных месторождений молибденита (аналогичных рудообразованию 3), сопровождаемых окварцеванием и серпентизацией вмещающих пород.

Белательно проведение поисковых и горных работ в районе Нельбинского проявления цинка, относящегося к перспективному промышленному типу полиметаллических месторождений замедления зернистых пород. Практический интерес может представлять присутствие в руде значительной примеси герmania.

В пределах первой из упомянутых выше зон, в бассейне рек Нельба и Оторулья, возможно, имеется также коренное золото. Наличие здесь шлиховых ореолов золота в сочетании с шеелитом, галенитом, молибденитом и сарцитом, а также широкое развитие пиритизированных и окварциальных эффузивов и туфов указывают на возможность обнаружения как проявленной золота, связанных с контактовыми зонами пиритизации, не имеющими промышленного значения, так и ценных золото-сульфидных и золото-шебелит-кварцевых проявлений. Это допущение основывается на том, что северо-восточнее описанной плоскости, в близлежащих частях Ульинского прохода, имеющих сходную геологическую обстановку, известны многочисленные эпигермальные золото-сульфидные рудообразования (Корольков, 1966; Капличев, 1964). В связи с вышеизложенным при проведении рекомендемых для всей зоны поисково-съемочных работ масштаба 1:50 000 в бассейнах указанных рек необходимо обратить внимание также на поиски коренной золоторудной минерализации. Перспективы на поиски золота однозначно отрицательно, поскольку реки района находятся в стадии глубинной эрозии, имеют значительный уклон русла и небольшую мощность аллювия, что является неблагоприятным для накопления россыпей.

Несмотря на значительное количество шлихов с реагентами золота, указывающих на зараженность данной территории вольфрамом, выявление здесь зон склонирования не несет вольфрамовой минерализации. Это обстоятельство свидетельствует о малой вероятности обнаружения на описанной плоскости наиболее интересных в промышленном отношении вольфрамовых месторождений склерового типа. Скорее здесь можно ожидать связанные с зонами проявления шебелит-кварцевые (бассейн рек Нельба и Оторулья) гидротермальные среднетемпературные проявления, не представляющие большой промышленной ценности на вольфрам.

Присутствие в районе габброльных пород, наличие в них местами повышенных концентраций титаномагнетита, присущенность некоторым телам сравнительно небольших ароматитовых аномалий (в 3000 гамм) могут свидетельствовать о возможности обнаружения в районе залежей титаномагнетитовых руд, но, по-видимому, на большого масштаба.

Несколько остаются перспективы на ртуть. В низовьях рек Эйгана и Мартыни в шлихах обнаружена киноварь. Однако здесь развиты слабодороницаемые гранитоиды, не благоприятные для ее концентрации. В других участках, где имеются крупные зоны Проблемы, сложные легко проникаемыми песчаниками и известняками, которые могли бы быть рудоносителями, киновари не наблюдалось.

Низкая гамма-активность развитых в районе щелочных гранитов, свидетельствующая об отсутствием в них высоких концентраций редкоземельных и сопутствующих им минералов урана и тория, слабое проявление в них процессов албитизации, с которыми обычно связано редкоземельное и тантало-ниобиевое оруденение промышленного значения, позволяют отрицательно оценивать перспективы района на редкие земли, tantal и ниобий.

ПОДЗЕМНЫЕ ВОДЫ

На режим подземных вод в районе решающее влияние оказывает почти повсеместно развитая многолетняя мерзлота. Глубина залегания мерзлых пород колеблется от 0,5 до 2 м. Под руслом наиболее крупных рек (Эйган, Альма, Камчара, Улкан), судя по характеру растительности, имеются талки. Мощность мерзлоты в районе незвестна. Основные наблюдения над подземными водами касаются надмерзлотных вод, так как специальных гидрогеологических работ в районе не велось. О существовании подмерзлотных вод и выходах их на поверхность можно судить только по наледям.

Среди надмерзлотных по типу циркуляции выделяются фильтрационные и фильтрофонные воды. Первые приурочены к рыхлым отложений — аллювиальным и ледниковым пескам, галечникам, а также к делювиально-солифлюкционным спускам и лесням. Глубина залегания водоносных горизонтов не превышает 1,5–0,5 м. Задоупорными горизонтами служат либо породы, скованые многолетней мерзло-

той, либо монолитные коренные породы. Источники этих вод надлежатся повсеместно на уступах террас, на склонах, в местах их перегибов, что выражается в заболачивании отдельных участков.

Воды холодные, пресные, чистые, без запаха, почти не минерализованы. Температура - +6°C. Лебит небольшой. В устье р.Мурдук воды алювиальных отложений I надпойменной террасы истолзуются местным населением во время пересыхания рек как колодези.

Среди флюкционных вод выделяются трещинные воды в магматических образованиях и трещинно-плаковые воды в осадочных и туфогенно-осадочных породах. Эфузивные породы разбиты сетью довольно часто расположенных (через 20-30 см), почти вертикальных трещин, по которым происходит циркуляция подземных вод. Нижележащие источники с дебитом от 0,5 л/сек и иногда до 5 л/сек отмечены в верхнем течении р.Мал.Кемкара и в бассейне рек Эйкан и Оготуялях. Вода хлоридно-карбонатная, натрий-магниево-кальциевая, рН=7,2, общая жесткость - 0,51 мг·экв/л, карбонатная - 0,4 мг·экв/л, минерализация - 30,1 мг/л (источник в верховьях р.Нагай). Наиболее водообильными являются мезовойские гранитоиды, которые разбиты системой вертикальных, горизонтальных и наклонных трещин. Благодаря широкому развитию в них пологих трещин отдельности, большинство седловин в пределах развития этих пород оказывается обводненными и заболоченными. Выход ис-

точников, связанных с трещинами водами интрузивных образований, отмечается в бассейнах рек Большой и Мал.Кемкары, Эйканы, Алломы, Иняха, Улканы и в береговых обрывах Охотского моря. Дебит источников колеблется от 0,2 до 3-4 л/сек. Химические анализы этих вод из двух источников в бассейне р.Нагай свидетельствуют, что они относятся к хлоридно-гидрокарбонатным натрий-кальциевым и магний-натрий-кальциевым, общая жесткость 0,83 и 0,2 мг·экв/л, рН - 7,4-8,8, минерализация колеблется от 18,3 до 57,3 мг/л.

Трещинно-плаковые воды в осадочных толщах пользуются ограниченным развитием. Наиболее водообильными являются песчаники алломской свиты. Здесь наблюдаются многочисленные источники с дебитом от 0,1 до 9 л/сек. В конце августа и сентябрь лебит резко сокращается и многие источники совсем иссягают. В известняках Инячинской свиты имеются карстовые воды. Несколько задернованных карстовых воронок диаметром до 2-3 м отмечено на пологом склоне южной экспозиции долины р.Ук. Вода, циркулирующие в пещерниках алломской свиты, хлоридно-сульфатно-гидрокарбонатные, магний-натрий-кальциевые, карбонатная жесткость - 0,6 мг·экв/л,

общая - 0,83 мг·экв/л, минерализация - 68,8 мг/л, рН - 6,2.

Наиболее связанные с выходами подмерзлотных вод, наблюдаются в долинах рек Улкан, Эйкан, Кемкара, Каши, Нельба, Инях и Улкан. Все наледи однолетние, видимо, имеющие смешанное происхождение за счет речных и подмерзлотных вод, так что о лебите и запасах подмерзлотных вод по ним судить нельзя. В ряде случаев наледи расположены в местах пересечения долин разломами (Нельба, Улкан, Эйкан), что указывает на причастенность к последним источников подмерзлотных вод. Но чаще всего наледи встречаются в областях развития гранитоидных пород, особенно их много в Прибрежном массиве, что еще раз подтверждает их водообильность. В летнее время проблемы хозяйственного водоснабжения разрешаются наличием обильных вод поверхности стока, зимой из-за промерзания большинства водотоков могут быть использованы только подмерзлотные воды. Однако перспективность их для водоснабжения, лебит и глубину залегания можно установить только специальными гидрогеологическими исследованиями.

Л И Т Е Р А Т У Р А

О П У Б Л И К О В А Н Н А Я

Б е з р у к о в П.Л., У д и н п е в Г.Б. Новые данные о геологическом строении Дальневосточных морей. - ДАН СССР, 1953 г., т.ХI, № 2.

И ч и к с о н М.И., К р а с н и й Л.И. Тектонические особенности размещения мезовойских и кайнозойских вулканогенных образований на территории Дальнего Востока. - В сб.: "Вопросы вулканизма". Изд-во АН СССР, 1962.

К о с ь м и н с к а я И.П., З в е р е в С.М., В е й ц м а н П.С. и др. Основные черты строения земной коры Охотского моря и Курило-Камчатской зоны Тихого океана по данным глубинного сейсмического зондирования. - Изв. АН СССР, серия геофиз., 1963, № 1.

К р а с н и й Л.И. Государственная геологическая карта СССР масштаба 1:1000 000, лист № 53 (Шантарские острова). Госгеотехиздат, 1955.

Л и н д б е р г Г. Геоморфология дна окраинных морей Восточной Азии и распространение пресноводных рыб. - Изв. Всес. географ. об-ва, 1946, № 3.

Н а г и б и н а М.С. Тектоника и матматем. Монголо-Охотского пояса. Тр. ГИН АН СССР, вып. 79. 1959.

Устинов Е.К. Охотский тектоно-математический пояс и некоторые связанные с ним проблемы. — "Сов.геология", 1959, № 3.

Чемеков Ю.Ф. Стратиграфия и палеогеография антропогена Дальнего Востока. — Мат.Всес.совещ. по изуч.четвертич. период., т.Ш., М., 1961.

Фондовая

Антонов К.В. Геологическое строение западного побережья Охотского моря в районе порта Аян. Л., 1937. ВТФ.

Бушинский Г.И. Отчет о поисках цементного сырья в окрестностях пос.Аян. Л., 1941. ВТФ.

Толбединский В.И., Пугачева И.П., Монастырский В.Г. Геологическое строение и полезные ископаемые восточных отрогов хр.Джунгар и центральной части хр.Приморский. М., 1961. ВТФ.

Толбединский В.И., Пугачева И.П., Неволин Б.С., Тригроваш Г.Ф. Объяснительная записка к листам 0-53-ХХХI и 0-54-ХХХI. 1963. Фонды объединения "Аэрогеология".

Гольденберг В.И., Аркус Н.Г. Концерн Н.В. и др. Отчет партии № 10 по геолого-съемочным, поисковым и редакционно-уточненным работам на 1963 г., М., 1964. ВТФ.

Гамалея Ю.Н. Объяснительная записка к листу 0-53-ХХХI. М., 1964. Фонды объединения "Аэрогеология".

Злобин К.Т. Отчет Ульканской геолого-рекносидировочной партии за 1946 г. Магадан, 1947. Фонды СВГУ.

Калимули С.М., Бэр А.А., Калиму-

лина Р.Н. Теологическое строение и полезные ископаемые междууречья Мары и Индигана. 1961. ВТФ.

Кайгородцев Г.Г. Отчет Яно-Алданской геолого-рекносидировочной партии за 1946 г., Магадан, 1947. Фонды СВГУ.

Карпичев В.Ф. Объяснительная записка к листу 0-54-Х. Магадан, 1964. Фонды СВГУ.

Комаров В.А., Серебряков Л.В. Отчет Приморской геолого-рекносидировочной партии за 1958 г. Хасын, 1960. Фонды СВГУ.

Корольков В.Г. Объяснительная записка к листу 0-54-Х. Магадан, 1966. Фонды СВГУ.

Мошкин В.Н. Геологическое строение и полезные ископаемые бассейна р.Удахи и бассейна верхнего течения р.Мал Половинной. 1957. ВТФ.

Ставчев А.Л. Чешихина К.Г. Тархов в а М. и др. Геологическое строение и полезные ископаемые бассейна среднего течения р.Сев.Уй. М., 1960. ВТФ.

Ставчев А.Л., Алеクseev B.P., Кана-рев А.П. Геологическое строение и полезные ископаемые междууречья Челсина и Бегоми (юго-восточная часть листа 0-53-ХХХ). М., 1962. ВТФ.

Ставчев А.Л. Объяснительная записка к геологической карте листа 0-53-ХХХ. М., 1963. Фонды объединения "Аэро-геология".

Ставчев А.Л., Алеクseev B.P., Кананев А.П. Геологическое строение и полезные ископаемые бассейна р.Пемикан. 1964. ВТФ.

Скотаренко В.В., Скотаренко С.Л. Отчет по геохимическим поискам на территории листа 0-53-ХХХ. 1965. Фонды объединения "Аэрогеология".

Скотаренко В.В., Ремизова С.Т., Моралев В.М. Геолого-геоморфологическое строение верховьев р.Мах. М., 1963. ВТФ.

Тархов А.М., Бэр А.А., Агафонов В.Н. Г.Н. Геологическое строение и полезные ископаемые бассейна р.Улькан. М., 1962. ВТФ.

Тархова М.А., Тромов В.В. Новые данные по геологическому строению и полезным ископаемым бассейнов рек Кун-Манье и Большой Тыркан. М., 1963. Фонды 2-ой экспедиции объединения "Аэрогеология".

Терентьев В.М., Рудник В.Б. Отчет о результатах геологических тематических исследований в районе Центральной части хр.Джунгар. т.Г. Л., 1959. Фонды ВСГЕИ.

Устинов Е.К. Петрография математических образований Северо-Востока СССР, т.II, раздел II. Магадан, 1952. ВТФ. Алданской экспедиции в районе Охотского побережья моря. М., 1959. ВТФ.

Чертовский Г.Н. Государственная геологическая карта СССР масштаба 1:1 000 000, лист 0-54. Магадан, 1961. Фонды СВГУ.

Приложение I

С П И С О К

материалов, использованных для составления
карты полезных ископаемых

С П И С О К

промышленных месторождений полезных ископаемых,
показанных на листе 0-54-ХХХ геологической карты

масштаба 1:200000

№ п/п	Фамилия и инициалы автора	Название работы	Год соз- дания или изда- ния	Местонахож- дение материа- ла, его фон- довый номер или место из- дания			
				№ по ка- ре	Индекс клетки на карте	Наименование месторождения и вид полезно- го ископаемо- го	Состояние эксплуатации
1	Гольден- берг В.И., Пугачев И.П., Монастырь- ский В.Г.	Геологическое строе- ние и полезные иско- паемые восточных от- рогов хр. Джульур и центральной части хр. Промежуточного	1961			Фонды объединения "Маро- геология", М., № ГГ74	
2	Тархова М.А., Беэр А.А., Агаджо- ва Г.Н. и др.	Геологическое строе- ние и полезные иско- паемые бассейна р. Улкан	1962	6	I-1	Улканское	Не эксплуа- тируется
				9	I-4	Кемкаринское	То же
3	Гольден- берг В.И., Аркус Н.Г., Конюкова Н.В. и др.	Отчет партии № 10 по геолого-съемоч- ным, поисковым и редакционно-увязоч- ным работам за 1963 г.	1964	22	II-4	Икитское	"
				29	III-3	Антыканское	"
				17	II-2	Таганское	"
							K
							3

Приложение 3

С П И С О К
проявлений полезных ископаемых,
показанных на листе 0-54-ХХХ геологической карты
масштаба 1:200000

1	2	3	4	5
8	I-3	Верховья р.Уянкер	Металличес- кий ореол рассея- ния с содержанием свинца 0,06%	2
I	2	Индекс по кар- те	Назначение (местонахожде- ние) проявления и вид полезного ископаемого	% исполь- зования ма- териала по списку (прилож. I)
I	2	3	4	5
МЕТАЛЛИЧЕСКИЕ ИСКОПАЕМЫЕ				
10	I-4	Эйканское	Характеристика проявления	Мелкие жилки сфаль- рита, халькопирита, и пирротина в контак- тово измененных окварцованных поро- дах Нельбийского тол- ща. $Zn - 9,96\%$, $Pb -$ $0,14 - 0,3\%$ $Cu -$ $0,01 - 0,1\%$, $Kd -$ $0,1\%$, $Ge - 0,003\%$
25	III-1	Улайканское	Титаномагнетит	Золото
21	II-3	Бассейн р.Нельбы	Вкрашенность титаномагнетита в ранненефеловых гранитогранитах (до 750 г/т)	Шлиховой ореол, в пределах которого золото обнаружено в редких знаках
I	18	II-3	Нельбия, Верхн. Эйдана и Легле- легища	Шлиховой ореол. $Zn - 9,96\%$, $Pb -$ $0,14 - 0,3\%$ $Cu -$ $0,01 - 0,1\%$, $Kd -$ $0,1\%$, $Ge - 0,003\%$
I	23	II-2	Верховья р.Ото- рудник	Золото – мелкое, встречено в ред- ких знаках
Свинец				
I	I-1	Междуречье Улканы, Налта- не, Таганаха	Металлометриче- ский ореол рассе- яния с содержа- нием свинца до 0,08%	Металлический ореол вторичного рассеяния в донных осадках – от 0,001 (преобладает до 0,005%)
7	I-2	Правобережье Таганаха	Серебро	2

I	II	III	IV	V
4	I-1	Среднее течение р.Инзя и вер- ховья р.Улкан	Шлиховой ореол рассеянный	2
19	II-3	Верховье р.Нель- бы	То же	2
24	III-1	Верховья р.Иван р.Оторульях	"	1
27	III-2	Монбден	"	1
2	I-1	Междуречье Ул- кана и Таганаха.	"	2
3	I-1	Левый берег пра- вого крупного первого притока р.Таганах	Вкрапленность мо- лиденита в оквар- цованных брекчи- ях, пронизанных жи- ками кварц-турмали- нового и кварц-пиро- тового состава. Со- держание Mo, по дан- ным спектрального анализа, не выше 0,003%, Pb - 0,01	2
5	I-1	Левобережье вер- ховьев р.Улкан	Метаминометрический ореол свинца, распо- ложенный в грано- диоритах джундуру- ского комплекса.	2

I	II	III	IV	V
15	II-1	Kачинское	Розетки молибденита по плоскостям трещин в пиритизированных гранодиоритах джути-лькунского комплекса. Содержание Mo - 0,1%, Cu - 0,36%, Pb - 0,05%, Zn - 0,02 (жемчаническая бороздовой пробы)	3
21	II-3	Верховья р.Нельбы	Металлометрический ореол вторичного рассеяния с содержанием молибдена в донных осадках в количестве 0,008%	2
26	III-1	В 3 км выше по течению ручья, впадающего в р.Ал-дому слева (второй после р.Иван)	Редкие знаки молибденита (отмечены только при минералогическом анализе) в трещиноватых пиритизированных диоритах	I
II	II-1	Верховья р.Инг и р.Камы	Шлиховой ореол. Молибденит встречен в количестве редких знаков	I,2
12	II-1	Верховья р.Инг	Металлометрический ореол рассеяния с содержанием молибдена в донных осадках в количестве 0,008%	
13	II-1	Верховья р.Инг	Неравномерно крупно-чешуйчатая вкрапленность молибденита по трещинкам в гранодиоритах. Содержание Mo	2,3

СОДЕРЖАНИЕ

GTP.

В брошюре пронумеровано 108 стр.

Редактор И.С. Дудорова
Технический редактор Е.М. Павловая

Сдано в печать 14/1 1974 г.
Подписано к печати 28/IV 1978г.

Центральное специализированное производственное и расчетное предприятие
Всесоюзного геологического фонда